

11-168

АЗЭРБАЙЧАН ССР ЕЛМЛЭР АКАДЕМИЈАСЫ  
АКАДЕМИЯ НАУК АЗЕРБАЙДЖАНСКОЙ ССР

---

# МЭРҮЗЭЛЭР ДОКЛАДЫ

ТОМ XXV ЧИЛД

9

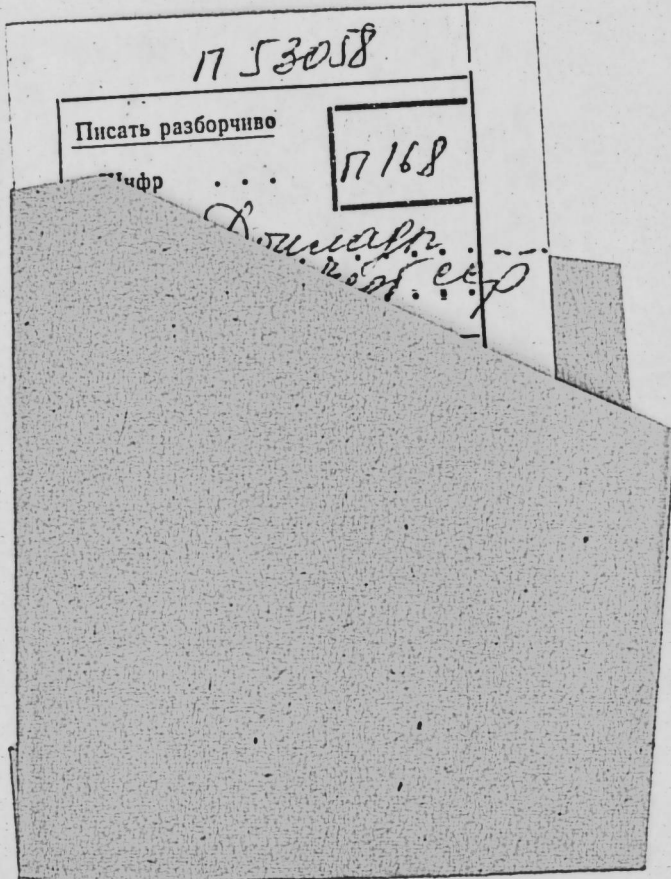
---

«ЕЛМ» НЭШРИЈЛТЫ  
ИЗДАТЕЛЬСТВО «ЭЛМ»  
БАКЫ—1969—БАКУ

АЗӘРБАЙЧАН ССР ЕЛМЛӘР АКАДЕМИЯСЫ  
АКАДЕМИЯ НАУК АЗЕРБАЙДЖАНСКОЙ ССР

# МӘРҮЗӘЛӘР ДОКЛАДЫ

ТОМ XXV ЧИЛД



№ 9

ЕЛМ НӘШРИЙАТЫ  
ИЗДАТЕЛЬСТВО ЭЛМ  
БАКЫ—1969—БАКУ

Р. И. АЛИХАНОВА

О ГЛАДКОСТИ СЛАБЫХ РЕШЕНИЙ ОДНОЙ КРАЕВОЙ  
ЗАДАЧИ ДЛЯ КВАЗИЛИНЕЙНОГО ЭЛЛИПТИЧЕСКОГО  
УРАВНЕНИЯ ВТОРОГО ПОРЯДКА С РАЗРЫВНЫМИ  
КОЭФФИЦИЕНТАМИ

(Представлено академиком АН Азербайджанской ССР З. И. Халиловым)

Одним из важных вопросов теории граничных задач является вопрос о гладкости их решений. Этот вопрос хорошо изучен для линейных эллиптических и параболических уравнений (см. [1], [2]).

Сравнительно мало изучены вопросы о гладкости решений нелинейных дифференциальных уравнений в частных производных (см. [3], [4]).

В настоящей работе исследуется гладкость решений краевой задачи для квазилинейного дифференциального уравнения с разрывными коэффициентами

$$Lu = - \sum_{j,k=1}^n D_j(b_{jk}(x,u)D_k u) + \sum_{j=1}^n p_j(x,u)D_j u + b(x,u) = f \quad (1)$$

в составной области  $G = G_1 + G_2^*$  при граничном условии

$$\frac{\partial u}{\partial \nu_2} \Big|_{\Gamma} = \varphi(x'), \quad x' \in \Gamma \quad (2)$$

и условии сопряжения на поверхности

$$a_1(x, u) \frac{\partial u}{\partial \nu_1} \Big|_{\Gamma} = a_2(x, u) \frac{\partial u}{\partial \nu_2} \Big|_{\Gamma}, \quad [u]_{\Gamma} = 0, \quad (3)$$

где  $\Gamma$  — граница области  $G$ ;  $n$  — мерного евклидова пространства  $E_n$ ,  $\Gamma$  — граница субъекта  $G_1$ , гомеоморфная сфера, не имеющая общих точек с  $\Gamma$ .

Причем выполняются следующие условия: в  $G_1$ ,  $i=1,2$ ,  $b_{jk}(x,u) = b_{jk}^i(x,u)$ ,  $p_j(x,u) = P_j^i(x,u)$ ,  $b(x,u) = b^i(x,u)$  и в  $G_1$

\* Две субъекта здесь рассматриваются для простоты. Результаты верны для конечного числа областей.

РЕДАКЦИОННАЯ КОЛЛЕГИЯ: Р. Г. Исмаилов (главный редактор), Ш. А. Азизбеков, В. Р. Волобуев, Д. М. Гусейнов, И. А. Гусейнов, М. А. Дадашзаде (зам. главного редактора), М. А. Далин, Ч. М. Джуварлы, М. А. Кацкай (зам. главного редактора), С. М. Кулиев, М. Ф. Нагиев, М. А. Топчибашев, З. И. Халилов, Г. Г. Зейналов (ответственный секретарь).

Адрес: г. Баку, Коммунистическая, 10. Редакция «Докладов Академии наук Азербайджанской ССР».

753 058  
Центральная научная  
БИБЛИОТЕКА  
Академии наук Киргизской ССР

$b_{jk}^l(x, u) \in C^1(G_1)$ ,  $x_{nn}^l(x, u) \neq 0$  и удовлетворяют условию на рост

$$|b_{nn}^l(x, u)| \leq b^l + |u| + d^l(x); \quad (4)$$

кроме того,

$$|b_{jk}^l(x, u)| \leq C |b_{nn}^l(x, u)|, \quad |D_j b_{jk}^l(x, u)| \leq C |b_{nn}^l(x, u)|,$$

$$|p_j(x, u)| \leq C |b_{nn}^l(x, u)|, \quad |b^l(x, u)| \leq C |b_{nn}^l(x, u)|, \quad (5)$$

где  $j$  и  $k$  одновременно не равны  $n$ ;  $f \in L_p(G)$ .

Здесь  $[u]_\gamma = [u]_\gamma(x) = u_1(x) - u_2(x)$ ,  $(x \in \gamma)$ ;  $\frac{\partial u}{\partial u_i} = \sum_{j,k=1}^n b_{jk}^l(x, u) v_k D_j u$

( $v_k$ —компоненты внешней относительно  $G_1(G_2)$  нормами к  $\gamma$  ( $\Gamma$ );  $b_{jk}^l$ —положительные постоянные;  $d^l(x) \in L_p(G_1)$ ,  $i=1, 2$ ;  $p > 2$ ).

Введем следующие хорошо известные определения и термины:

Пространство  $W_p^{(1)} = W_p^{(1)}(G_1) + W_p^{(1)}(G_2)$ , где  $W_p^{(1)}(G_i)$ —соболевские пространства, получено замыканием в норме

$$\|u\|_{1,p} = \left\{ \int_G |u|^p + \sum_{j=1}^n |D_j u|^p \right\}^{1/p}$$

множества функций, определенных в  $G$  и гладких в каждом из  $G_i$ ,  $i=1, 2$ . Аналогично вводится пространство  $W_p^{(2)}$ . Далее пусть  $\tilde{W}_p^{(1)}$ —пространство гладких функций  $u \in W_p^{(1)}$ , удовлетворяющих условию  $[u]_\gamma = 0$ , замкнутое в норме пространства  $W_p^{(1)}$ .

Предполагается, что  $a_i(x, u)$  и  $D_j a_i(x, u) \in L_p(G_i)$  при любых  $u \in \tilde{W}_p^{(1)}(G_i)$ .

Под слабым решением задачи (1)–(3) будем понимать любую функцию  $u \in \tilde{W}_p^{(1)}$ , удовлетворяющую соотношению

$$B[u; u, av] = (f, av) + (\varphi, av)_\gamma \quad (6)$$

для любого  $v \in \tilde{W}_p^{(1)}$ , где

$$B[u; u, av] \equiv \sum_{j,k=1}^n (b_{jk}(x, u) D_k u, D_j(a(x, u)v(x))) +$$

$$+ \sum_{j=1}^n (p_j(x, u) D_j u, a(x, u)v(x)) + (b(x, u), a(x, u)v(x))$$

при любых  $u, v \in \tilde{W}_p^{(1)}$ . Здесь мы используем обозначение  $(u, v) = \int_G uv dx$ .

Определение. Уравнение (1) называется эллиптическим, если выполняется неравенство

$$|B[u; u, a(x, u)u]| \geq C \|u\|_{1,p} - K, \quad (7)$$

где  $C$  и  $K > 0$ —постоянные, не зависящие от  $u$ . Ранее в работе [5] автором при некоторых предположениях исследовалась разрешимость в слабом смысле задачи (1)–(3) аналогично методу Галеркина.

Основной результат настоящей работы есть

Теорема. Пусть  $f \in L_p(G)$  и коэффициенты уравнения (1) удовлетворяют условиям (4)–(5), кроме того,  $a_i(x, u)$  и  $D_j a_i(x, u) \in L_{\frac{p}{p-2}}$ .

( $G_1$ ) при любом  $u \in W_p^{(1)}(G_1)$ ;  $\gamma$  и  $\Gamma$ —двойжды непрерывно дифференцируемы. Пусть  $u$ —слабое решение задачи (1)–(3) из  $W_p^{(1)}$ . Тогда при выполнении соотношения (7)  $u$  принадлежит  $W_p^{(2)}$ .

Доказательство. Доказательство проводится методом, примененным Ниренбергом в работе 1.

Достаточно доказать, что для каждой точки  $x_0 \in \bar{G}$  существует окрестность  $V = V(x_0)$  такая, что в ней

$$u \in W_p^{(1)}(V \cap G_1) + W_p^{(2)}(V \cap G_2) = W_p^{(2)}(V \cap G).$$

Ограничимся рассмотрением случая, когда  $x_0 \in \gamma$ . При этом можно считать, что вблизи  $x_0$  является куском  $(n-1)$ -мерной плоскости (этого можно добиться с помощью соответствующего дважды непрерывно дифференцируемого гомеоморфизма  $E_n$ ).

Пусть  $U$ —окрестность  $x_0$  в  $E_n$ , пересечение которой с  $\gamma$  лежит на плоском куске  $\gamma$ .

Построим вспомогательную функцию  $\xi(x) \in C^\infty(G)$  такую, что  $\xi(x) = 0$  вне  $U$ ,  $\xi(x) = 1$  в некоторой содержащейся в  $U$  окрестности  $V$  точки  $x_0$  в  $E_n$ ,  $0 \leq \xi(x) \leq 1$ .

Пусть уравнение рассматриваемого плоского куска  $\gamma$  есть  $x_u = 0$ . Если  $x = (x_1, \dots, x_n) \in \bar{G} \cap U$  и  $h$  достаточно мало, то точка  $x_h^m$  ( $x_1, \dots, x_m + h, \dots, x_n$ ) ( $m=1, \dots, n-1$ ) лежит в  $G_i$ ,  $i=1, 2$ , соответственно.

Для любой функции  $g(x)$  обозначим  $g_h^m = \frac{1}{h} (g(x_h^m) - g(x))$  и будем рассматривать  $g_h^m$  как функцию от  $x$ .

Пусть  $u$ —слабое решение задачи (1)–(3) в пространстве  $\tilde{W}_p^{(1)}$ . Оценим выражение  $B[(\xi u)_m^h; (\xi u)_m^h, a(x, (\xi u)_m^h)(\xi u)_m^h]$ .

Это выражение оценим снизу, используя (7):

$$|B[(\xi u)_m^h; (\xi u)_m^h, a(x, (\xi u)_m^h)(\xi u)_m^h]| \geq C \|(\xi u)_m^h\|_{1,p} - K. \quad (8)$$

Далее оценим его сверху, используя соотношение (4)–(5) и неравенства Гельдера и Юнга.

Получим

$$|B[(\xi u)_m^h; (\xi u)_m^h, a(x, (\xi u)_m^h)(\xi u)_m^h]| \leq (\varepsilon + C_1 \varepsilon_1) \|(\xi u)_m^h\|_{1,p} + K_1 \quad (9)$$

Из (8) и (9) получаем

$$(C - \varepsilon - C_1 \varepsilon_1) \|(\xi u)_m^h\|_{1,p} \leq K_2.$$

Подберем  $\varepsilon, \varepsilon_1$  таким образом, чтобы  $C - \varepsilon - C_1 \varepsilon_1 > 0$ .

Тогда получим

$$\|(\xi u)_m^h\|_{1,p} \leq M.$$

Так как  $\xi(x) \equiv 1$  в некоторой окрестности  $V$  точки  $x_0$ , то в этой окрестности

$$\|u_m^h\|_{W_p^{(1)}(V)} \leq M. \quad (10)$$

Но, очевидно,  $u_m^h \rightarrow D_m u$  в метрике  $L_p(G)$  при  $h \rightarrow 0$ , поэтому из неравенства (10) следует, что

$$D_m u \in W_p^{(1)}(V) (m=1, \dots, n-1).$$

Таким образом,

$$D_j D_k u \in L_p(V), j=1, \dots, n, m=1, \dots, n-1. \quad (11)$$

Осталось доказать, что  $D_n^2 u \in L_p(V)$ .

Мы это получим, выразив  $D_n^2 u$  из уравнения  $\mathcal{L}u=f$  через  $f, u$  первые производные от  $u$  и вторые производные вида (11).

Действительно имеем

$$\begin{aligned} b_{nn}(x, u) D_n^2 u = & - \sum_{j=1}^{n-1} b_{jn}(x, u) D_j D_n u - \sum_{j=1}^n \sum_{k=1}^{n-1} b_{jk}(x, u) D_j D_k u - \\ & - \sum_{j, k=1}^n D_j b_{jk}(x, u) D_k u + \sum_{j=1}^n p_j(x, u) D_j u + b(x, u) - f. \end{aligned}$$

Разделив это соотношение на  $b_{nn}(x, u)$  и применив условие (5), получим, что  $D_n^2 u \in L_p(V)$ .

Итак теорема доказана.

В заключение выражаю искреннюю благодарность моему научному руководителю кандидату физико-математических наук доценту Г. Н. Агабекову, за повседневно оказываемую помощь в работе.

#### ЛИТЕРАТУРА

1. Nierenberg L. Comm. Pure Appl. Math. 1955, 8, 4. 2. Ройтберг Я.А. Шеффель З.Г. Математическая физика. АН УССР, Киев, 1965. 3. Олейник О. А. ДАН СССР, т. 167, № 4, 5, 6. 1963. 4. Крейн С. Г., Симонов А. С. ДАН Азерб. ССР, т. 22, № 9, 1966.

Институт математики  
и механики

Поступило 16. VIII 1968

Р. И. Элиханова

Кәсилен әмсаллары икinci тәртиб бир квазихәтти еллиптик тип тәнлил үчүн гојулмуш сәрнәд мәсәләсинин зәиф һәллиниң һамарлығы һагында

#### ХҮЛАСӘ

Мәгаләдә ашағыдағы теорем исбат олунмушудур:

Теорем. Тутаг ки,  $f \in L_p(G)$  вә (1) тәнлилүүнин әмсаллары (4) шәртийн өдәйир. Бундан әlavә, иштәнүлән  $u \in W_p^{(1)}(G)$  үчүн  $a_i(x, u)$  вә  $D_j a_i(x, u)$  функциялары  $L_{\frac{p}{p-2}}(G)$  фәзасына дахилдир. Ү вә  $G$  ики дәфә

кәсилемәз дифференциалланандыр. Тутаг ки,  $u$  (1)–(3) мәсәләсинин  $\bar{W}_p^{(1)}$  фәзасына дахил олан зәиф һәллидир. Онда (6) мұнасибәти өдәнилдик дә һәмин һәлл  $W_p^{(2)}$  фәзасына дахил олур.

Т. К. АХМЕДОВ

#### О НУЛЯХ ЧАСТИЧНЫХ СУММ РЯДОВ ТЕЙЛОРА–ДИРИХЛЕ

(Представлено академиком АН Азербайджанской ССР И. И. Ибрагимовым)

Исследуя распределение нулей последовательности частичных сумм ряда Дирихле с действительными показателями С. В. Фоменко [2] доказал следующее.

$$\text{Предположим, что в ряде Дирихле } \sum_{n=0}^{\infty} a_n e^{-\lambda_n z} \lim_{n \rightarrow \infty} \sqrt[n]{|a_{n-1}| / |a_n|} = 1,$$

где  $\lambda_n - \lambda_{n-1} \geq \beta (\beta \geq 0)$ , тогда число нулей любой функции  $S_n(z)$  из последовательности  $\{S_n(z)\}$  ограничено в области  $Q$  ( $Q$  может быть полуполоса  $x < 0, h_1 < y < h_2$ , угловая область  $-\frac{\pi}{2} - \alpha \geq \varphi \geq \frac{\pi}{2} + \alpha$ , об-

ласть, ограниченная параболой  $x = -ay^2 - b (a > 0, b > 0)$ . В настоящей работе для рядов Тейлора–Дирихле получаются ана-

логичные результаты.

Теорема. Пусть  $Q$  область:  $x < 0, |z| > \exp[\rho(x - \kappa)], \kappa > 0$ , а  $Q$  – любая область, принадлежащая  $Q$ , и такая, что с общей частью любой полуплоскости  $ReZ > \rho$  конечна. Тогда число нулей

любой частной суммы  $S_n(z)$  ряда  $\sum_{n=0}^{\infty} a_n z^{m_n} e^{-\lambda_n z}$  не зависит от некоторого числа, не зависящего от  $n$ , где

$$\lambda_n - \lambda_{n-1} \geq \beta > 0, m_n - m_{n-1} \leq \alpha (\alpha > 0),$$

$$\rho = \lim_{n \rightarrow \infty} \frac{\lambda_n}{m_n}, a A = \max \left( 1, \left| \frac{a_{n-1}}{a_n} \right|, \dots, \left| \frac{a_0}{a_n} \right| \right) \text{ограничено.}$$

Доказательство. В области  $Q$  рассмотрим последовательность аналитических функций:  $\{S_n(z) / a_n z^{m_n} e^{-\lambda_n z}\}$ . Докажем, что эта последовательность функций является нормальным семейством в области  $Q$ .

Оценим  $|S_n(z) / a_n z^{m_n} e^{\lambda_n z}|$  в области  $Q$ :

$$\left| \frac{S_n(z)}{a_n z^{m_n} e^{-\lambda_n z}} \right| \leq 1 + \left| \frac{a_{n-1}}{a_n} \right| \cdot \frac{1}{|z|^{m_n - m_{n-1}} e^{-(\lambda_n - \lambda_{n-1})}} + \dots +$$

$$\begin{aligned}
& + \left| \frac{a_0}{a_n} \right| \cdot \frac{1}{|z|^{m_n - m_0} e^{-(\lambda_n - \lambda_0)z}} \leq 1 + \frac{A}{e^{\rho(x-\kappa)(m_n - m_{n-1}) - (\lambda_n - \lambda_{n-1})x}} + \\
& + \dots + \frac{A}{e^{\rho(x-\kappa)(m_n - m_0) - (\lambda_n - \lambda_0)x}} = \\
& = 1 + \frac{A}{e^{\rho(m_n - m_{n-1}) - (\lambda_n - \lambda_{n-1})x - \rho(m_n - m_{n-1})}} + \dots + \\
& + \frac{A}{e^{\rho(m_n - m_0) - (\lambda_n - \lambda_0)x - \rho(m_n - m_0)}}.
\end{aligned}$$

Так как  $m_n - m_{n-1} \leq \alpha$ ,  $m_n - m_{n-2} \leq 2\alpha, \dots$

$$\begin{aligned}
& m_n - m_0 \leq n\alpha, \\
& \lambda_n - \lambda_{n-1} \geq \beta, \lambda_n - \lambda_{n-2} \geq 2\beta, \dots, \lambda_n - \lambda_0 \geq n\beta, \\
\text{то } & \left| \frac{S_n(z)}{a_n z^{m_n} e^{-\lambda_n z}} \right| \leq 1 + \frac{A}{e^{(\rho\alpha - \beta)x - \rho\alpha k}} + \dots + \\
& + \frac{A}{e^{\rho((\rho\alpha - \beta)x - \rho\alpha k)}} \leq 1 + \frac{A}{e^{(\rho\alpha - \beta)x - \rho\alpha k}} < M.
\end{aligned}$$

Семейство функций  $\{S_n(z)/a_n z^{m_n} e^{-\lambda_n z}\}$  ограничено в области  $Q$  и, следовательно, является нормальным семейством в этой области.

Покажем, что число нулей любой функции  $S_n(z)$  из последовательности  $\{S_n(z)\}$  в области  $Q$  ограничено. Отсечем от области  $Q$  ту ее часть  $Q_1$ , для всех точек  $z$  которой выполняется условие  $Rez < -R$ , где  $R$  – достаточно большое число. В области  $Q_1$  все  $S_n(z)$  не имеют нулей, так как

$$\left| \frac{S_n(z)}{a_n z^{m_n} e^{-\lambda_n z}} \right| > \frac{1}{2}.$$

Это следует из соотношений

$$\begin{aligned}
& \left| \frac{S_n(z)}{a_n z^{m_n} e^{-\lambda_n z}} \right| > 1 - \frac{a_{n-1}}{a_n} \left| \frac{1}{z^{m_n - m_{n-1}} e^{-(\lambda_n - \lambda_{n-1})z}} \right| + \\
& + \dots + \frac{a_0}{a_n} \left| \frac{1}{z^{m_n - m_0} e^{-(\lambda_n - \lambda_0)z}} \right| \\
& \left| \frac{a_{n-1}}{a_n} \frac{1}{z^{m_n - m_{n-1}} e^{-(\lambda_n - \lambda_{n-1})z}} \right| + \dots + \frac{a_0}{a_n} \left| \frac{1}{z^{m_n - m_0} e^{-(\lambda_n - \lambda_0)z}} \right| \leq \\
& \leq \frac{A}{R^\alpha e^{\beta\kappa}} + \frac{A}{R^{2\alpha} e^{2\beta\kappa}} + \dots + \frac{A}{R^{n\alpha} e^{n\alpha R}} \leq A \frac{1}{R^{(n\alpha)e^{\beta R}} - 1} < \frac{1}{2}
\end{aligned}$$

при достаточно большом  $R$ .

Докажем, что число нулей любой функции  $S_n(z)$  из последовательности  $\{S_n(z)\}$  ограничено в любой конечной части  $\tilde{Q}$  области  $Q = Q \setminus Q_1$ .

Допустим противное. Возьмем возрастающую последовательность положительных чисел  $\gamma_1, \gamma_2, \dots, \gamma_n, \dots$  и пусть  $S_{n_k}(z)/a_{n_k} z^{m_{n_k}} e^{-\lambda_{n_k} z}$  – функция, число нулей которой больше или равно числу  $\gamma_n$  ( $n=1, 2, \dots$ ).

Из последовательности  $\{S_{n_k}(z)/a_{n_k} z^{m_{n_k}} e^{-\lambda_{n_k} z}\}$  можно выделить подпоследовательность  $\{S_{n_p}(z)/a_{n_p} z^{m_{n_p}} e^{-\lambda_{n_p} z}\}$ , равномерно сходящуюся в области  $Q$  к аналитической функции  $\varphi(z)$ . Неравно тождественно нулю, так как значения всех функций указанной последовательности в точках  $Rez = -R$  больше  $\frac{1}{2}$ . Следова-

тельно, по теореме Гурвица, число нулей функции  $\{S_{n_p}(z)/a_{n_p} z^{m_{n_p}} e^{-\lambda_{n_p} z}\}$ , начиная с некоторого номера, равно числу нулей функций  $\varphi(z)$ , т. е. конечно. Это противоречит выбору последовательности  $\{S_{n_k}(z)/a_{n_k} z^{m_{n_k}} e^{-\lambda_{n_k} z}\}$ .

Теорема доказана.

#### ЛИТЕРАТУРА

- Луци Г. Л. О сверхсходимости некоторых рядов. Изв. АН Арм. ССР, т. XV. № 5, 1962, серия физ.-мат. наук.
- Фоменко С. В. О нулях частичных сумм рядов Дирихле. Изв. высш. учебн. заведений, матем., № 1, 1964.
- Краснощекова Т. Н. О нулях частичных сумм степенного ряда. Труды МАН, вып. 61, 1956.

Поступило 24. II 1968

Институт математики и механики

Эмадов Т. Г.

Тејлор-Дирихле сырасынын хүсуси чәмләринин сыйырлары нағында

#### ХУЛАСӘ

Мәгаләдә Тејлор-Дирихле сырасынын хүсуси чәмләринин сыйырларынын мүәллән областта мәңдүд олдуғы кестәрилмишdir.

ронировании положительного провода разряд бесшумен. Очевидно, источником звука являются стримеры, образующиеся при отрицательной короне.

ЭНЕРГЕТИКА

Ч. М. ДЖУВАРЛЫ, Г. В. ВЕЧХАЙЗЕР Ю. В. ГОРИН

**СВЕЧЕНИЕ ТОНКИХ ПРОВОДОВ ПРИ КОРОННОМ РАЗРЯДЕ**

Значительную информацию о коронном разряде можно получить, изучая свечение коронирующих проводов. Ниже приводятся некоторые результаты изучения свечения коронного разряда с помощью фотографирования коронирующих проводов и осциллографирования сигналов фотоумножителя. Так как корона фотографировалась через обычную стеклянную оптику, ультрафиолетовая часть спектра излучения коронного разряда не фиксировалась. Использовались фотоумножители типа ФЭУ-12А с областью спектральной чувствительности 3330—7500 Å. Эксперименты проводились на линейном участке характеристики фотоумножителя.

Измерения велись в системе провод-коаксиальный цилиндр. Использовались металлические секционированные цилиндры радиусами 2,5; 10 и 14 см с отверстиями для фотографирования. Исследование проводилось на медных проводах диаметром 0,6—1,0 мм и стеклянных капиллярах внешним диаметром 0,6—0,9 мм, заполненных ртутью [1]. Провода перед опытами полировались, промывались четыреххлористым углеродом и спиртом и проверялись под микроскопом на отсутствие заметных шероховатостей. Разнотолщинность рабочего участка провода не превышала 1%; как голые, так и покрытые диэлектриком провода проходили тренировку разрядом в течение нескольких часов. Тренировка прекращалась при установлении стационарного тока короны. Электрическая схема установки описана в [2].

Типичные фотографии свечения короны переменного тока частотой 50 гц на голом проводе приведены на рис. 1. На снимках четко различаются два типа свечения: яркий и узкий чехол у самой поверхности провода и отдельные вспышки, локализованное у некоторых точек провода, видимо, у микронеровностей или загрязнений, так как положение вспышек на проводе не меняется от периода к периоду.

Ранее [3,4] было показано, что свечение короны на тонких проводах сосредоточено в виде равномерного чехла при положительной полярности провода; при отрицательной — корона свечение имеет вид отдельных вспышек. В соответствии с этим ток короны в положительный полупериод непрерывен, а в отрицательный представляет собой наложение большого числа отдельных импульсов. Звук, сопровождающий коронный разряд, слышен только при коронировании на переменном и пульсирующем напряжении отрицательной полярности; при ко-

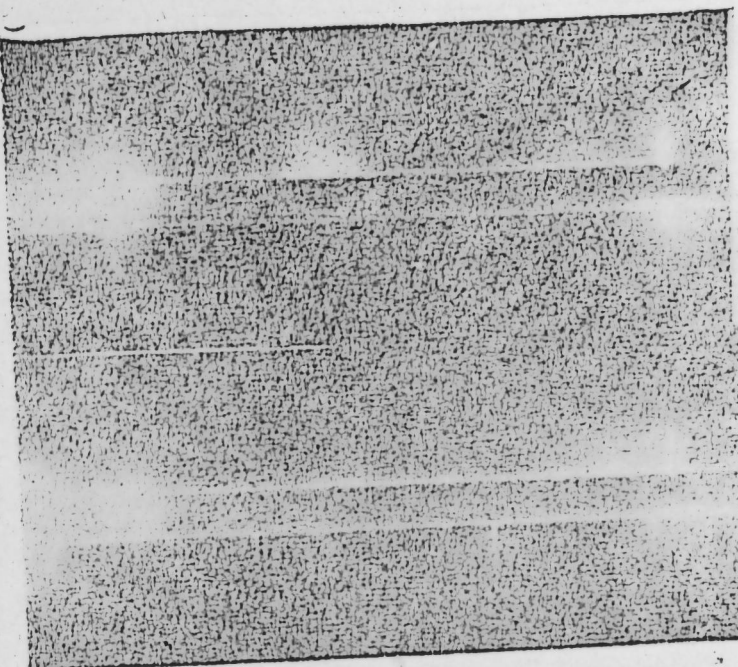


Рис. 1. Свечение короны на проводе диаметром 0,73 мм при переменном напряжении.

Данные по свечению короны позволяют сделать вывод, что при изучении коронного разряда на тонких проводах представление о сплошной зоне ионизации, сосредоточенной у провода — чехла короны, применимо только в случае положительной короны; в случае отрицательной короны это представление может быть принято только как грубое приближение.

Хотя характер (непрерывность тока положительной и дискретность отрицательной) короны на проводах с диэлектрическими покрытиями такой же [1], как и при короне на голых проводах, свечение короны имеет иной вид. На рис. 2 приведены снимки коронирующего на переменном напряжении стеклянного капилляра, полученные при разных выдержках. Свечение короны в этом случае состоит из очень узкого яркого чехла у поверхности диэлектрика и менее яркого диффузного чехла, диаметр которого примерно в два раза больше диаметра капилляра. Удовлетворительных снимков коронирования провода с диэлектрическим покрытием на постоянном напряжении получить не удалось из-за очень малой яркости свечения. Можно лишь поэтому, исходя из сравнения с осциллограммами тока и свечением голых проводов, высказать предположение, что узкий яркий чехол обусловлен положительной короной, а диффузный чехол, состоящий, видимо, из отдельных вспышек, равномерно распределенных по всей поверхности покрытия, короной в отрицательный полупериод. Однородность чехла на снимке может быть обусловлена изменением местоположения вспышек на поверхности покрытия от периода к периоду. Во всяком случае, представление о непрерывной зоне ионизации при коронировании проводов

с диэлектрическим покрытием в отрицательный полупериод напряжения более правомочно, чем при отрицательной короне с голого провода.

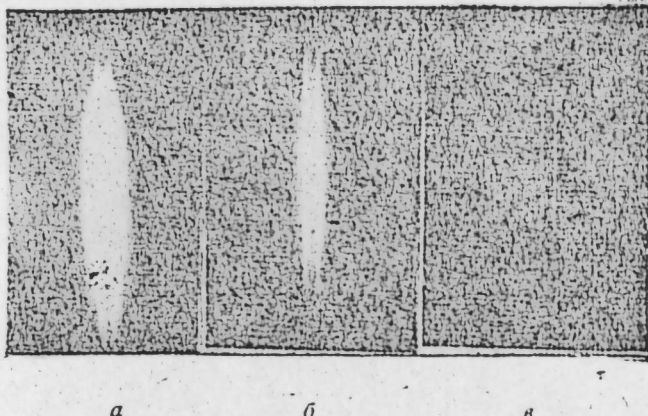


Рис. 2. Свечение короны на капиллярах на переменном напряжении при различных выдержках: а—10 сек, б—5 сек, в—1 сек.

Кроме фотографирования чехла и осциллографирования тока проводилось изучение свечения короны с помощью фотоумножителей. На рис. 3 представлены типичные осциллограммы тока короны и соответ-

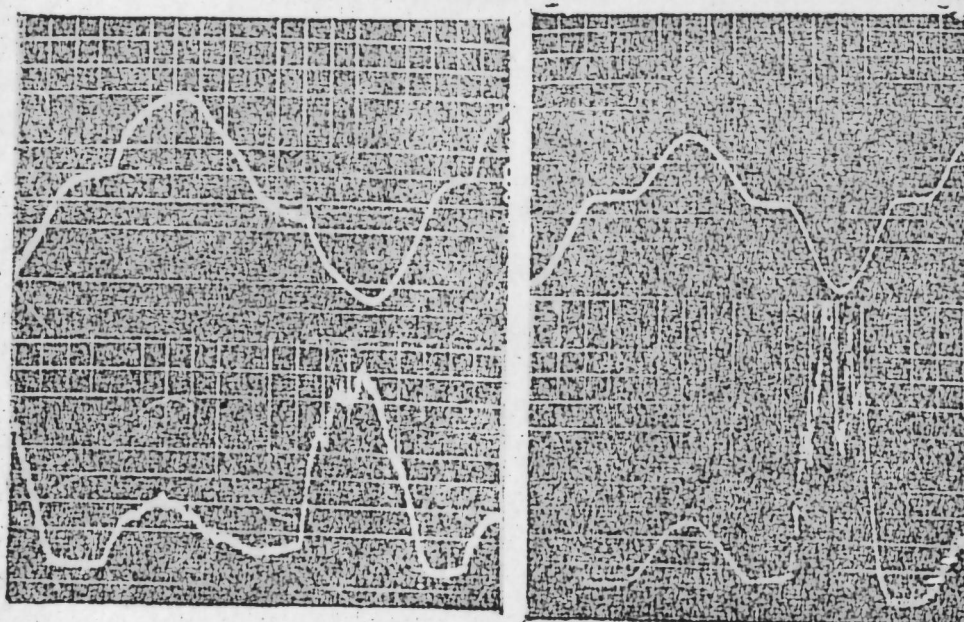


Рис. 3. Осциллограммы тока и сигнал ФЭУ.  
а, б — ток и сигнал ФЭУ в цилиндре  $R=10,0$  см; в, г — ток и сигнал ФЭУ в цилиндре  $R=2,5$  см.

ствующего сигнала ФЭУ с голого провода диаметром 0,73 мм в цилиндрах радиусом 2,5 и 10 см. Измерительное сопротивление шунтирова-

но емкостью 3300 пФ. Формы тока и сигнала ФЭУ хорошо повторяют друг друга, максимумы тока и сигнала ФЭУ почти всегда совпадают во времени. Ввиду непрерывности тока отрицательной короны и того факта, что во время съемки свет на катод ФЭУ попадал с ограниченного участка провода, амплитуда сигнала фотоумножителя, соответствующая отрицательному напряжению на проводе, подвержена сильным колебаниям (в 2–3 раза). При увеличении длины рабочего участка провода эти колебания могут быть резко уменьшены. Отметим, что начало свечения короны всегда совпадает с появлением коронного тока; очевидно, начальное напряжение  $U_n$  короны может быть определено как по появлению всплесков коронного тока, так и по появлению сигнала ФЭУ; полученные данные показывают, что из-за большого коэффициента усиления фотоумножители в этом отношении более чувствительны, чем осциллографы и токовые приборы. Были проведены сравнительные измерения амплитуд токов короны и соответствующих сигналов ФЭУ. В случае значительных разбросов (сигнал ФЭУ при отрицательной короне) вычислялась средняя величина из десяти измерений. Введем обозначения:  $J^\pm$  — амплитуда тока положительной и отрицательной короны,  $A^\pm$  — амплитуда сигнала ФЭУ (амплитуда света),  $\eta = U_m/U_n$  — кратность перенапряжения ( $U_m$  — амплитуда положительного напряжения);  $i$ ,  $a$  — мгновенные значения тока и света короны.

Измерения показали, что в цилиндре радиусом 2,5 см отношения  $J^-/J^+$  и  $A^-/A^+$  остаются практически постоянными, начиная с  $\eta=1,2$ ; при этом  $J^-/J^+=1$ , и  $A^-/A^+=4,6$ , т. е. отношение амплитуд света в три раза больше, чем отношение токов. Для цилиндров радиусом 10 и 14 см отношение  $J^-/J^+$  плавно растет от 0,5 до 1,05 в диапазоне  $\eta=1,1 \div 1,4$ , после чего остается постоянным; аналогично ведет себя отношение  $A^-/A^+$ ; при  $\eta \geq 1,4$  оно становится постоянным и равным 3,0. Контрольные измерения мгновенных значений  $i$  и  $a$  показали, что отношение  $i^-/a^-$  и  $i^+/a^+$  остаются практически постоянными в течение полупериода, поэтому все соотношения между амплитудами справедливы также и для интегральных (за полупериод) значений тока и интенсивности света. Таким образом, во всех трех цилиндрах в видимой области спектра световой поток по единице тока в три раза выше при отрицательной короне, чем при положительной. Изучение свечения короны на проводах с диэлектрическим покрытием показало, что яркость свечения короны в этом случае во много раз выше, чем при коронировании голого провода. Форма сигнала фотоумножителя подобна форме коронного тока; колебаний амплитуды сигнала ФЭУ при отрицательной полярности практически не наблюдается. Отношение  $J^-/J^+$  при  $\eta=1,05 \div 3,0$  остается почти постоянным и равным 1,1; отношение  $A^-/A^+$  при изменении  $\eta$  от 1,05 до 1,2 резко падает от 6 до 2 и при дальнейшем подъеме напряжение остается постоянным. Таким образом, интенсивность излучения при короне на проводах, покрытых диэлектриком, выше интенсивности при короне на голых проводах как в положительный, так и в отрицательный полупериод при прочих равных условиях.

#### ЛИТЕРАТУРА

- Джуварлы Ч. М., Вечхайзер Г. В., Горин Ю. В. ДАН Азерб. ССР, № 10, 1967.
- Джуварлы Ч. М., Вечхайзер Г. В., Горин, Леонов П. В. Изв. АН Азерб. ССР, серия физ.-мат. и техн. наук, № 2, 1966.
- Пик В. Ф. Диэлектрические явления в технике высоких напряжений. ОНТИ, 1934.
- Богданова Н. Б. Начальные напряжения короны на проводах. Сб. „Электроэнергетика“, 1963.

Институт энергетики

Поступило 12. V 1968

## ХУЛАСЭ

Мәгаләдә кичик диаметрли нагилләрдә дәјишән чәрәjan тачының ишигланмасының тәдгигиндән алыныш тәчрубы иетичәләр верилмишdir. Тәдгигат заманы 0,6—1,0 мм диаметрли чылпаг вә шүшә өртүкдир. Тәдгигат заманы 0,6—1,0 мм диаметрли чылпаг вә шүшә өртүкдир. Тәдгигат заманы 0,6—1,0 мм диаметрли чылпаг вә шүшә өртүкдир. Тәдгигат заманы 0,6—1,0 мм диаметрли чылпаг вә шүшә өртүкдир.

Мүәjjән едилмишлир ки, чылпаг нагилләрни тачвары бошалмада ванид чәрәjана дүшән ишиг сели мәниfi јарымпериодда мүсбәт јарымпериоддакына иисбәтән 3 дәфә, тачвары бошалманың ишигланмасының парлаглығы исә диелектриклә өртүлмүш нагилләрдә чылпаг нагилләрдәкинә иисбәтән хејли бөյүкдүр.

Библиографија көстәричиси дөрд әдәбијатдан ибаратdir.

## АСТРОНОМИЯ

М. А. МАМЕДОВ

ЧИСЛЕННЫЙ АНАЛИЗ РАСПРЕДЕЛЕНИЯ ОРБИТ  
ГИПОТЕТИЧЕСКИХ КОМЕТ ПРОДУКТОВ ИЗВЕРЖЕНИЯ  
С ПОВЕРХНОСТИ СПУТНИКА ЮПИТЕРА

(Представлено академиком АН Азербайджанской ССР Г. Б. Абдуллаевым)

Ранее мы рассматривали движение гипотетических комет, продуктов взрыва на поверхности Юпитера (М. А. Мамедов). Для того, чтобы такие кометы могли выйти из сферы действия Юпитера, скорость извержения  $v_{\min}$  должна быть порядка 60 км/сек.

В 1949 г. проф. С. К. Всехсвятский высказал гипотезу, что короткопериодические кометы образуются в результате извержений не на Юпитере, а на спутниках Юпитера или Сатурна. Эту скорость он оценивал в 4—7 км/сек для спутников Юпитера и порядка 3 км/сек для спутников Сатурна и т. д.

Мы остановимся в этой статье на анализе движения продуктов извержений с поверхности первого спутника Юпитера — ИО.

Предположим при этом, что Солнце является возмущающим телом и движется вокруг Юпитера по кругу с радиусом  $D(D = 5,2 a, e)$ . Найдем сначала минимальное значение скорости извержения с поверхности спутника ИО относительно Юпитера, при которой продукты извержения покинут сферу действия Юпитера и выйдут на гелиоцентрическую орбиту.

Обозначим через  $\Delta$  расстояние спутника от центра Юпитера ( $\Delta = 0,00283462 a, e$ ). Тогда параболическая скорость относительно Юпитера на расстояниях  $\Delta$  равна

$$V_{\Delta}^* = \sqrt{\frac{2k^2 m}{\Delta}} \quad (1)$$

где  $m$  — масса Юпитера.

Поскольку ИО движется вокруг Юпитера по кругу с радиусом  $\Delta$ , то его орбитальная скорость определяется формулой

$$v = \sqrt{\frac{k^2 m}{\Delta}}. \quad (2)$$

Тогда для минимальной скорости  $v^*$  продукта извержения относительно спутника на границе его сферы действия имеем формулу

$$v_{\sigma}^* = V_{\Delta}^* - v. \quad (3)$$

Связь между скоростью  $V_\Delta$  относительно Юпитера и скорости относительно спутника при различных направлениях  $v_\sigma$  определено формулой

$$V_\Delta^2 = v_\sigma^2 + v^2 + 2v_\sigma v \cos \varphi, \quad (4)$$

где  $\varphi$  — угол между направлением спутника на орбите и направлением скорости  $v_\sigma$ .

Величина скорости  $v_\sigma$  при каком-либо фиксированном угле  $\varphi$  должна быть такова, чтобы

$$V_\Delta > V_\Delta^*. \quad (5)$$

Связь между скоростью  $v_\sigma$  (на границе сферы действия спутника) и скоростью  $v_0$  на поверхности спутника определяется формулой

$$v_0 = v_\sigma - \frac{2k^2\mu}{\sigma} + \frac{2k^2\mu}{\delta}. \quad (6)$$

В этой формуле  $\sigma$  — радиус сферы действия спутника,  $\delta$  — его радиус,  $\mu$  — масса спутника. В дальнейшем, варьируя начальное значение  $v_0$ , можно найти  $v_\sigma$  с помощью формулы (6). Если  $\varphi = 0^\circ$ , то направление извержения совпадает с направлением движения спутника.

Если  $\varphi = 180^\circ$ , то скорость извержения  $v_0$  направлены в противоположную сторону.

Таким образом, имеем, что при заданном  $v_\sigma$ ,

$$V_\Delta = V_{\Delta \max} = v_\sigma + v, \quad \text{при } \varphi = 0^\circ,$$

$$V_\Delta = V_{\Delta \min} = v_\sigma + v, \quad \text{при } \varphi = 180^\circ.$$

Если при заданном  $v_\sigma$  мы получили  $V_{\Delta \min} \geq V_\Delta^*$  при всех углах  $\varphi$ , то такая скорость  $v_\sigma$  приводит к образованию гипотетических комет с гелиоцентрическими орбитами. Если при заданном  $v_\sigma$  мы получим  $V_{\Delta \max} > V_\Delta^*$ , то в этом случае при некоторых  $\varphi$  продукты извержения выйдут из сферы действия Юпитера на гелиоцентрическую орбиту с элементами  $a, e, q, i$ .

Мы выбираем и варьируем при вычислении данной скорости и найдем  $V_{\Delta \max}$  с помощью формул (6) и (4) при данных условиях, что  $V_{\Delta \max} > V_\Delta^*$ . Скорость  $v_0$  при этом равна 7,29 км/сек.

В формуле (4)  $\varphi$  меняется от  $0^\circ$  до  $180^\circ$  через  $30^\circ$ ,  $\beta$  меняется через  $10^\circ$  от  $0^\circ$  до  $50^\circ$ . ( $\beta$  — угол между направлением скорости и плоскостью Юпитера).

Таким образом, методом численного интегрирования уравнения исследуется движение гипотетических небесных тел от поверхности спутника ИО до выхода сферы действия Юпитера (каждый раз меняется  $\varphi, \beta$  и  $v_0$ ). В сфере действия Юпитера вычисляется около 300 гелиоцентрических орбит по положениям и скоростям. Оказалось, что все эти орбиты обладают большим перигелийным расстоянием  $q > 4$  а. е. Поэтому не следует рассматривать сопоставление теоретических и эмпирических распределений полученных и реальных орбит, т. к. с поверхности Земли вообще наблюдаются кометы с перигелийным расстоянием  $q < 4$  а. е. Отсюда следует сделать вывод, что упомянутая гипотеза едва ли находит подтверждение при подобном анализе.

Шемахинская  
астрофизическая обсерватория

Поступило 25. II 1969

М. Э. Мэммэдов

Юпитерин пејкинин сәтниндән вулкан пүскүрмәси  
иәтичәсендә айрылан һипотетик каметләрин орбитләринин анализи

## ХУЛАСӘ

Мәгаләдә һипотетик каметин Юпитерин биринчи пејки олан ИО-дан айрылараг камет орбити әмәлә кәтирмәси үчүн мүмкүн һаллара ба-хылмышдыр. Соңра алышан орбитләрин анализи иәтичәсендә ашкар едилемишdir ки, Юпитерин пејки ИО-дан айрылан һипотетик каметләр мүшәнидә олунан реал каметләрлә һеч бир үмуми һала малик дејилдир. Беләликлә аյдынлашдырылышдыр ки, пејкләрин сәтниндән айрылан материјадан каметләрин әмәлә кәлмәси иәзәрийәси сәһвдир.

ОРГАНИЧЕСКАЯ ХИМИЯ

А. М. КУЛИЕВ, А. Н. АГАЕВ

СИНТЕЗ НЕКОТОРЫХ N- и S-ЗАМЕЩЕННЫХ ПРОИЗВОДНЫХ 4-АМИНОТИФЕНОЛА

Ранее указывалось, что N- и S-замещенные производные аминотиофенолов применяются в медицине как противовирусные [1] и антигельминтные [2] вещества. С другой стороны, известно, что некоторые азотсодержащие производные алкилфенолов и алкилтиофенолов, благодаря их высоким антиокислительным и антакоррозийным свойствам, применяются как эффективные присадки к смазочным маслам [3].

Наряду с вышеизложенным представлялось интересным исследовать влияние N- и S-замещенных производных аминотиофенолов на качество смазочных масел. С этой целью нами были синтезированы некоторые N- и S-замещенные производные 4-аминотиофенола (I).

Взаимодействием (I) с этиленихлоридрином и металлилхлоридом были синтезированы соответственно  $\beta$ -оксиэтил- (II) и металлил-(III)-4-аминофенилсульфида.

Реакцией (I) с акрилонитрилом и метакрилонитрилом были получены  $\beta$ -цианэтил- (IV) и  $\beta$ -цианипропил-(V)-4-аминофенилсульфиды.

Взаимодействием (I) с метиловым эфиром метакриловой кислоты был синтезирован метиловый эфир  $\alpha$ -метил-( $\beta$ -4-аминофенилмеркапто)-пропионовой кислоты-(VI).

Выходы и физико-химические константы синтезированных соединений приведены в табл. 1.

Наличие первичных аминных групп в полученных сульфидах было доказано ИК-спектрами, а также получением их ацетильных производных.

В ИК-спектре синтезированных соединений имеется интенсивная полоса поглощения в области 3400, 3420  $\text{cm}^{-1}$ , характерная для колебаний  $\text{NH}_2$  группы соединенной с ароматическим ядром [4].

Реакцией (III), (IV) и (V) с уксусным ангидридом были синтезированы, соответственно металлил-(VIII),  $\beta$ -цианэтил-(IX) и  $\beta$ -цианипропил-(X)-4-ацетиламинофенилсульфиды. Взаимодействием (VI) с уксусным ангидридом был получен метиловый эфир  $\alpha$ -метил-( $\beta$ -4-ацетиламинофенилмеркапто)-пропионовой кислоты (XI).

Выходы и физико-химические константы полученных соединений приведены в табл. 2.

Таблица 1

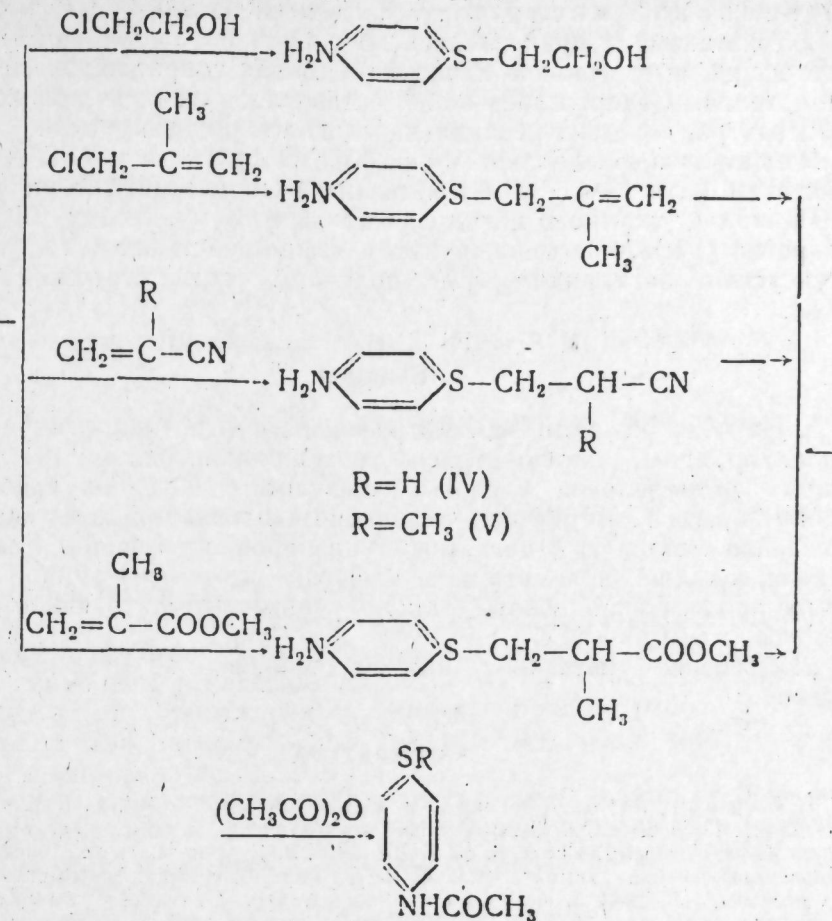
№	R	Выход %	Т. кип., °C, м.м., или Т. п.l.	$d_4^{20}$	$n_D^{20}$	MRD	Найдено, %			Формула	Вычислено, %				
							C	H	N		C	H	N		
1	$\text{CH}_2\text{CH}_2\text{OH}$	69	174—175 / 71	1,2160	1,6302	49,44	57,10	6,94	7,90	$\text{C}_5\text{H}_{11}\text{NOS}$	6,83	6,55	8,28		
2	$\text{CH}_2-\overset{\text{CH}_3}{\underset{\text{CH}_3}{\text{C}}-\text{CH}_2$	74	105—106 / 0,3	1,0685	1,6074	57,87	56,93	66,42	7,89	17,42	$\text{C}_{10}\text{H}_{13}\text{NS}$	66,93	7,31	7,81	
3	$\text{CH}_2-\overset{\text{CH}_3}{\underset{\text{CH}_3}{\text{CH}}-\text{CN}$	69	188—189 / 1,8 / 49	—	—	—	61,14	6,11	15,20	17,60	$\text{C}_9\text{H}_{12}\text{N}_2\text{S}$	60,64	5,66	15,71	
4	$\text{CH}_2-\overset{\text{CH}_3}{\underset{\text{CH}_3}{\text{CH}}-\text{CN}$	91	169—170 / 0,65 / 66—67	—	—	—	62,30	6,54	13,77	16,38	$\text{C}_{10}\text{H}_{12}\text{N}_2\text{S}$	62,46	6,29	14,57	
5	$\text{CH}_2-\overset{\text{CH}_3}{\underset{\text{CH}_3}{\text{CH}}-\text{COOCH}_3$	72	144—145 / 0,3	1,1588	1,5800	64,14	63,67	58,65	7,08	6,55	14,13	$\text{C}_{11}\text{H}_{15}\text{NO}_2\text{S}$	58,64	6,72	6,22

Таблица 2

N- и S-Замещенные производные 4-аминофенола  $\text{C}_6\text{H}_4\text{CONH}-\text{C}_6\text{H}_3-\text{SR}$

№ № сое- дин.	R	$\varnothing$ в % (раствори- тель для кристаллиза- ции бензол- изооктана)	Найдено, %				Формула	Вычислено, %				
			C	H	N	S		C	H	N	S	
1	$\text{CH}_2-\overset{\text{CH}_2}{\underset{\text{CH}_3}{\text{C}}}=\text{CH}_2$	89	88—89	65,17	7,25	6,66	13,90	$\text{C}_{12}\text{H}_{15}\text{NOS}$	65,12	6,83	6,33	14,49
2	$\text{CH}_2-\overset{\text{CH}_2}{\underset{\text{CH}_3}{\text{C}}}\text{CN}$	91	120—121	60,35	5,94	12,47	14,77	$\text{C}_{11}\text{H}_{12}\text{N}_2\text{OS}$	59,97	5,49	12,72	14,56
3	$\text{CH}_2-\overset{\text{CH}_2}{\underset{\text{CH}_3}{\text{C}}}\text{CN}$	91	78—79	61,74	6,47	11,61	13,80	$\text{C}_{12}\text{H}_{14}\text{N}_2\text{OS}$	61,51	6,02	11,96	13,68
4	$\text{CH}_2-\overset{\text{CH}_2}{\underset{\text{CH}_3}{\text{C}}}\text{COOCH}_3$	83	43,5—44,5	58,93	7,15	5,55	11,93	$\text{C}_{13}\text{H}_{17}\text{NO}_3\text{S}$	58,40	6,41	5,24	11,99

Общая схема реакции изображена следующим образом:



### ЭКСПЕРИМЕНТАЛЬНАЯ ЧАСТЬ

4-Аминофенол (I) был получен по известному методу [5] из 4-хлорнитробензола.

$\beta$ -Оксид этил-4-аминофенилсульфид (II). К смеси из 5,0 г (0,04 моль) (I) и 1,6 г (0,04 моль) едкого натра в виде 27%-ного водного раствора при перемешивании прибавлялось 3,2 г (0,04 моль) этиленхлоргидрина. Реакция экзотермична. После прибавления всего количества этиленхлоргидрина содержимое колбы нагревалось на водяной бане в течение 1,5—2 часов. Продукт реакции экстрагировался эфирем, промывался водой и сушился над безводным  $\text{Na}_2\text{SO}_4$ . После удаления растворителя остаток подвергался вакуумной перегонке. Аналогичным путем взаимодействием 7,5 г (I) и 5,5 г металлихлорида был получен (III).

$\beta$ -Цианэтил-4-аминофенилсульфид (IV). К смеси из 7,5 г (0,06 моль) (I) и 0,1 г триэтиламина по каплям прибавлялся 4,8 г (0,09 моль) свежеперегнанный стабилизированный гидрохиноном акрилонитрил. Реакционную смесь, которая самопроизвольно разогревается, оставляют на 15 минут, а потом нагревают в течение 1 часа на водяной бане. Продукт реакции перегонялся под вакуумом.

Аналогичным путем взаимодействием 5,0 г (I) и 4,0 г метакрилонитрила были синтезированы (V).

Метиловый эфир  $\alpha$ -метил-( $\beta$ -4-аминофенилмеркапто)-пропионовой кислоты (VI). К смеси из 5,0 г (0,04 моль) (I) и 0,1 г триэтиламина прибавлялось по каплям 6,0 г (0,06 моль) метилового эфира метакриловой кислоты. Реакция сопровождалась выделением тепла. Содержимое колбы оставлялось на ночь при комнатной температуре. Продукт реакции перегонялся под вакуумом.

Металлил-4-ацетилааминофенилсульфид (VII). Взаимодействием 1,1 г (0,006 моль) металлил-4-аминофенилсульфида с 0,6 г (0,006 моль) уксусного ангидрида по известному методу [6] был синтезирован (VII). Аналогичным путем взаимодействием (IV), (V) и (VI) с уксусным ангидридом были получены соответственно (VIII), (IX) и (X).

### Выводы

1. Изучена реакция 4-аминотиофенола с этиленхлоридрином, металлилхлоридом, акрилонитрилом, метакрилонитрилом и метиловым эфиром метакриловой кислоты, в результате чего получено 6 ранее не описанных в литературе S-замещенных производных 4-аминотиофенола. Для металлил,  $\beta$ -цианэтил,  $\beta$ -цианпропилсульфидов 4-аминотиофенола, а также для метилового эфира  $\alpha$ -метил-( $\beta$ -4-аминофенилмеркапто)-пропионовой кислоты были получены соответствующие ацетильные производные.

2. Строение синтезированных соединений доказано их ИК-спектрами.

### ЛИТЕРАТУРА

1. Campaigne E., Thompson R.L., Van Werth I. E. I. Med and Pharmac. chem. I, № 6, 577, 1959.
2. Sumegman-Graig I., Rogers W. P., Wagstaff G. P. Austral J. Chem. 8, № 2, 252, 1955.
3. Кулиев А. М. Присадки к сма佐чным маслам. Изд. "Химия", 1964.
4. Беллами Л. Инфракрасные спектры сложных молекул. ИЛ, 1963.
5. Курихара. Нива, Ро, Тиба Якугаку дзасси. J. Pharmac. soc. Japan. 73, № 7, 725, 1953.
6. Скворцова Г. Г., Степанова З. В., Тырина С. М. ЖОРХ, 2, вып. 9, 1656, 1966.

ИХП

Поступило 4.VII 1968

Э. М. Гулиев, Э. Н. Агаев

### 4-Аминотиофенолуну бир нечә N- вә S-эвээли төрэмләринин синтези

### ХУЛАСЭ

Мәгалә 4-аминотиофенолун етиленхлоридринлә, металлилхлоридлә, акрилонитриллә, метакрилонитриллә, метакрил туршусунун метилефири илә реаксијаларының өјрәнилмәсина вә алышмыш бә'зи S-эвээли төрэмләрин ацетилләшмәсина һәср олуумушдур.

Б. К. ЗЕИНАЛОВ, Ф. А. МЕХТИЕВА, Э. И. ХРОМУШИНА

### СИНТЕЗ АМИЛОКСИГЛИКОЛЕВЫХ ЭФИРОВ ЖИРНЫХ КИСЛОТ

(Представлено академиком АН Азербайджанской ССР М. Ф. Нагиевым)

В сообщениях [1, 2] описаны способы получения пропокси- и бутоксиэтенгликолевых эфиров жирных кислот. Показатели полученных эфиров показывают, что высокомолекулярные представители могут быть применены в качестве эффективных пластификаторов. Руководствуясь этими соображениями, была предпринята работа по синтезу и изучению амилоксигликолевых эфиров жирных кислот, чему посвящена данная работа.

Синтез осуществлялся взаимодействиемmonoамиловых эфиров этиленгликоля, взятых с 5%-ным избытком, с жирными кислотами в среде сухого толуола в присутствии концентрированной серной кислоты.

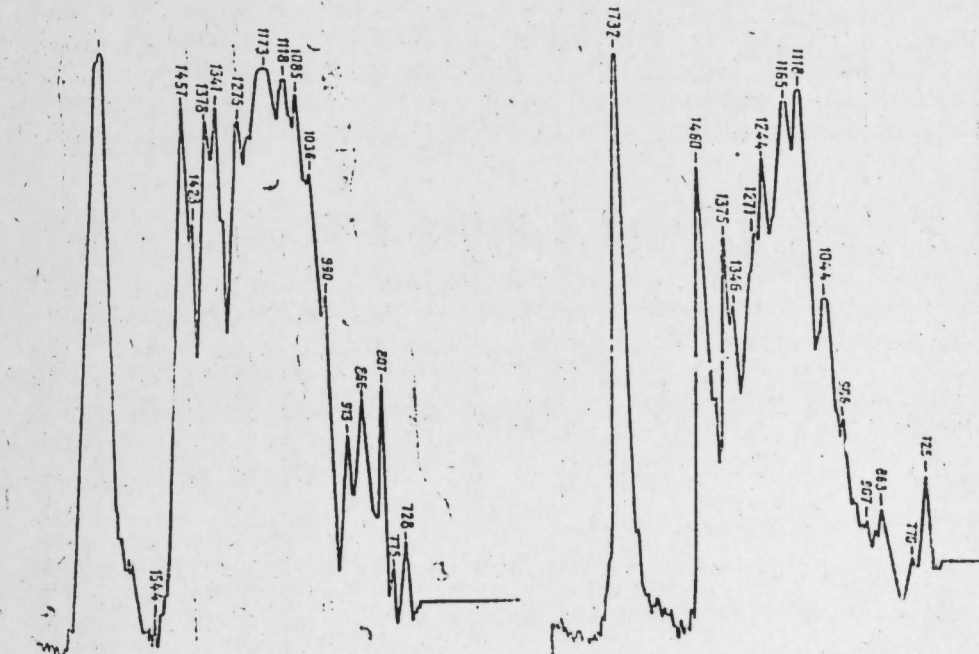


Рис. 1. Пропионат амилоксигликоолия. Рис. 2. Капронат амилоксигликоолия.

Физико-химические показатели эфиров амилоксиэтиленгликоля,  $\text{H}_1\text{C}_2\text{OCH}_2\text{CH}_2\text{OCOR}$

R	Температура кипения при ост. дав., $\text{м.м}$ рт. ст., $^{\circ}\text{C}$	$b_D^{20}$	$d_4^{20}$	MRD найд. втч.	Найдено Вычис- лено		Эмпирическая формула	Эфирное число	Выход, %
					C	H			
H	50—52/1,5	0,9412	1,4178	42,823	60,8	11,1	$\text{C}_8\text{H}_{16}\text{O}_3$	407,2	35,5
$\text{CH}_3$	66—67,3/3	0,9381	1,4198	42,323	60,0	10,0	$\text{C}_9\text{H}_{18}\text{O}_3$	371,4	41,0
$\text{C}_2\text{H}_5$	76—77/2,5	0,9325	1,4203	47,88	62,1	10,33	$\text{C}_{10}\text{H}_{20}\text{O}_3$	301,2	76,6
$\text{C}_3\text{H}_7$	75—77/1	0,9260	1,4233	51,056	63,2	10,7	$\text{C}_{11}\text{H}_{22}\text{O}_3$	287,0	79,2
$\text{C}_4\text{H}_9$	93—95/1	0,9161	1,4268	55,559	63,8	10,64	$\text{C}_{12}\text{H}_{24}\text{O}_3$	264,8	80,8
$\text{C}_5\text{H}_{11}$	119—120/2,0	0,9042	1,4290	55,577	65,1	10,7	$\text{C}_{13}\text{H}_{26}\text{O}_3$	251,3	84,1
$\text{C}_6\text{H}_{13}$	120—121/1	0,9057	1,4324	65,4	67,9	11,3	$\text{C}_{14}\text{H}_{28}\text{O}_3$	251,3	84,1
$\text{C}_7\text{H}_{15}$	137—137,5/1	0,9005	1,4330	69,84	69,6	11,5	$\text{C}_{15}\text{H}_{30}\text{O}_3$	211,2	85,4
$\text{C}_8\text{H}_{17}$	146—147/1	0,9030	1,4371	70,027	68,8	11,48	$\text{C}_{16}\text{H}_{32}\text{O}_3$	205,8	80,3
$\text{C}_9\text{H}_{19}$	160—161/1	0,8921	1,4395	84,235	72,0	12,3	$\text{C}_{17}\text{H}_{34}\text{O}_3$	195,4	84,7
$\text{C}_{10}\text{H}_{21}$	170—172/1	0,8989	1,4410	83,885	71,4	11,88	$\text{C}_{18}\text{H}_{36}\text{O}_3$	188,3	87,9
$\text{C}_{11}\text{H}_{23}$	178—179/1	0,8889 (30°)	1,4382 (30°)	89,04	73,5	12,7	$\text{C}_{19}\text{H}_{38}\text{O}_3$	182,0	85,9
$\text{C}_{12}\text{H}_{25}$	192—194/2	—	—	88,51	72,0	12,0	$\text{C}_{20}\text{H}_{40}\text{O}_3$	173,4	84,5
$\text{C}_{13}\text{H}_{27}$	202—204/3	—	—	92,76 93,12	72,6	12,9	$\text{C}_{21}\text{H}_{42}\text{O}_3$	168,5	86,4
$\text{C}_{14}\text{H}_{29}$	210—212/3	—	—	—	73,1	12,0	$\text{C}_{22}\text{H}_{44}\text{O}_3$	161,3	81,6
$\text{C}_{15}\text{H}_{31}$	222—224,3	—	—	—	73,2	12,2	$\text{C}_{23}\text{H}_{46}\text{O}_3$	156,2	78,4
$\text{C}_{17}\text{H}_{33}$	245—247/3	—	—	—	73,6	13,3	$\text{C}_{25}\text{H}_{50}\text{O}_3$	147,2	75,6
<i>R</i> —Кислотные радикалы									

R—Кислотные радикалы

Моноамиловый эфир этиленгликоля, используемый в качестве исходного продукта, был синтезирован по работе [3, 4] и имел следующие показатели: т. кип.  $184^{\circ}\text{C}$ ,  $n_D^{20} = 1,4219$ ,  $d_4^{20} = 0,8811$ . Литературные данные: т. кип.  $184^{\circ}\text{C}$ ,  $n_D^{15} = 1,4226$ ,  $d_4^{15} = 0,8893$ .

Строение некоторых синтезированных эфиров (пропионат- и карбонат амилоксиэтиленгликоля) было доказано спектральным анализом (рис. 1, 2). Согласно полученным результатам, наличие в синтезированных соединениях C—O—C связи доказывается полосами поглощения  $1085$ — $1118 \text{ см}^{-1}$  и  $1118 \text{ см}^{-1}$ , C=O связи  $1732$ , а C—O связи  $1173$ — $1275$  и  $1244 \text{ см}^{-1}$ , что соответствует литературным данным.

### ЭКСПЕРИМЕНТАЛЬНАЯ ЧАСТЬ

В колбу емкостью  $0,25 \text{ л}$  помещают в равных мольных соотношениях моноамиловый эфир этиленгликоля и жирную кислоту, 2% серной кислоты к весу моноамилового эфира этиленгликоля и толуол, служащий в качестве азеотропной смеси, в количестве 50—60% к общей загрузке.

Реакция протекает при  $124$ — $130^{\circ}\text{C}$  в течение 3—6 часов.

#### Синтез пропионатамилоксиэтиленгликоля ( $\text{C}_{10}\text{H}_{20}\text{O}_3$ )

Смесь из  $13,88 \text{ г}$  амилоксиэтиленгликоля,  $7,4 \text{ г}$  пропионовой кислоты,  $0,27 \text{ г}$  96%-ной серной кислоты и  $35 \text{ мл}$  толуола нагревают 3 часа при  $124$ — $127^{\circ}\text{C}$ . Выделяется  $2 \text{ мл}$  воды.

Реакционную массу охлаждают до комнатной температуры, переносят в делительную воронку и промывают водой. Полученный эфир нейтрализуют 2%-ным водным раствором щелочи, промывают до нейтральной реакции, сушат над хлористым кальцием, после отгоняют толуол и перегоняют в вакууме. Получено  $14,76 \text{ г}$  (76,6%) пропионатамилоксиэтиленгликоля с температурой кипения  $76$ — $77^{\circ}$  (2,5  $\text{м.м}$ ) в виде прозрачной вязкой жидкости. Найдено, %: C—63,0; H—10,7,  $\text{C}_{10}\text{H}_{20}\text{O}_3$ . Вычислено: %: C—63,8; H—10,64.

Аналогичным путем синтезированы еще 16 новых, не описанных в литературе представителей этого ряда. Выходы, физико-химические константы и данные анализов, полученных эфиров, приведены в таблице.

### Выводы

1. Установлены оптимальные условия синтеза эфиров амилоксиэтиленгликоля жирных кислот с числом углеродных атомов от 1 до 18.

2. Строение двух эфиров доказано методом ИК-спектроскопии на приборе ИКС-14 „А“.

3. Синтезированы не описанные ранее в литературе 17 новых эфиров амилоксиэтиленгликоля.

### ЛИТЕРАТУРА

- Зейналов Б. К., Мехтиева Ф. А., Мамедова С. Г., Хромушкина Э. И. АНХ, 4, 59, 1968.
- Зейналов Б. К., Мехтиева Ф. А., Мамедова С. Г., Хромушкина Э. И. Азерб. хим. ж., 1, 17, 1968.
- Demole Вег., 9, 743, 1876.
- Palomaa. Вег., 35, 3300, 1902.

Мәгаләдә бирдән он сәккизә гәдәр карбон атомы олан йағ туршулары вә етиленгликолуи мономайл ефири әсасында амилоксистиленгликол ефиirlәриини алымасындан бәлс олуимушдур.

Ефирләриңиң алынмасындағы бөлең окумуштар  
Ефирләриңиң гуруулушу спектр васитәсілә мүәжжеләшдирилмиш, һәм  
чииң алына гајдасы вә режими өфрәнилмишdir. Беләликлә 17 йени  
типлү ефир синтез едилмишdir.

ФИЗИЧЕСКАЯ ХИМИЯ

Магерам МАМЕДОВ, м. м. ГУСЕЙНОВ, И. И. МАМЕДОВ

## СИНТЕЗ ПЕРХЛОРАЛЛИЛОВЫХ ЭФИРОВ ГЛИЦИДОЛА

(Представлено академиком АН Азербайджанской ССР М. А. Далиним)

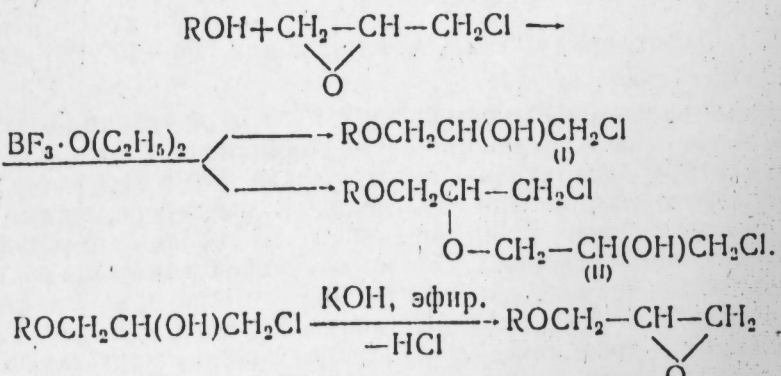
Общеизвестно, что спирты легко реагируют с эпихлоргидринаами. Этот вопрос подробно освещен в монографии М. С. Малиновского [1].

Подробно изучена также реакция аллилового спирта с эпихлоргидрином [2-4]. В то же время относительно конденсации эпихлоргидрина с хлорсодержащими спиртами в литературе данных почти нет.

Между тем на основе продуктов конденсации эпихлоргидрина с хлорсодержащими аллиловыми спиртами можно получить перхлораллиловые эфиры глицидола, пригодные для получения термостойких клеев и смол.

В настоящей работе представлены результаты, полученные при конденсации эпихлоргидрина с дихлораллиловым, трихлораллиловым спиртами и тетрахлорпропанолом. Соответствующие хлорсодержащие спирты были получены путем конденсации трихлорэтилена с параформом по реакции Принса [5, 6].

реакции приводят [3, 5]. Реакция осуществлялась по следующей схеме:



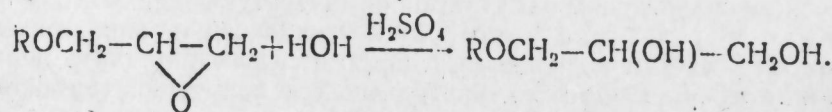
$$\text{R} = \text{CCl}_3 = \text{CH}-\text{CH}_2-, \quad \text{CCl}_2 = \text{CCl}-\text{CH}_2, \quad \text{CCl}_3-\text{CHCl}-\text{CH}_2-$$

Следует отметить, что конденсация эпихлоргидрина почти во всех случаях сопровождается образованием двух продуктов—моноприсоединения (I) и вторичного присоединения (II). Причем, продукт вторичного присоединения удалось выделить и идентифицировать лишь в случае 1, 2-дихлораллилового спирта.

Выход продуктов как первичного, так и вторичного присоединения в значительной степени зависит от величины молярного избытка спирта и температуры реакции. Повышение молярного соотношения спирта приводит к увеличению выхода продуктов (I) и снижению выхода продуктов (II). Повышение молярной концентрации спирта благоприятно сказывается и на соотношении продуктов первичного и вторичного присоединения. Так, если при молярном соотношении спирт: эпихлоргидрин 1:1 продукт первичного присоединения в 1,5 раза больше продукта (II), то при соотношении 5:1 продукт (I) почти в 5–6 раз больше, чем продукт (II).

При получении эпоксидных соединений следует отметить чрезвычайную легкость отщепления хлористого водорода, которое протекает почти с количественным выходом. Характерная легкость отщепления хлористого водорода хорошо иллюстрируется на примере продукта конденсации эпихлоргидрина с тетрахлорпропанолом. Многочисленные попытки получить 1,1,1,2-тетрахлорпропиловый эфир глицидола не увенчались успехом. Как правило, реакция сопровождается отщеплением двух молекул хлористого водорода и образованием трихлораллилового эфира глицидола. Эпоксидные соединения, полученные отщеплением хлористого водорода от 1,1,1,2-тетрахлорпропилового эфира хлорпропиленгликоля, оказались идентичными с 1,1,2-трихлораллилглицидным эфиром.

Полученные эпоксидные соединения легко гидролизуются под действием 1%-ного раствора серной кислоты, образуя соответствующие  $\alpha$ -перхлораллиловые эфиры глицерина.



### ЭКСПЕРИМЕНТАЛЬНАЯ ЧАСТЬ

Исходные спирты были получены по методу [5] и имели следующие константы:

- 1) 1,1,1,2-тетрахлорпропанол, т. кип. 83–84° (6 мм), т. пл. 39°C.
- 2) 1,1-дихлораллиловый спирт, т. кип. 56–57° (4 мм),  $n_D^{20}$ —1,4945,  $d_4^{20}$ —1,3763.
- 3) 1,1,2-трихлораллиловый спирт, т. кип. 89–90° (15 мм),  $n_D^{20}$ —1,5225,  $d_4^{20}$ —1,5509.

**1,1-дихлораллиловый эфир 3'-хлор-1'-пропиленгликоля (I).** В трехгорлую колбу, снабженную мешалкой, термометром, капельной воронкой и обратным холодильником, поместили 140 г (1,1 моля) 1,1-дихлораллилового спирта. При 0°C добавили свежеперегнанный эфират трехфтористого бора. Затем медленно, по каплям прибавили 51 г (0,55 моля) эпихлоргидрина. После окончания эпихлоргидрина реакционная смесь перемешивалась в течение 2 часов при комнатной температуре. Продукт реакции подвергался вакуумной разгонке. Выделено две фракции: 1 фракция—87,2 г (72% от теории) представляет собой 1,1-дихлораллиловый эфир 3'-хлор-1'-пропиленгликоля (I), т. кип. 100–101 (1,5 мм),  $n_D^{20}$ —1,5035,  $d_4^{20}$ —1,3719. MR<sub>D</sub> 47,33, выч. 47,31. Найдено, %: C—32,46; H—4,21; Cl—49,00.  $C_6H_9O_2Cl_3$ , вычислено, %: C—32,83; H—4,13; Cl—48,50. Вторая фракция—15 г (17,45% от теории) представляет собой (II), т. кип. 150–154° (1 мм),  $n_D^{20}$ —1,5060,  $d_4^{20}$ —1,3768, MR<sub>D</sub>—67,32; выч. 67,82. Найдено, %: C—35,00; H—4,81; Cl—45,00.  $C_6H_{11}O_3Cl_4$ . Вычислено, %: C—34,64; H—4,52; Cl—45,45.

Ф о р м у л а	Суммарная формула	Т. кип., °C и/мм.	$n_D^{20}$	$d_4^{20}$	Выход, %	MR <sub>D</sub>	Элементарный анализ, %				
							найд.	выч.	найд.	выч.	найд.
$\text{CCl}_2=\text{CCl}-\text{CH}_2\text{OCH}_2\text{CH}(\text{OH})\text{CH}_2\text{Cl}$	$\text{C}_6\text{H}_9\text{O}_2\text{Cl}_3$	106–107 (1)	1,5180	1,4774	71,2	52,098	52,11	28,00	28,35	3,2	3,2
$\text{CCl}_2=\text{CCl}-\text{CH}_2\text{OCH}_2-\text{CH}-\underset{\text{O}}{\text{C}}$	$\text{C}_6\text{H}_7\text{O}_2\text{Cl}_3$	73–74 (1)	1,5040	1,4132	95	45,57	45,48	33,00	33,13	3,52	3,24
$\text{CCl}_2=\text{CCl}-\text{CH}_2\text{OCH}_2\text{CH}(\text{OH})\text{CH}_2\text{OH}$	$\text{C}_6\text{H}_9\text{O}_3\text{Cl}_3$	134–135 (1)	1,5180	1,4666	52,54	48,65	48,80	30,40	30,59	3,65	3,85
$\text{CCl}_3-\text{CHCl}-\text{CH}_2\text{OCH}_2\text{CH}(\text{OH})\text{CH}_2\text{Cl}$	$\text{C}_6\text{H}_{11}\text{O}_2\text{Cl}_5$	125–127 (1)	1,5118	1,5257	68,3	57,12	57,43	24,2	24,61	3,61	3,12

Аналогичным образом синтезированы и другие представители, выхода и физико-химические константы которых представлены в таблице.

**1,1-дихлораллиловый эфир глицидола.** Получен действием 28 г (0,5 моля) порошка едкого калия на 70 г (0,32 моля) хлоргидрина (I) в 400 мл абс. эфира при охлаждении водой. По окончании реакции (4 часа) смесь нагревалась до кипения эфира (2 часа). Продукт отфильтровывался, осадок промывался сухим эфиром. После отгонки эфира продукт разгонялся в вакууме. Получено 50 г (85,76%) окиси (III)—бесцветная жидкость, т. кип. 63,5—64° (1 мм),  $n_D^{20}$ —1,4844;  $d_4^{20}$ —1,2813;  $M_{R_D}$ —40,89; выч. 40,55. Найдено, %: C—38,95; H—5,00; Cl—38,10;  $C_6H_8O_2Cl_2$ . Вычислено, %: C—39,38; H—4,84; Cl—38,8.

По описанной методике получены и другие представители эпоксидных соединений, константы которых помещены в таблице.

**$\alpha$ -(1,1-дихлораллиловый эфир) глицерина.** 12,81 г (0,07 моля) окиси (III) и 50 мл 1%-ного раствора серной кислоты в запаянной ампуле нагревались 4 часа в кипящей водяной бане при частом взбалтывании. Нижний слой красно-бурового цвета экстрагировали эфиром и сушили поташом. После отгонки эфира и перегонки в вакууме получено 7,1 г (50,4%) гликоля—вязкая прозрачная жидкость без запаха, т. кип. 120—122° (1 мм);  $n_D^{20}$ —1,5030;  $d_4^{20}$ —1,3517;  $M_{R_D}$ —43,95; выч. 43,96. Найдено, %: C—35,31; H—5,41; Cl—34,91.  $C_6H_{10}O_3Cl_2$ . Вычислено, %: C—35,82; H—5,01; Cl—35,30.

Аналогичным образом получены и  $\alpha$ -(1,1-2-трихлораллиловый эфир) глицерина, константы которых помещены в таблице.

### Выводы

1. Изучена реакция конденсации эпихлоргидрина с 1, 1, 1, 2-тетрахлорпропанолом-3, 1, 1, 2-трихлораллиловым и 1, 1-дихлораллиловыми спиртами.

2. Получены и охарактеризованы соответствующие хлоргидрины и перхлораллилглицидные эфиры соответствующих спиртов, не описанные в литературе.

3. Проведен гидролиз перхлораллилглицидных эфиров в присутствии серной кислоты с превращением их в соответствующие перхлораллиловые эфиры глицерина.

### ЛИТЕРАТУРА

- Малиновский М. С. Окиси олефинов и их производные. М., 1961, стр. 152.
- Пат. США 2314039. З. Пат. США 2450234, 1948. 4. Пат. США 2448258, 1948.
- Prins H. Rec Trav. chim. 72, 867, 1953. 6. Bresadola S. Canal P., Barberis G. Chimica e Industria\*. 1963, 45, № 7, 837—840. РЖХим., 5Ж73, 1964.

Институт

М. Мамедов, М. М. Исаев, Н. И. Мамедов

Перхлораллилглицид ефирләrinин алымасы

### ХУЛАСӘ

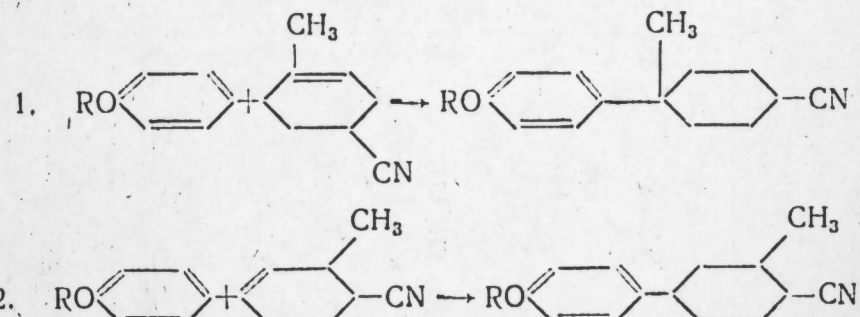
Мәгалә 1,1-дихлораллил, 1,1,2-трихлораллил вә 1,1, 1,2-тетрахлорпропил спиртләrinин епихлорһидринлә конденсләшмәсинә нәср олунмушdur. Алымыш хлорһидринләрдән гәләвинин ефирдә мәhlулу илә нидрокенхлорид харич едилдикдә јүксәк чыхымла мұвағиг перхлораллилглицид ефирләri әмәлә кәлир.

Гәjd етмәк лазымдыр ки, 1,1, 1,2-тетрахлорпропанол илә епихлорһидринин гарышлыгы тә'сириндән алымыш хлорһидриндән нидрокенхлорид харич олундугда мұвағиг епоксиөфир јох, 1, 1,2-трихлораллилглицид ефир алышы.

С. Д. МЕХТИЕВ, М. Р. МУСАЕВ, Е. Б. САХНОВСКАЯ

### СИНТЕЗ АЛКИЛЦИАНЦИЛОГЕКСИЛФЕНОЛОВ И ИХ ЭФИРОВ

Настоящая работа посвящена синтезу нового класса соединений—алкилцианцилогексилфенолов и их эфиров по схеме:



(где R=H,  $-CH_3$ — или  $C_2H_5$ —).

### ЭКСПЕРИМЕНТАЛЬНАЯ ЧАСТЬ

В качестве исходных соединений были взяты: фенол, о-, м-, п-крезолы, анизол и фенетол, с одной стороны, и аддукты изопрена и пиперилена с акрилонитрилом—с другой. Как было установлено нами методом газожидкостного хроматографического анализа, аддукт изопрена с акрилонитрилом на 90—95% представляет собой 1-метил-4-цианцилогексен-1 и на 10—5%—2-метил-4-цианцилогексен-1. Аддукт пиперилена с акрилонитрилом на 55—60% представляет собой 3-метил-4-цианцилогексен-1 и на 35—40%—6-метил-4-цианцилогексен-1.

Конденсация проводилась в присутствии безводного хлористого алюминия при температуре 55—65°С. Соотношение фенола или его эфира: аддукт:  $AlCl_3 = 5 : 1 : 1$ . Физико-химические константы и выхода полученных соединений приводятся в табл. 1 и 2.

### Выводы

1. Осуществлена реакция Фриделя—Крафтса между фенолом, анизолом, о-, м-, п-крезолами и фенетолом, с одной стороны, и алкилцилогексенилцианидами—с другой.

Таблица 1

## Конденсация окснароматических соединений и их эфиров с аддуктом изопрена и акрилонитрила

Исходные соединения	Количество взятого вещества, г			Получено конденсата			Химическая формула	Температура кипения, °C	MIRD	Мол. вес	Количество азота, вес %	
	окси-аром.	аддукт	AlCl <sub>3</sub>	2	%	найд.	выч.	найд.	выч.	найд.	выч.	
Фенол	94	24	26,7	15	35	OH<img alt="Chemical structure of the product from phenol and acrylonitrile adduct" data-bbox="275 350 475 550"/>	225/20 360	1,1147 1,5126	58,2	58,24	210	6,0
o-крезол	135	30	33,5	24	42,1	OH<img alt="Chemical structure of the product from o-cresol and acrylonitrile adduct" data-bbox="275 560 475 760"/>	200/20 330	1,1987 1,5520	60,0	59,77	230	5,9
m-крезол	135	30	33,5	20	36,8	OH<img alt="Chemical structure of the product from m-cresol and acrylonitrile adduct" data-bbox="275 770 475 970"/>	240/50 340	1,0276 1,5248	58,9	59,77	231	5,8
p-крезол	135	30	33,5	4,0	7,0	CH <sub>3</sub> O<img alt="Chemical structure of the product from p-cresol and acrylonitrile adduct" data-bbox="275 980 475 1180"/>	245/50 338	1,1966 1,5500	59,0	59,77	232	5,5
Анизол	135	30	33,5	20	35,7	CH <sub>3</sub> O<img alt="Chemical structure of the product from anisole and acrylonitrile adduct" data-bbox="275 1190 475 1390"/>	238/10 390	1,0130 1,5390	60,0	60,338	226	6,4
Фенетол	152	30	33,5	26	43,1	C <sub>2</sub> H <sub>5</sub> O<img alt="Chemical structure of the product from phenetole and acrylonitrile adduct" data-bbox="275 1400 475 1600"/>	201/5 380	1,0019 1,5362	73,6	72,7	240	5,6
												5,8

511-3

## Конденсация окснароматических соединений и их эфиров с аддуктом пиперилена и акрилонитрила

Исходные соединения	Количество взятого вещества, г			Получено конденсата			Химическая формула	Температура кипения, °C	MIRD	Мол. вес	Кол-во азо-вес.	
	окси-аром.	аддукт	AlCl <sub>3</sub>	2,	%	найд.	выч.	найд.	выч.	найд.	выч.	
Фенол	83	22	19	4,5	12	HO<img alt="Chemical structure of the product from phenol and acrylonitrile adduct" data-bbox="540 350 740 550"/>	275/20 410	1,1134 1,5326	58,2	58,2	209	6,0
o-крезол	135	30	33,5	17	25,4	OH<img alt="Chemical structure of the product from o-cresol and acrylonitrile adduct" data-bbox="540 560 740 760"/>	270/30 380	1,2666 1,5548	59,1	59,77	229	231
m-крезол	135	30	33,5	10	16	CH <sub>3</sub> <img alt="Chemical structure of the product from m-cresol and acrylonitrile adduct" data-bbox="540 770 740 970"/>	240/40 340	1,1647 1,5230	59,5	59,77	232	231
p-крезол	135	30	33,5	4	6,3	CH <sub>3</sub> O<img alt="Chemical structure of the product from p-cresol and acrylonitrile adduct" data-bbox="540 980 740 1180"/>	185/10 310	1,1666 1,5480	59,4	59,77	235	231
Анизол	135	24	33,5	7	13,7	C <sub>2</sub> H <sub>5</sub> O<img alt="Chemical structure of the product from anisole and acrylonitrile adduct" data-bbox="540 1190 740 1390"/>	185/5 350	1,1336 1,5260	60,6	60,338	227	229
Фенетол	140	18	33,5	3	10	C <sub>2</sub> H <sub>5</sub> O<img alt="Chemical structure of the product from phenetole and acrylonitrile adduct" data-bbox="540 1400 740 1600"/>	170/4 350	1,9952 1,5210	72,7	72,7	240	243
												5,8

2. Впервые синтезированы и охарактеризованы физико-химическими константами 12 новых соединений—алкилцианциклогексилзамещенных фенолов, крезолов, фенетолов.

ИНХП

Поступило 18. XI 1968

С. Ч. Медиев, М. Р. Мусаев, І. Б. Сахновская

Алкилцианциклогексилфенолларының  
онларының ефириләrinин синтези.

ХУЛАСЭ

Мәгаләдә јени синиф бирләшмәләр олар алкилцианциклогексилфеноллар вә онларының ефириләrinин синтезинә һәср олумышдур. Реакция 55—60°C температурда апарылыштыр. Фенол вә ja онун ефири: тикилгесенилсанид:  $\text{AlCl}_3 = 5 : 1 : 1,1$ -дир. Реакция нәтичәсендә 12 јени бирләшмә синтез едилмишdir.

АЗӘРБАЙЧАН ССР ЕЛМЛӘР АКАДЕМИЯСЫНЫН МӘ'РҮЗӘЛӘРИ  
ДОКЛАДЫ АКАДЕМИИ НАУК АЗЕРБАЙДЖАНСКОЙ ССР

ТОМ XXV

№ 9

1969

ГИДРОГЕОЛОГИЯ

Р. А. ГАДЖИЕВ

ОПОЛЗНИ НА СКЛОНАХ БАКИНСКОГО АМФИТЕАТРА  
И УСЛОВИЯ СТРОИТЕЛЬСТВА

(Представлено академиком АН Азербайджанской ССР Ш. Ф. Мехтиевым)

На территории Бакинского амфитеатра значительное развитие получили оползневые процессы. Так, с оползнями Байловского склона жителям приходилось иметь дело неоднократно. Во всех случаях здесь наблюдается тесная связь между гидрогеологическими условиями и характером оползневых явлений. Об этом свидетельствуют остатки дренажных сооружений, построенных еще в дореволюционное время.

Бывшее Геологическое Бюро Ачефти в 1929 г. в целях исследования причин Байловских оползневых подвижек проводило буровую разведку. Крелиусным способом было пробурено 5 скважин на участке от 2-й Байловской улицы до побережья Каспия.

Высота вала выпирания на Краснофлотской улице достигла 4,5—5 м. Инструментальными ежедневными измерениями, производившимися в течение 3 месяцев, было установлено непрерывное колебательное изменение высоты этого вала. Вследствие этого пришлось для восстановления транспорта по Краснофлотской улице снять этот земляной вал до основания. При этом вдоль подошвы Байловского оползневого массива проявились обильные водные источники, впоследствии каптированные колодцем большого сечения со свободным стоком воды из него по канаве в море.

В 1933—1936 гг. оползневые процессы на участке б. электростанции на Байлове возникали неоднократно. В 1938 г. они деформировали мост через Байловский овраг на 2-й Байловской улице, разрушили здание фабрики "Индюшина обувь" и захватили часть территории Бакинского зоопарка. Исследования этих оползней привели к бурению небольшого количества мелких скважин, рыхление неглубоких шурпов и лабораторным определениям грунтовой характеристики по отобранным образцам.

Если учесть, что некоторые оползни Гагасского склона принадлежат к древним и что динамические процессы их зависят на значительной глубине, станет ясным, что оползней работ при этих исследованиях было совсем недостаточно. Среди работ этого

периода следует отметить "Отчет об инженерно-геологических исследованиях оползневых явлений на участке Байлловского моста", составленный Л. В. Лалиашвили, с экспертным заключением по нему Н. М. Победоносцева.

Краткое описание оползневых участков Бакинского амфитеатра приводится в труде К. А. Биячуева "Инженерно-геологическая характеристика территории г. Баку", где подчеркивается решающая роль изменения режима грунтовых вод амфитеатра. Последние изучаются Апшеронской гидрогеологической станцией. Данные наблюдений этой станции были использованы Азгеолупралением в 1952—1953 гг., оползни Бакинского амфитеатра подверглись более детальному изучению. Эти работы до некоторой степени выявили грунтовые гидрогеологические условия и связанный с ними механизм оползневых процессов. Но разведка напорных водоносных горизонтов не была сделана. И тем не менее работы Азгеолупраления были утверждены Лабораторией гидрогеологических проблем Академии наук СССР.

В отчете Бакинской оползневой партии Азгеолупраления (1952 г.) отмечается: "сопоставление данных наблюдений за уровнем грунтовых вод за последние годы с материалами обследования — колодцев, проводившихся Бакводхозом в 30-х годах, показывает, что уровень грунтовых вод имеет в многолетнем разрезе тенденцию к повышению. В результате повышения уровня грунтовых вод за последние годы на территории Баку подвалные помещения многих зданий, расположенных в пониженной части города, оказались затопленными водой". А между тем в г. Баку работало уже 250 центробежных насосов, откачивавших воду из подвалов некоторых зданий.

Еще до начала нынешнего столетия основным источником водоснабжения г. Баку были колодцы. В 1917 г. был сдан в эксплуатацию 1-й Бакинский (Шолларский) водопровод. В связи с этим отбор воды из большинства колодцев в г. Баку был прекращен. В результате уровень грунтовых вод стал подниматься в пониженной части города, и в подвалы многих зданий в большем или меньшем количестве стала просачиваться грунтовая вода. Стала развиваться сырость в квартирах и затапливаться подвалы, что сопровождалось образованием в стенах зданий трещин и некоторых других деформаций.

Уровень грунтовых вод на некоторых участках Бакинского амфитеатра повышается, частично от поступления в грунтовый поток сбросных нефтепромысловых и заводских вод, частично от разного рода утечек из водопроводной сети, канализационных труб и т. п.

Инженерно-геологической съемкой в 1966 г. на Байлловском массиве нами были обнаружены многочисленные последующие оползневые нарушения: 1) при входе в Зоопарк на Байллове у его кассы образовалась глубокая трещина в несколько сантиметров шириной и больше 1 м глубиной; 2) ниже входа в Зоопарк сорванная древним оползнем с верхнего карниза глыба известняка заметно сместилась, так что удерживавшее ее дерево согнулось до горизонтального положения; 3) между зданием Дирекции Зоопарка и его оградой появилась расселина шириной 10 см; одна из секций ограды отделяется от здания такой же расселиной; 4) на 6—7 м выше здания Байлловского пожарного депо появился новый оползневой цирк с почти отвесными склонами высотой 6 м; 5) у поворота стены Зоопарка все ее секции наклонились в сторону оползня; 6) лестница, ведущая от остановки автобуса к Зоопарку, местами повреждена оползневыми подвижками, хотя она недолго до того была заново перестроена; 7) на правом склоне Байлловского оврага в стене, ограждающей одноэтажное здание (близ поворотного круга для автомашин), появились зияющие трещины

шириною 20—30 см. Раньше, при обследовании их Бакинской оползневой партией в 1952 г., они были значительно меньше; 9) со стороны асфальтиного поворотного круга трещины не обнаружены, но здесь на 20—30 см опустилась ограждающая стенка. Подобные деформации заметны и в траверзе бывшего моста по 2-й Байлловской улице через Байлловскую балку.

Исходя из сделанных нами наблюдений, приходим к выводу, что оползневые подвижки Байлловского склона продолжаются до сего времени. Работами Бакинской оползневой партии Азгеолупраления изученная территория Байлловского склона не охватывает всю площадь распространения оползней. Например, не были исследованы активные оползни, которые стали наблюдаваться в последующие годы на мысе "Байлловская Шишка", само происхождение которой было обязано древним оползням. Кроме того, в южной части Байлловского района очерчивается целая дуга оползней, также не охваченная исследованиями 1952 г. Но этим еще далеко не исчерпывается развитие оползней в границах Бакинского имфитеатра.

Система древних оползневых цирков располагается вдоль Бакинского склона, захватывая плато у парка им. С. М. Кирова. Но древние оползни известны и на Зыхе. О них упоминает еще Д. В. Голубятников [2], считавший, что древние оползни в хазарское и раннехвальинское время охватывали полуокольцом всю Бакинскую бухту. Однако последующие трансгрессии позднехвальинского (а возможно, и новокаспийского) времени сгладили характерные их очертания.

Гидрогеологическое строение Байлловского склона характеризуется наличием не только грунтовых, но и более глубоких, напорных водоносных горизонтов. 1-й напорный горизонт подземных вод здесь заключается в песчаных прослоях среди глин среднего отдела апшеронского яруса. В основании Байлловского склона он находится на глубине всего около 16 м. В этой части у подошвы склона горизонт этот имеет пьезометрический уровень 7 м над поверхностью земли. 2-й напорный горизонт подземных вод, по данным Бакметропроекта, залегает на глубине 60—64 м.

Начало современных подвижек вдоль магистрального шоссе относится к 1943 г. когда, вследствие повреждения водопроводной линии, проходившей выше, параллельно магистральному шоссе, участок последнего и часть нижележащей оползневой террасы были смещены, причем проезжая часть шоссе оказалась опустившейся на 1,5 м (рис. 1).

Оползневые подвижки были отмечены в 1948 г. и на территории Кислородно-карбидного завода в Белом городе. Причиной подвижек была подрезка склона при строительстве дороги, выше которой и произошли заметные смещения оползневого характера.

Выполненная нами в 1965 г. инженерно-геологическая съемка оползня на участке Зыхского шоссе показала значительные изменения, произошедшие на этом участке за 15 лет после исследований Азгеолупраления. Амплитуды оползневых срывов возросли в 2 раза, а амплитуды восточных его ветвей — даже до 10 раз. На верхних ветвях оползня появились новые срывы высотой до 1,5 м. Оказалась деформированной и лестница, ведущая к заводу железобетонных конструкций, построенная после 1952 г.

Весьма существенным доказательством активизации Зыхского оползня является разрушение 12 секций каменной стены, ограждающей территорию завода железобетонных конструкций, которую в 1960 г. пришлось перестроить вследствие разломов, произошедших от оползневых подвижек.

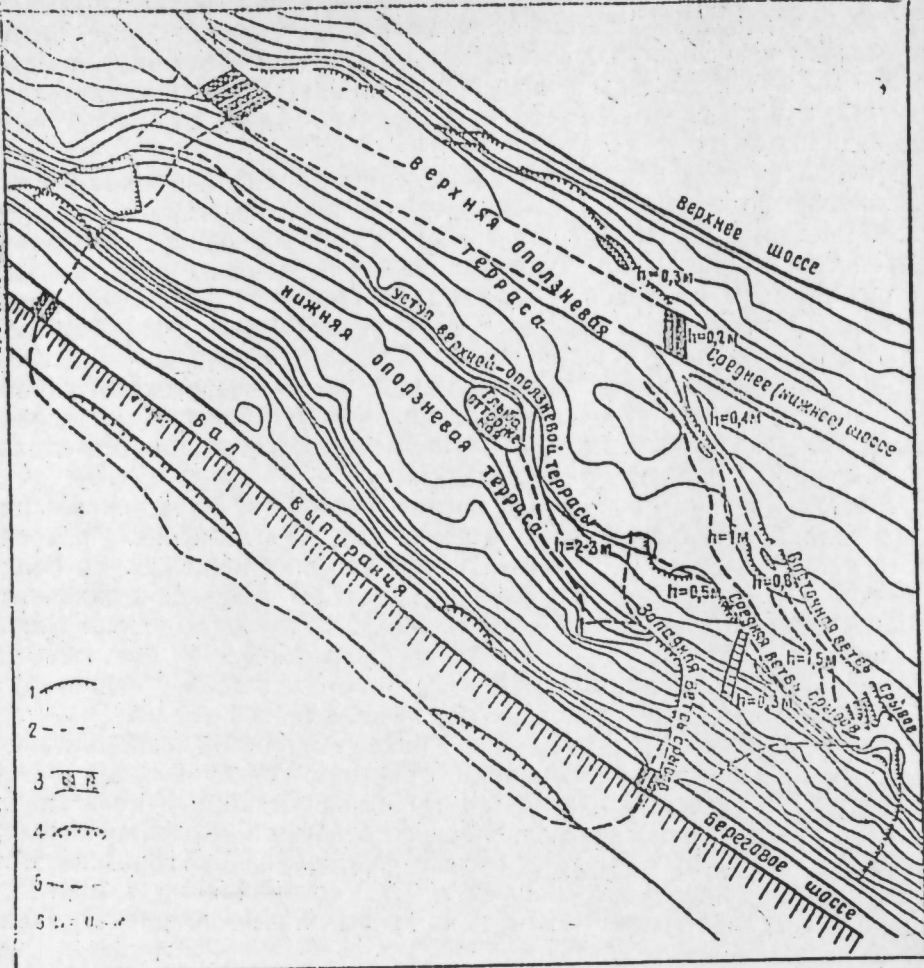


Рис. 1. Морфологическая схема Зыхского оползня:

1—оползневые срывы; 2—контуры оползневых цирков; 3—участки шоссе, разрушенные оползнями; 4—наиболее деформированные части стены Завода железобетонных изделий (1966 г.); 5—оползневый срыв 1966 г.; 6—амплитуда срыва.

В границах Зыхского участка выработками Бакинской оползневой станции Азгеолупрления исследован только один безнапорный горизонт грунтовых вод. Глубина залегания зеркала его вод колеблется в зависимости от рельефа от 6 до 10 м; направление грунтового потока — к морю. Однако имеются все основания предполагать, что, кроме грунтовых вод, Зыхский участок имеет также и подстилающие их напорные водоносные горизонты. К этому выводу мы приходим, исходя из дегрузивного характера оползня. Последний ясно выразился в подвижках его грунтовых масс в основании склонов в направлении снизу вверх с запрокидыванием передних участков склона. Действием напорных вод снизу объясняется многократность и разновременность оползневых срывов, образовавших целую систему уступов и трещин, покрывающих поверхность оползневых террас.

Строительство на оползневых участках, как следует из сделанного обзора, связано с необходимостью предварительной глубокой буровой гидрогеологической разведки и последующего заложения достаточно глубоких горизонтальных и вертикальных дрен, а также и до-

полнительного предохранения зданий и сооружений от подвижек локальных грунтовых масс путем строительства разного рода подпорных стен, контрфорсов и других укрепительных сооружений. При этом следует учитывать имеющиеся сейсмические расчеты относительно повышенной балльности (до IX баллов) землетрясений на оползневых участках. Поэтому оползневые склоны амфитеатра в настоящее время без дренажа считаются непригодными для строительства, как это показано на карте сейсмического микрорайонирования г. Баку, составленной Институтом геологии им. И. М. Губкина АН Азербайджанской ССР.

## ЛИТЕРАТУРА

- Гаджиев Р. А. Еще о древних оползнях Бакинского амфитеатра. АН Азерб. ССР, т. XXII, № 5, 1966.
- Голубятников Д. В. Детальная геологическая съемка Апшеронского полуострова. Планшет г. Аташка. Изд. Геолкомитета. Pg., 1914.
- Попов А. П., Коновалов И. М. Отчет Бакинской оползневой партии за 1950—1952 гг. Фонды Азгеолупрления, 1952.

Институт геологии

Поступило 12. X 1968

Р. А. Һачијев

Бакы амфитеатрының јамачындакы сүрүшмәләр вә инишат шәранти һагында

## ХҮЛАСӘ

Мәгаләдә Бакы амфитеатрында сүрүшмәләр вә оиларын һәчми һагында юни мә'лумат верилмишdir (буналары мүэллиф өзү мүшәнидә етмишdir). Бу мә'луматлар һазырда да Бајыл вә Зығда сүрүшмәләрин олдуғуну сүбүт едиr. Тәдгигат заманы Бајылда чох дәриндә олмајан јүксәк тәэзілгли суларын варлығына фикир верилмишdir. Газыма иәтичәсендә јүксәк тәэзілгли су јерин үстүндә 7 м-ә гәдәр јүксәлмиш вә буныла һидродинамик тәэзілгии олмасы сүбүт едилмишdir.

Беләликлә, сүрүшмә саһәснин башланғычында ө дәрин дренаж едилмәси мәсләhәтдир.

СТРАТИГРАФИЯ

Т. АБ. ГАСАНОВ, Р. Г. БАБАЕВ

К ВОПРОСУ О ВОЗРАСТЕ ИЗВЕСТНИКОВ В РАЙОНЕ СЕЛ.  
ШИШКАЯ (АРМЯНСКАЯ ССР)

(Представлено академиком АН Азербайджанской ССР М. А. Кашкаевым)

Карбонатные отложения в районе сел. Шишкая (Армянская ССР) имеют широкое площадное распространение. Возраст этих карбонатных отложений К. Н. Паффенгольцем (1948, 1959) по региональным соображениям принимался как турон-коньяк, А. Т. Асланяном (1948) — как сенон, а Г. М. Акопяном и С. В. Мартиросяном (1961), А. А. Атабекяном (1957), С. Б. Абовяном (1956) и другими исследователями — как кампан-маастрихт. Самая верхняя часть этих известняков В. П. Ренгартеном (1959) также принималась за кампан-маастрихт. Подтверждением служит нахождение этими исследователями в разные годы в 25—30 км северо-западнее сел. Шишкая в районе сел. Джил и Бабаджан (Армянская ССР) следующих кампан-маастрихтских видов: *Inoceramus lingua* Goldf., *In.* aff. *balticus* J. Boehm, *Echinocorys cf. ovatus* Leske (опр. А. А. Атабекяна).

Кроме того, имеются данные, что К. Н. Паффенгольцем (1938) в 1940 г. в районе сел. Садана-Хачик к востоку от сел. Арданыш в верхней части известняков была встречена фауна плохой сохранности, из которой Д. В. Дробышевым определен *Echinocorys* ex gr. *ovatus* Leske, указывающий на наличие маастрихта.

Таким образом, все приведенные данные явились основанием для вышеуказанных исследователей, чтобы определить возраст всех карбонатных отложений, развитых в северо-восточной части оз. Севан, как кампан-маастрихт. Однако выводы указанных исследователей нашими данными не подтверждаются. Основанием для этого служит тот факт, что вся перечисленная вышеуказанными исследователями фауна собрана не около оз. Севан, а среди известняков, находящихся в 4 км к северо-западу от сел. Бабаджан и Джил (рис. 1). Что не является противоречием. Причем верхняя часть именно этих известняков, по новым данным Т. Аб. Гасанова (1965, 1966 гг.), относится к нижнему юоцену и литологически отличается от тех известняков, развитых вблизи северо-восточного побережья оз. Севан.

Однако в период полевых работ (1965—1966 гг.) получены довольно убедительные палеонтолого-стратиграфические данные, которые позволяют считать возраст известняков, развитых в районе сел. Шиш-

кая, коньякским. С этой целью ниже приводится характеристика контакта пород.

Нижний возрастной предел этих отложений отчетливо фиксируется в 3,5 км юго-восточнее г. Сарниар, в 2 км северо-западнее сел. Шишская и в 0,5—2 км юго-западнее и северо-западнее сел. Памбек, где карбонатные отложения с базальными конгломератами (мощностью 10—15 м) в основании перекрывают сеноманские терригенные отложения. Они прослеживаются в северо-восточном направлении на расстоянии около 3 км. Уместно отметить, что обломки конгломератов состоят из серпентинитов, дунитов, баститовых серпентинитов, диоритов, кварц-диоритов, габбро, габбро-норитов, габбро-амфиболитов, известняков и различных порфиритов, сцементированных грубозернистыми песчаниками и гравелитами. Соотношение обломков к цементу равно 3:1. Размер обломков колеблется от 5 до 20 см. Все эти обломки достаточно хорошо окатанные, причем окатанность их снизу вверх увеличивается, а размеры — уменьшаются. В пачке базальных конгломератов среди цементного материала — известковистые гравелиты в 1 км севернее сел. Шишская собрана Т. Аб. Гасановым (1965) коньякская фауна: *Plesioptygmatis caucasica* Реч., *Pl. cf. ripoidea* Реч., *Pl. sp. Trochactaeon* sp. (ex gr. *subburckhardti* Реч.), *Tr. sp. indet.* (опр. О. Б. Алиева). Уместно отметить, что в северной окраине сел. Шишская, в нижней части мощной "известково-мергельной" толщи, среди известковистых туффитов и прослоек известняков ранее В. П. Ренгарденом (1959) также была собрана и определена обильная коньякская фауна: *Actaeonella crassa* Дюж., *Vaccinites praesulcatus* Дюв., *Radiolites* sp., *Neithea* sp., *Biradiolites* cf. *angulosissimus* Тукас, *Radiolites galloprovincialis* Мат., *Trochactaeon ellipticus* Зек., *Plagiptychus* sp.

Довольно большой список коньякских брюхоногих из пород рассматриваемой толщи приводят В. Ф. Пчелинцев (1953): *Desmieria carolina* Стол., *Haustator armenicus* Реч., *H. pseudodifficilis* Реч., *Plesioplocus subincavatus* Реч., *Plesiptygmatis bicincta* (Бронн), *P. turbinata* (Зек.), *P. geissuensis* Реч., *P. subnobilis* Реч., *Actaeon subovum* Реч., *Actaeonella crassa* (Дюж.), *Trochactaeon ellipticus* (Зек.).

Как видно из приведенных данных, нижняя часть "известково-мергельной" толщи в районе сел. Шишская содержит многочисленные коньякские формы и литологически не отличается от "кампан-маастрихтских" карбонатных отложений, развитых в северо-восточной части оз. Севан. На этом основании некоторые исследователи (С. Б. Абовян, 1954, 1964 и др.) местами верхнюю часть "известково-мергельной" толщи относят к верхнему сантону (?).

Следует отметить, что имеющиеся базальные конгломераты в основании отложений коньякского яруса вверх по разрезу постепенно переходят в песчанистые известняки, а последние далее — в среднеслонистые

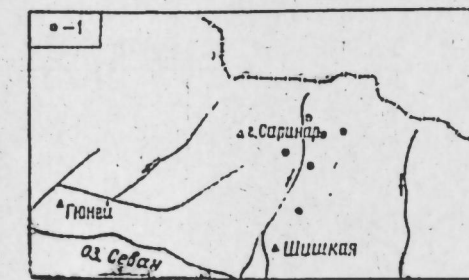


Рис. 1. Схема расположения изученных разрезов и пунктов коньяка (1) в районе сел. Шишская (Арм. ССР).

известняки. Среди последних встречается мощная пачка (30—35 м) известковистых туффитов и алевролитов. Эта пачка имеет значительное развитие в верховых ручейка, находящегося в 1,2 км восточнее г. Сарниар (4 км северо-западнее сел. Гюней), где нами собраны обильные одиночные, реже колониальные кораллы<sup>1</sup>: *Placosmilia consobrina* Reuss, *Flabellosmilia* cf. *supcarinata* (Reuss), *Smilotrochus besairiei* All., *Aulosmilia ex gr. archiaci* (From.), *Rennensis milia* ex gr. *didyma* (Goldf.), *Cinnolites enigma* (All.), *C. depressa* (Reuss), *C. undulata* (Blainv.), *C. corbariensis* (Mich.), *C. elliptica* (Lam.), *C. jamaicensis* (Wells), *Favia* sp. и обломкиrudистов, в комплексе характеризующие коньякский возраст вмещающих пород. Важен тот факт, что пачка, содержащая кораллы, литологически отличаясь от всех известных фаунасодержащих пачек, находится в средней части разреза, т. е. на 130 м выше от подошвы. А что касается верхней возрастной границы коньякских карбонатных отложений, то она приведена в основном в тектонический контакт с сantonскими вулканогенно-осадочными образованиями (рис. 2) и прослеживается начиная в 2,5 км юго-западнее ур. Чарчигабри до 1,5 км западнее г. Сарниар. Далее данное разрывное нарушение, меняя свое направление к северо-западу, проходит по середине известняковой толщи коньяка, в связи с чем последняя в 2 км севернее сел. Гюней (Армянская ССР) несогласно перекрывается сantonскими гравелитами и мелкообломочными туффоконгломератами и прослеживается в северо-западном направлении на расстоянии около 3 км.

Наибольшая мощность карбонатных отложений коньяка в районе г. Сарниар составляет 760 м, уменьшаясь с северо-запада на юго-восток. Правда, такая литофация не очень характерна для коньяка. Однако в последнее время в связи с детальным изучением литофации верхнего мела было установлено, что на Малом Кавказе имеются многочисленные пункты, где коньяк литологически представлен карбонатными образованиями. Доводами для этого могут служить данные А. А. Байрамова (1962), Э. Ш. Шихалибейли (1964) и др., которыми выявлены аналогичные фации коньяка в пределах Мартунинского синклиниория, О. Б. Алиева (1967) — в Зурнабадском районе и Т. Насибова (1964) в Веди-Ордубадской зоне.

Таким образом, все приведенные выше палеонтолого-стратиграфические данные свидетельствуют о коньякском возрасте карбонатных отложений, развитых в районе сел. Шишская.

#### ЛИТЕРАТУРА

1. Абовян С. Б. К стратиграфии эоценовых отложений северо-восточного побережья оз. Севан. ДАН Арм. ССР, т. ХХIII, № 1, 1956.
2. Алиев О. Б. Стратиграфия верхнемеловых отложений СВ части М. Кавказа. Изд. АН Азерб. ССР, 1967.
3. Асланий А. Т. Региональная геология Армении. Ашетрат, 1958.
4. Байрамов

<sup>1</sup> Определение Р. Г. Бабаева.

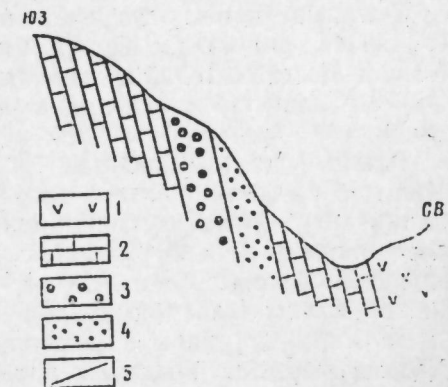


Рис. 2. Схематический профиль взаимоотношения сantonских отложений с коньякскими образованиями в 1—1,5 км СВ г. Сарниар.  
Сантон: 1 — порфириты различные; коньяк: 2 — известняки, 3 — гравелиты, 4 — песчаники, 5 — вбросы.

А. А. Геологическое строение Нагорно-Карабахской автономной области и ее положение в системе Малого Кавказа. Автореф. канд. дисс. Баку, 1966. 5. Егоян В. Л. Мел Армянской ССР. Геология Арм. ССР, т. II. Изд. АН Арм. ССР, 1964. 6. Паффенгольц К. Н. Геология Армении. Госгеолтехиздат, 1948. 7. Паффенгольц К. Н. Геологический очерк Кавказа. Изд. АН Арм. ССР, 1959. 8. Пчелинцев В. Ф. Фауна брюхоногих верхнемеловых отложений Закавказья и Средней Азии. Геол. музей им. А. П. Карпинского, АН СССР, сер. монограф., № 1, 1953. 9. Ренгарте В. П. Стратиграфия меловых отложений М. Кавказа. Регион, стратиграфия СССР, т. VI, Изд. АН СССР, 1959. 10. Шихалибейли Э. Ш. Геологическое строение и история тектонического развития восточной части М. Кавказа, т. I. Изд. АН Азерб. ССР, Баку, 1964.

Институт геологии

Поступило 28. II 1968

ПОЛЕОНТОЛОГИЯ

Т. А. Һәсәнов; Р. Г. Бабаев

Шишигаја кәнді әтрафындағы әһәнкдашыларын  
јашы мәсәләсінә даир

ХУЛАСӘ

Шишигаја кәнді әтрафындағы (Ермәнистан ССР) әһәнкдашылары К. Н. Паффенгольс (1948) Тури-Конјак, соңракы тәдгигатчылар исә-Кампан-Маастрихт јашлы несаб едирди. Соң вахтлар (1964—1965-чи илләр) мүәллифләр тәрәфиндән һәмни әһәнкдашылар дәғиг өјрәнилмишdir.

Тәдгигатлар нәтижәсіндә Саринар дағынын 1,2 км шәргинде вә Шишигаја кәндінин шимал, шимал-шәрг һиссәсіндәки қеоложи кәсилишин алт вә орта һиссәләрindән, гумлу әһәнкдашыларын ичәрисиннән зәңкин Конјак фаунасы ығылмышдыр. Гумлу әһәнкдашылары бир тәрәфдән Сеноман јашлы гумлу-килли шистләр, дикәр тәрәфдән исә Сантон вулканокен чөкүнтуләри илә гејри-үйғун өртүлмүшдүр.

Беләликлә, јухарыда көстәрдијимиз дәлилләрә әсасән, Шишигаја кәнді әтрафында йајылмыш әһәнкдашылар Конјак јашлы несаб едилмәлидир.

АЗЭРБАЙЧАН ССР ЕЛМЛӘР АКАДЕМИЈАСЫНЫН МӘРҮЗӘЛӘРИ  
ДОКЛАДЫ АКАДЕМИИ НАУК АЗЕРБАЙДЖАНСКОЙ ССР

ТОМ XXV

№ 9

1969

А. А. АЛИ-ЗАДЕ, Дж. А. АЛЕСКЕРОВ

НОВЫЕ ВИДЫ АПШЕРОНСКОЙ ФАУНЫ ИЗ АПШЕРОНСКИХ  
ОТЛОЖЕНИЙ АЗЕРБАЙДЖАНА

Изучением фауны апшеронского яруса Азербайджана занимались Э. Эйхвальд, Г. Шёгрен, Н. И. Андрусов, В. В. Богачев, Л. Ш. Да-виташвили, К. А. Ализаде, К. М. Султанов и некоторые другие, давшие описание апшеронских моллюсков и их систематику.

Монографическое описание апшеронской фауны дано Н. И. Андрусовым, В. П. Колесниковым и др., работы которых и до сих пор являются настольной книгой для всех исследователей апшеронского яруса.

После классических исследований Н. И. Андрусова по отложениям и фауне апшеронского яруса накоплен значительный фактический материал, дополнивший наши познания о литофации и фауне этого яруса.

В настоящей статье приводятся описания ряда новых видов апшеронской моллюсковой фауны, обнаруженных нами при изучении литофации и нефтегазоносности апшеронских отложений Азербайджана в различных районах их распространения. Эти виды происходят как из нижнего, среднего, так и из верхнего апшерона, что позволяет дополнить фаунистическую характеристику всех 3 подъярусов.

Класс *BIVALVIA*

Отряд *HETERODONTA*

Надсемейство *Cardiidacea*

Семейство *CARDIIDAE LAMARCK*, 1819

Подсемейство *LIMNOCARDIINAE STOLICZKA*, 1871

Род *Monodacna* Eichwald, 1838

*Monodacna simmetrica* A. Ali-Zade et Aleskerov, nov. sp.

Табл. 1, фиг. 1—2.

Голотип. АзНИИ ДН.

Типичное местонахождение. Апшеронский полуостров. Чемберекендский овраг.

Описание. Раковина средних размеров (длина наибольшего экземп-

ляра—21 мм), умеренно выпуклая, почти равносторонняя. Замочный край дугообразно изогнут. Макушка небольшая. Киля нет.

Наружная поверхность раковины покрыта 31 ребром. Ребра плоские, прикилевые несколько шире остальных. Закилевые ребра нитевидные. Луночка и щиток узкие, одинаковой длины.

В правой створке имеется один треугольный массивный кардинальный зуб и один слабый задний боковой. В левой створке наблюдается только один маленький кардинальный зуб. Кардинальные зубы обеих створок расположены в середине замочного края. Сходство и различие: Этот вид имеет наибольшее сходство с *Monodacna minor* Andrus., но отличается от нее хорошо выраженными ребрами по всей поверхности раковины, отсутствием киля, хорошо развитым кардинальным зубом и своей симметричной формой.

Местонахождение и распространение. Встречается в среднеапшеронских отложениях Чемберекендского оврага.

#### Род *Pseudocatillus* Andrušsow, 1903.

*Pseudocatillus gracilis* A. Ali-Zade et Aleskerov, nov. sp.

Табл. 1, фиг. 3.

Голотип. АзНИИ ДН.

Типичное местонахождение. Апшеронский полуостров. Бакинские уши.

Описание. Раковина средних размеров (до 28 мм), умеренно выпуклая, очень сильно неравносторонняя, вытянута к задне-нижнему углу. Замочный край дугообразно изогнут, задняя ветвь его в 2—2,5 раза длиннее передней. Макушка заостренная, выдающаяся, сильно сдвинута вперед.

Наружная поверхность раковины покрыта 23 ребрами. Ребра округло-гребневидные. Луночка узкая, короткая. Щиток узкий, длинный.

Замок левой створки состоит из одного маленького треугольного, снизу слегка раздвоенного кардинального зуба. Мантийная линия с неглубоким синусом. Мускульные отпечатки отчетливые, почти округлые.

Сходство и различие. *Pseudocatillus gracilis* по очертанию раковины имеет некоторое сходство с *Ps. cariniferus* (Andrus.), но отличается от него характером ребер, сильной неравносторонностью раковины, строением замка. У нашего вида передняя часть переднего поля очень крутая, реберные борозды отчетливые, тогда как у *Ps. cariniferus* эти признаки не наблюдаются.

Местонахождение и распространение. Встречается в нижнеапшеронских отложениях разреза Бакинские уши.

*Pseudocatillus monopteris* A. Ali-Zade et Aleskerov, nov. sp.

Табл. 1, фиг. 4—6.

Голотип. АзНИИ ДН.

Типичное местонахождение. Апшеронский полуостров. Бакинские уши.

Описание. Раковины небольшие (длина наибольшего экземпляра—16 мм), сильно неравносторонние, слабо выпуклые. Замочный край почти прямой. Передний и нижний края образуют эллиптическую кривую. Киля нет.

Наружная поверхность покрыта 33 ребрами. Первые 4—5 ребер на переднем поле округло-треугольные, остальные широкие, плоские.

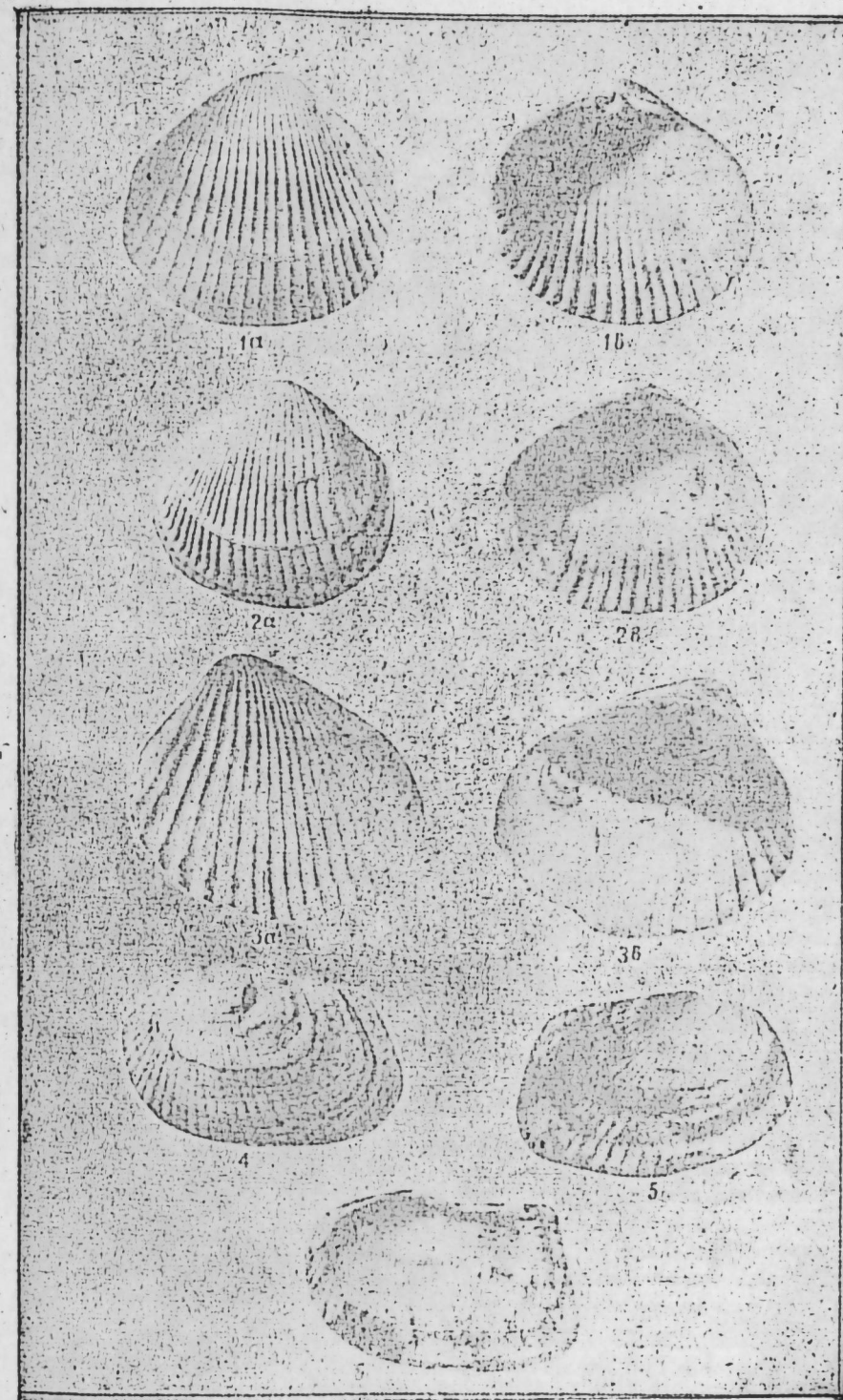


ТАБЛИЦА I

- Фиг. 1—2. *Monodacna simmetrica* A. Ali-Zade et Aleskerov, nov. sp., X1,7. Чемберекендский овраг, средний апшерон.
- Фиг. 3. *Pseudocatillus gracilis* A. Ali-Zade et Aleskerov, nov. sp., X1,6. Бакинские уши, нижний апшерон.
- Фиг. 4—6. *Pseudocatillus monopteris* A. Ali-Zade et Aleskerov, nov. sp., 4 и 5 X 1,6; 6 X 3,0. Бакинские уши, средний апшерон.

Килевые и закилевые ребра треугольные. В правой створке кардинальные зубы не заметны, передний и задний боковые зубы узкие, длинные, валикообразные. Мантийная линия не заметна. Мускульные отпечатки не ясно выражены.

**Сходство и различие.** Этот вид наибольшее сходство имеет с *Ps. dubius* (Andrus.), но своей сильно неравносторонней формой, удлиненностью раковин отличается от последнего. Кардинальные зубы у *Ps. monopteris* не заметны, боковые зубы развиты значительно лучше, чем у *Ps. dubius* (Andrus.). Внутренняя поверхность нашего вида почти гладкая, мантийная линия не заметна, мускульные отпечатки не ясно выражены, тогда как у *Ps. dubius* (Andrus.) реберные борозды глубокие и четкие, мантийная линия с явственным синусом.

**Местонахождение и распространение.** Встречается в среднеапшеронских отложениях Бакинских ушей и Карагоша.

#### Род *Hyrcania* Kolesnikov, 1950.

*Hyrcania schirvanica* A. Ali-Zade et Aleskerov, nov. sp.

Табл. II, фиг. 1—3.

Голотип. АЗНИИ ДН.

Типичное местонахождение. Малый Харами.

**Описание.** Раковина средних размеров (до 28 мм), овально-треугольная, выпуклая, неравносторонняя. Макушка высокая, сильно загнута вперед. Киль резкий. Луночка и щиток узкие.

Наружная поверхность раковины покрыта 17 ребрами. Передние ребра округлые, средние — округло-треугольные. Три закилевых ребра уплощенно-треугольные, а остальные уплощенные, еле заметные.

Замок правой створки состоит из двух небольших кардинальных зубов. В левой створке имеется один кардинальный зуб. Мантийная линия заметна слабо. Мускульные отпечатки округлые, неглубокие. Сходство и различие. Этот вид имеет некоторое сходство с *Hyrcania hyrcana*, но отличается от нее неравносторонностью раковины и наличием резкого киля. Указанные два признака приближают эту форму к *H. m. intermedia*, от которой отличается она большей выпуклостью, характером ребер и наличием высокой макушки, относительно хорошо развитым замочным аппаратом.

**Местонахождение и распространение.** Встречается в верхнеапшеронских отложениях хребта Малый Харами.

#### Семейство DREISSENSIDAE

Род *Dreissensia* van Beneden, 1834.

*Dreissena schirvanica* A. Ali-Zade et Aleskerov, nov. sp.

Табл. II, фиг. 4.

Голотип. АЗНИИ ДН.

Типичное местонахождение. Малый Харами.

**Описание.** Раковина довольно крупная (до 25 мм), широкая, выпуклая, треугольного очертания. Носик заостренный, слегка завернутый. Спинной край прямой, при переходе в нижний образует почти прямой угол. С приближением к вентро-анальному углу задний край округляется и плавно переходит в брюшной край. Брюшной край изогнут, в верхней части несколько вогнут. Киль, довольно резкий в примакушечной части, примерно от середины раковины ослабевает и совершенно сглаживается у вентро-анального угла. Брюшное поле

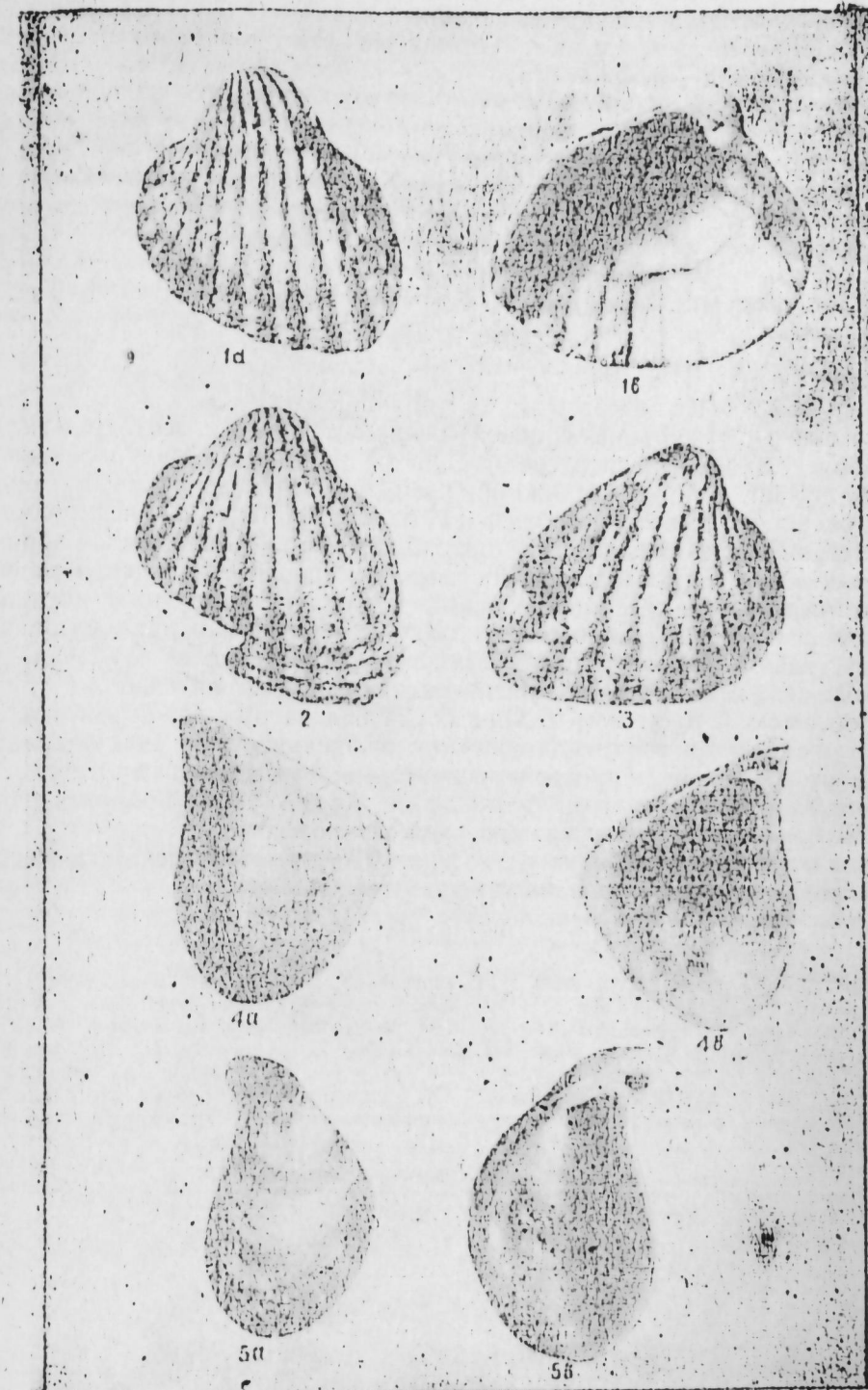


ТАБЛИЦА II  
Фиг. 1—3. *Hyrcania schirvanica* A. Ali-Zade et Aleskerov, nov. sp. × 1,6.  
Малый Харами, верхний аштерон.

Фиг. 4. *Dreissena schirvanica* A. Ali-Zade et Aleskerov, nov. sp. × 2,3. Ма-  
лый Харами, средний аштерон.

Фиг. 5. *Dreissena mischovdagica* A. Ali-Zade et Aleskerov, nov. sp., фиг. 5а × 2,  
фиг. 5в × 2,5. Мишовдаг, верхний аштерон.

узкое и кротое, спинное—широкое, крыловидно расширенное. Лигаментная пластинка длинная. Мантийная линия хорошо выражена. Сходство и различие. Описанный вид наибольшее сходство обнаруживает с *Dreissena rara* A. A-Z., описанный из акчагыльских отложений Туркмении. В отличие от акчагыльского вида наш вид имеет более выпуклые раковины со значительно более развитым килем. Кроме того, у нашего вида спинное поле более крыловидно расширено и спинной край с нижним образует более явственный угол. Местонахождение и распространение. Встречается в среднеапшеронских отложениях хребта Малый Харами.

*Dreissena mischovdagica* A. Ali-Zade et Aleskerov, nov. sp.

Табл. II, фиг. 5.

Голотип. АзНИИ ДН.

Типичное местонахождение. Мишовдаг.

Описание. Раковина средней величины (до 21 мм), выпуклая, наиболее расширенная в средней части раковины. Макушка сильно вывернутая. Спинной и нижний края образуют довольно плавную, выпуклую дугу, которая вблизи вентрально-анального угла плавно соединяется с S-образно изогнутым брюшным краем. Киль довольно хорошо выраженный в примакушечной части быстро сглаживается, в задней части створки он совершенно исчезает. Спинное поле довольно широкое и пологое. Брюшное поле сильно изогнутое и в примакушечной части значительно вогнутое. Лигаментная площадка глубокая, но небольшая, в виде ямки. Мантийная линия выражена слабо.

Сходство и различие. Описанный вид напоминает *Dr. macrocerata* Пороша из верхнеапшеронских отложений Челекена, но отличается от нее более широкими раковинами, менее выдающимися, но значительно вывернутыми макушками. Кроме того, примакушечная часть брюшного поля у нашего вида сильнее вогнута.

Местонахождение и распространение. Встречается в верхнем подъярусе апшерона на Мишовдаге.

#### ЛИТЕРАТУРА

1. Али-Заде А. А. Акчагыл Туркменистана, Т. Л., Госгеолтехиздат, 1961; т. II, "Недра", 1967.
2. Али-Заде К. А. Материалы к изучению *Monodacna* из апшеронских отложений. Изв. АН Азерб. ССР, № 12, 1945.
3. Андрусов Н. И. Избранные труды. т. II. М. Изд. АН СССР, 1963.
4. Богачев В. В. Руководящие окаменелости Апшеронского полуострова и прилегающих районов. Тр. Азерб. ин-та, вып. 4, 1932.
5. Давиташвили Л. Ш. Руководящие ископаемые нефтеносных районов Крымско-Кавказской области. Апшеронский ярус. Гос. науч.-техн. нефт. изд-во, Л.—М., 1933.
6. Колесников В. П. Палеонтология СССР, т. X, ч. III, вып. 12. Л., Изд-во АН СССР, 1950.
7. Попов Г. И. Апшеронский ярус Туркмении. Ашхабад, Изд-во АН ТССР, 1961.
8. Султанов К. М. Апшеронский ярус Азербайджана. Баку, Азернефт, 1964.

АзНИИ по добыче

Поступило 10. I 1969

Ә. Ә. Элизада, Җ. Ә. Әләскәров

Азәрбајҹанын Абшерон чөкүнүләринде  
раст кәлән јени нөвләр

#### ХУЛАСЭ

Азәрбајҹанын Абшерон мәртәбәси фаунасынын ејрәнилмәси илә Е. Еյхвалд, Г. Шегрен, Н. И. Андрусов, В. В. Богачев, Л. Ш. Давиташвили, Г. Ә. Элизадә, Г. М. Султанов вә башгалары мәшгүл олмуш,

Абшерон илбизләриндән бә'зи чинсләри тәсвирини вә тәснифатыны вермишләр.

Н. И. Андрусов вә В. П. Колесниковун Абшерон фаунасына даир эсәрләри индијэ гәдәр өз әһәмијәтини сахлајыр вә бу саһәдә чалышан мутәхәссисләр үчүн истигамэтверичи рол ојнајыр. Н. И. Андрусовун бу кәшфиндән башлајараг назыркы вахта гәдәр Абшерон чөкүнүләри вә фаунасына даир чохлу мә'лumat топланышдыр.

Мәгаләдә Азәрбајҹанын Абшерон чөкүнүләринин литолокијасы вә нефтилик-газлылығы илә мәшгүл оларкән, ejni адлы чөкүнүләрдә раст кәлән бир нечә нөвүн тәсвири верилмишdir. Ыемин нөвләр Абшерон мәртәбәсинин даһа кичик стратиграфик вәнидләрә бөлүнмәсindә мүәллән гәдәр әһәмијәт кәсб едир.

СТРАТИГРАФИЯ

О. Г. МЕЛИКОВ, Р. Н. МАМЕДЗАДЕ, Г. Г. МЕХТИЕВ

**НОВЫЕ ДАННЫЕ ПО СТРАТИГРАФИИ ВЕРХНЕГО МЕЛА  
РАЙОНА МОЛЛАДЖАЛЛИНСКОГО РУДОПРОЯВЛЕНИЯ**

(Представлено академиком АН Азербайджанской ССР К. Ализаде)

Меловые отложения имеют широкое развитие в азербайджанской части Малого Кавказа. Наличие в них разнообразных полезных ископаемых—марганцовисто-железной руды, копала, агата, бентонитовых глин, цементного сырья и др., а также постановка в Азербайджане проблемы мезозойской нефти требуют внимательного изучения этих отложений.

С 1965 по 1966 гг. на Молладжалинском месторождении (Ханларский район, Азербайджанская ССР) в связи с разведкой на марганцовисто-железную руду было пробурено 20 поисковоразведочных скважин до глубины 300 м.

Следует указать, что сведения о геологическом строении указанного района, имеющиеся в работах М. М. Алиева, Ш. А. Азизбекова, О. Б. Алиева и др., даны по результатам изучения естественных обнажений.

Изученный нами керновый материал позволил внести ряд уточнений и дополнений в стратиграфию и литологию сантонских и кампанских отложений данного района. Собранный отсюда достаточно богатый палеонтологический материал дал возможность расчленить отложения сантония и кампана на подъярусы, что проведено для изученного месторождения впервые (рис. 1).

Надо отметить, что произведенное подъярусное деление здесь может служить основой поисковоразведочных работ на полезные ископаемые, так как марганцовисто-железная руда приурочена к верхнему сантону, бентонитовые глины—к верхнему сантону и верхнему кампану, месторождения строительного материала—к сантону и маастрихту.

Следовательно, выделенные нами ниже в сводном разрезе отложения нижнего и верхнего сантония, верхнего кампана и маастрихта представляют значительный интерес для поисков указанных выше полезных ископаемых и в других областях Малого Кавказа.

Сводный разрез верхнемеловых отложений (рис. 2), составленный по данным поисково-разведочных скважин представлен (снизу вверх).

Масштаб 1:2000

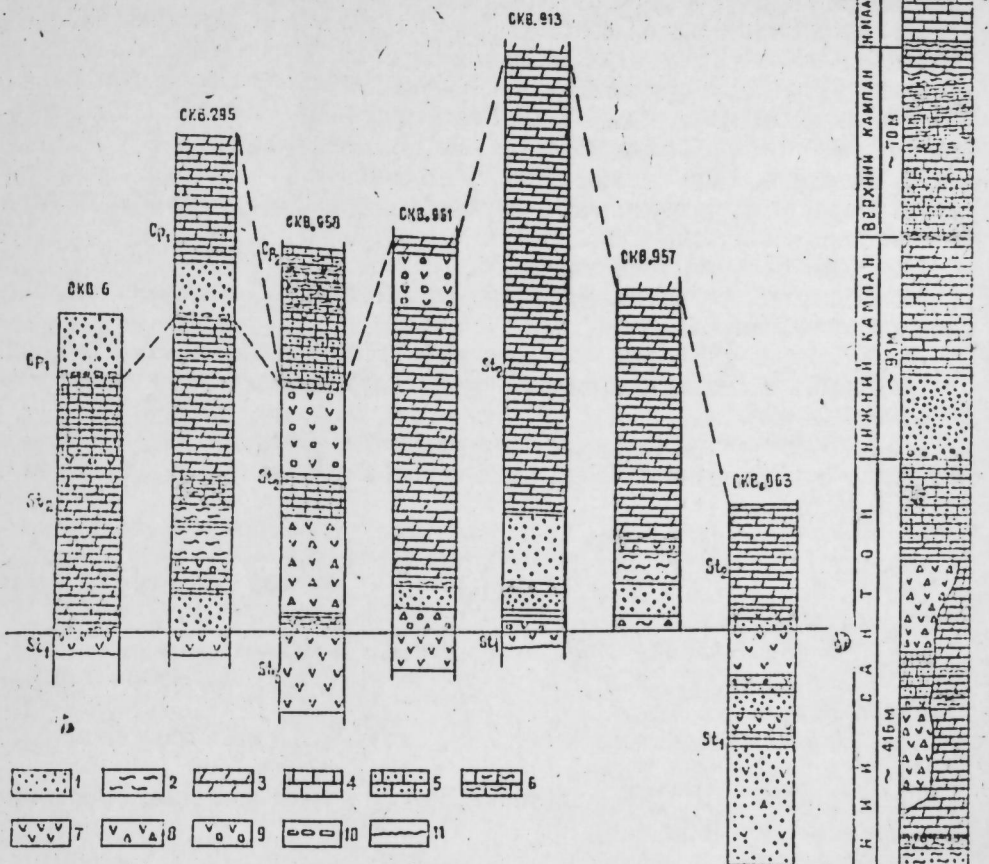


Рис. 1. Сопоставление скважинных разрезов Ханларского района.  
1—песчаники; 2—глины; 3—мергели; 4—известняки; 5—песчанистые известняки; 6—глинистые известняки; 7—порфиры; 8—туфобрекчи; 9—туфо-конгломераты; 10—конгломераты; 11—несогласное залегание.

**Нижний сантон (верхни)**

1. Красновато-серые, грубозернистые песчаники с прослойками мелкообломочных брекчий, обломки которых представлены различными порфиритами. М. 60 м.

2. Плагиоклазовые порфиры серого цвета. М. 1,5 м.

3. Чередование порфириотов, песчаников и мелкообломочных брекчий. М. 9,7 м

4. Мандельштейновые порфиры светло-розового цвета. М. 5,0 м.

5. Порфиры серые, плотные, сильно трещиноватые. В трещинах отмечаются налеты лимонита. М. 18,5 м.

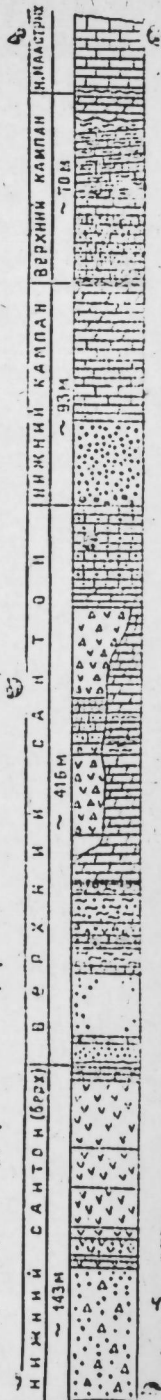
6. Плагиоклазовые и мандельштейновые порфиры, часто хлоритизированные, сильно трещиноватые. М. 47,3 м.

7. Туфобрекчи крупнообломочные, светло-серые, плотные, слабо-каолинизированные. М. 2,6 м.

8. Порфиры светло-серого цвета. М. 3,5 м.

**Верхний сантон**

9. Песчаники тонкозернистые, серые, плотные, местами слабобрекчированные. М. 11,9 м.



10. Песчаники грубозернистые, буровато-серого цвета, плотные с многочисленной фауной *Basilola* sp., *Cretirhynchia* aff. *woodwardi* Dav., *Rhynchonella contorta* Orb., *Cyclothyris claducans* (Сод.), *Pecten septemplicatus* Nills., *Neitheia regularis* Schloth., *N. quinquecostata* Sow., *Exogyra haliotidea* Goldf., *Spondylus spinosus* Sow., *Vaccinites sulcatus* Defr., *Raditolites angeoides* Pic. de Lap., *Phymosoma delannayi* Cott., *Conulus* sp. M. 28,4 м.
11. Мергели, окремиенные, красно-бурые M. 0,5 м.
12. Чередование песчаников грубообломочных, буро-серых и глин известковистых красных. M. 11,6 м.
13. Туфы зеленоватого цвета. M. 1,2 м.
14. Песчанистые глины кирпично-красного цвета, плотные, лимонитизированные. M. 5,3 м.
15. Туфобрекции серые, темно-серые, каолинизированные. M. 6,3 м.
16. Глины песчанистые кирпично-красного цвета, лимонитизированные. M. 16,4 м.
17. Мергели красно-бурые с трещинами, выполнены налетами лимонита и гидроокисью железа, прожилками кальцита и халцедона. M. 26,1 м.
18. Мергели желтовато-белые, плотные, окремиенные, сильно трещиноватые. M. 30,0 м.
19. Бентонитовые глины, светло-желтые, рыхлые, местами с налетами лимонита. M. 5,4 м.
20. Мергели желтовато-белые, плотные. M. 8,9 м.
21. Глины бентонитовые зеленовато-желтые, местами сильно лимонитизированные. M. 4,2 м.
22. Мергели желтовато-белые, плотные, слаботрещиноватые. M. 117,2 м.
23. Туфобрекция, пестроцветная, плотная, трещиноватая, местами, разрушенная. M. 48,0 м.
24. Известняки песчанистые, серовато-белые, плотные, сильно трещиноватые, слаболимонитизированные. В верхней части разреза эти известняки слабобрекчированные. M. 20,0 м.
25. Туфобрекция пестроцветная, состоящая из крупных обломков мандельштейновых порфиритов. Цементом служат известковистые туфиты, светло-серого цвета. M. 40,2 м.
26. Глины бентонитовые, слоистые, пепельно-серые. M. 2,1 м.
27. Мергели белые с налетами лимонита. M. 6,4 м.
28. Известняки тонкозернистые, песчанистые, розовато-бурые. M. 36,7 м.

### Нижний кампан

29. Конгломераты базальные, мелкообломочные. Обломки состоят из окременных мергелей. Цементирующим материалом являются тонкозернистые песчаники, встречаются остатки фауны. M. 3,6 м.
30. Песчаники грубозернистые известковистые красно-бурового цвета с *Carneithyris carneae* Sow., *C. elongata* Sow., *Cretirhynchia minor* Pettit, *Inoceramus decipiens* Zitt., *In. azerbaijanensis* Aliev, *In. tausensis* Aliev, *In. balticus* Boehm, *In. regularis* Orb., *Pachydiscus levyi* Gross., *Micraster schroederi* Stoll., *Conulus matesovi* Moskv., *C. azerbaijanensis* Mel., *Echinocorys* sp., *Ornithaster sokolovi* Moskv., *Pseudoffaster schmidti* Moskv., *Cyclaster* sp. M. 33,3 м.
31. Известняки песчанистые розовато-бурые, плотные, слаботрещиноватые. M. 37,7 м.
32. Мергели желтовато-белые, плотные. M. 18,8 м.

### Верхний кампан

33. Известняки песчанистые серые и светло-серые, плотные, трещиноватые с фауной *Najdinothyris bakalovi* Bonc., *N. sp. nov.*, *Orbirhynchia undulata* Popch., *Micraster coravium* Posl., *Seunaster gilleroni* Lorg., *Coraster cubanicus* Mosk., *C. caucasicus* Mosk., *Pseudoffaster caucasicus* Drui, *Ornithaster alapliensis* Lamb., *Turanglaster nazkii* Sol. et Mel. M. 33,6 м.

34. Глины бентонитовые, желтовато-серые, разрушенные, сильно трещиноватые. M. 36 м.

(Общая мощность указанных отложений верхнего мела 740,0 м).

Отложения верхнего кампана с угловым несогласием перекрываются известняками маастрихта с характерной фауной: *Echinoconus vulgaris* Leske, *Coraster vilanovaae* Cott.

Вышеприведенный разрез общей мощностью 740,4 м составлен в основном по трем участкам восточной части роди. Агбулаг, в ущелье роди. Агбулаг и в северо-западной части сел. Молладжаллы.

### ЛИТЕРАТУРА

1. Азизбеков Ш. А. Геология и петрография северо-восточной части М. Кавказа. Изд. АН Азерб. ССР, Баку, 1947.
2. Алиев М. М. Иноцерамы меловых отложений северо-восточной части Малого Кавказа. Тр. Геол. ин-та АзФАН СССР, т. 12/63, 1939.
3. Алиев О. Б. Новые данные к стратиграфии верхнемеловых отложений района Зурнабад-г. Эльвор (М. Кавказ). Изд. АН Азерб. ССР, сер. геол.-геогр., 1965, № 4.
4. Меликов О. Г., Аскеров Р. Б. К стратиграфическому распространению морских ежей в верхнемеловых отложениях М. Кавказа (Азерб. ССР). ДАН Азерб. ССР, т. XIX, № 12, 1963.
5. Мамедзаде Р. Н. Стратиграфия верхнемеловых отложений северо-восточной части М. Кавказа (междуречье Кошкарчай-Дебетчай). Изд. АН Азерб. ССР, Баку, 1967.
6. Меликов О. Г. Верхнемеловые морские ежи азербайджанской части М. Кавказа и их стратиграфическое значение. Автореф. дисс. Баку, 1966.
7. Ренгартен В. П. Стратиграфия меловых отложений Малого Кавказа. Региональная стратиграфия СССР, т. 6. Изд. АН СССР, 1959.
8. Соловьев А. Н., Меликов О. Г. Новый род морских ежей *Turanglaster* из верхнемеловых отложений Туркмении и Азербайджана. „Палеонтол. ж.“, № 1, 1963.

Поступило 20. IX 1968

Институт геологии

О. Г. Меликов, Р. Н. Мамедзаде, Г. Г. Мендиев

Моллачэлли филиз јатағы рајонунун үст тәбаширинин стратиграфијасы һағында

### ХУЛАСЭ

20-јә Яахын ахтарыш вә кәшфијјат гүуларыдан көтүрүлмүш кери материалларының өјрәнилмәси бу рајону Сантон вә Кампан чөкүнүлләринин стратиграфијасына аид бир сырға дүзәлиш вә әлавәләр едилмәсии имкан вермишdir.

Топланмыш зәнкүн палеонтологи материаллар Сантон вә Кампан чөкүнүлләринин յарыммәртәбләрә бөлүммәсии имкан вермишdir.

ПАРАЗИТОЛОГИЯ

УДК 595. 768. 1

Л. Н. МЕДВЕДЕВ, И. Б. МИРЗОЕВА

НОВЫЙ ВИД ИЗ РОДА *GALERUCA* GEOFFR (Chrysomelidae,  
Coleoptera) ИЗ Азербайджана

(Представлено академиком АН Азербайджанской ССР М. А. Мусаевым)

В настоящей статье приводится описание нового вида, обнаруженного в Ленкорани Н. Б. Мирзоевой. Голотип передается в коллекцию Зоологического института АН СССР (Ленинград).

*Galeruca hyrcana* L. Medv. et Mirz., sp. nov.

Голова, усики и переднеспинка смоляно-бурые, надкрылья грязно-желтые, ноги и низ смоляно-черные, последний стернит брюшка по бокам с двумя овальными желто-бурыми пятнами. Тело продолговато-яйцевидное. 1—7-й членики усиков блестящие, 8—11-й членики матовые, густоволосистые, 3-й членик усиков вдвое длиннее 2-го. Голова в крупных грубых точках, со следами продольного вдавления на лбу. Переднеспинка вдвое шире длины, передний край почти прямой, без выемки за глазами у передних углов; задний край с явственной выемкой перед щитком и неглубокими выемками по бокам; боковой край с двумя выемками: за передними углами и непосредственно за серединой, так что ширина переднеспинки в передней трети примерно равна ширине у основания; передние углы заостренные и заметно выдаются в стороны, задние углы почти прямые, несколько притупленные. Бороздка вдоль бокового края переднеспинки довольно широкая, начинается в задней трети и, огибая передние углы, несколько заходит на передний край; у передних углов она явственно, но не сильно углубленная, значительно менее глубокая, чем у *G. spectabilis* Falda. Диск переднеспинки в густых крупных точках, которые лишь немногим мельче точек надкрыльй, посередине с неглубоким продольным вдавлением. Надкрылья при основании немноко шире переднеспинки, кзади постепенно расширяются, боковая кайма широко отогнутая, лишь под плечами более узкая, однако при осмотре сверху не прикрыта плечевыми бугорками, огибает плечо и здесь обрывается. Пунктировка диска густая и крупная, промежутки выпуклые, мелко морщинистые, заметно уже диаметра точек; ребрышки не развиты,

заметны лишь неявственные следы 1-го (от шва) первичного ребрышка, заметные лишь при увеличении.

Эпиплевры широкие, постепенно суживаются кзади. Пятый стернит брюшка самца с очень глубоким ямковидным вдавлением, не доходящим до середины. Длина тела 11,4 мм ширина 6,5 мм. Распространение: Азербайджан, Ленкоранская зона, сел. Алексеевка, близ Ленкорани, 4 июня 1967 г. (Н. Мирзоева), 1 самец-голотип. Найден в предгорной стации, поросшей кустарниками и частично занятой виноградниками.

Этот своеобразный вид, представленный всего лишь одним экземпляром, должен быть отнесен к группе видов *G. rotundae* Scop., *G. spectabilis* Falda, имеющих сильно углубленную впереди боковую бороздку переднеспинки, однако легко отличается от них прежде всего отсутствием сколько-нибудь явственных ребрышек на надкрыльях, а также слабо углубленной впереди боковой бороздкой переднеспинки. От *G. rotundae* Scop., а также *G. litoralis* F. описываемый вид отличается, кроме того, формой заднего края и передних углов переднеспинки; от *G. circassica* Rtt. он отличается легко по целой группе признаков (окраска, форма и скульптура переднеспинки и надкрыльй). Наиболее близкой к новому виду должна считаться *G. spectabilis* Falda, особенно ее номинальный подвид, с которым *G. hyrcana* сходна по форме переднеспинки и окраске, но хорошо отличается слабо углубленной бороздкой переднеспинки, не ограниченной изнутри бугром, и отсутствием ребрышек на надкрыльях.

Весьма показательно, что подвиды *G. spectabilis* Falda, связанны с горными районами, тогда как *G. hyrcana* была отмечена в предгорьях,

причем в районе, куда, очевидно, не заходит ни один из подвидов *G. spectabilis* Falda, хотя один из них встречается в непосредственной близости (*G. spectabilis lace ricollis* Sem. обычен в горах Талыша).

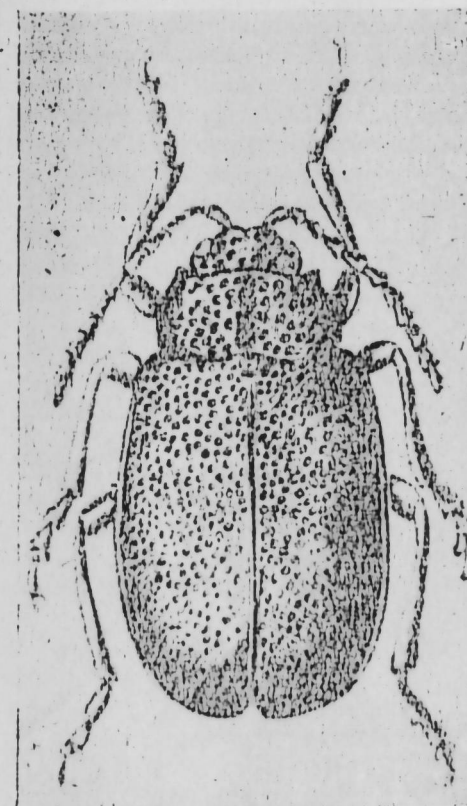


Рис. 1. *Galeruca hyrcana* L. Medv. et Mirz., sp. nov.

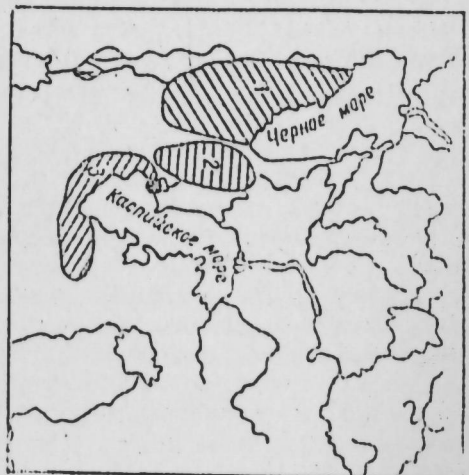


Рис. 2. О характере распространения видов рода *Galeruca*:  
1—*Galeruca spectabilis orientalis* Osc.  
2—*Galeruca spectabilis spectabilis* Falda;  
3—*Galeruca spectabilis lacerticollis* Sem.; 4—*Galeruca hyrcana*, sp. nov.

Кавказ и Закавказье вместе с Малой Азией могут рассматриваться как один из центров формообразования рода. Об этом, в частности, свидетельствует наличие эндемичных видов (*G. circassica* Rtt., *G. hyrcana* sp. nov.), обилие подвидов (*G. spectabilis* Falda., *G. tanaceti* L., *G. interrupta* ffl. и сравнительно небольшие ареалы многих форм.

Институт зоологии

Поступило 20. XI 1968

Л. Н. Медведев, Н. Б. Миранова

Азэрбајчанда юни бөчәк нөвүнүн—*Galeruca hyrcana* L. Medv et Mirz. sp. nov. (*Chrysomela*, Coleoptera) тапылмасына даир

#### ХУЛАСЭ

Мәгаләдә йарнагајејән бөчәкләр фәсиләсүндән юни нөвүн тәсвири верилмишdir. Юни бөчәк нөвү—*Galeruca hyrcana*, *G. rotopae* Scop. vә *G. spectabilis* Falda. нөвләrinә охшардыр. Лакин онлардан бел габарчынын jan шырымларынын ирәли ниссәсийин даһа чухур олмасы вә ғанадүстүлүкләриндә габыргачыларын јохлуу илә фәргләнир. Бу нөв ён чох *G. spectabilis* Falda.-а охшајыр.

Юни нөв Ләнкәран районунун Алексеевка кәндидә тапылмышдыр.

АЗӘРБАЙЧАН ССР ЕЛМЛӘР АКАДЕМИЯСЫНЫН МӘРҮЗӘЛӘРИ  
ДОКЛАДЫ АКАДЕМИИ НАУК АЗЕРБАЙДЖАНСКОЙ ССР

ТОМ XXV

№ 9

1969

#### ЭНТОМОЛОГИЯ

А. А. АБДИНБЕКОВА

#### К ПОЗНАНИЮ БРАКОНИД (НУМЕНОРТЕРА, BRACONIDAE) ЛЕНКОРАНСКОЙ ЗОНЫ АЗЕРБАЙДЖАНА

(Представлено академиком АН Азербайджанской ССР М. А. Мусаевым)

В течение 1965—1966 гг. нами проводилось изучение и сбор материала по фауне браконид (*Hymenoptera, Braconidae*) Ленкоранской зоны Азербайджана.

Ленкоранская зона отличается от других зон республики геоморфологической историей, разнообразием рельефа, пестротой и богатством фауны и флористических элементов. Здесь встречаются различные стации с интересной и богатой фауной браконид. В этой зоне работы проводились в Масаллинском, Ленкоранском, Лерикском, Ярдымлинском и Джалилабадском районах.

В Ленкоранской зоне нами обнаружен 131 вид браконид, из которых 8 являются новыми для науки (таблица)\*. Наиболее многочисленны в Ленкоранской зоне представители следующих родов: *Vipio*, *Bracon*, *Glyptomorpha*, *Rogas*, *Chelonus*, *Microplitis*, *Apanteles*, *Agathis* (Абдинбекова, 1966).

Ленкоранская зона в основном является овощеводческой зоной, здесь большие массивы заняты бахчевыми (помидоры, капуста, огурцы и т. д.). Поэтому в Ленкоранской зоне наблюдается иная картина, чем в других зонах республики. Здесь наибольшее количество видов браконид встречается на огородах и в лесах.

Наличие большого количества видов браконид на огородах и в лесах объясняется тем, что здесь богато представлена фауна специфических хозяев браконид, а также дикая цветущая растительность— основной источник дополнительного питания браконид.

В условиях Ленкоранской зоны изучено распределение браконид по вертикальным поясам. Установлено, что в низменной зоне встречается 73 вида браконид, в предгорной—41, в горной—82 и повсеместно—12 видов браконид.

Неравномерное распределение браконид по вертикальным поясам Ленкоранской зоны можно объяснить наличием культурных сельхозугодий в основном в низменной зоне, где имеются в большом коли-

\* Новые виды из родов *Agathis* и *Chelonus* описываются в других статьях.

Видовой состав наездников семейства Braconidae Ленкоранской зоны,  
собранных в 1965—1966 г.

Название вида	Встречаемость браконид по вертикальным зонам				
	изменная	предгорная	горная		
		1	2	3	4
<i>Heterospilus ferrugineus</i> Marsh.	+				
<i>Doryctes leucogaster</i> Nees	—	—	—	—	—
<i>Doryctodes gallicus</i> Reinh.	—	+	—	—	—
<i>D. imperator</i> Hal.	—	—	—	—	—
<i>Monolexis doderoi</i> Mant.	+	—	—	—	—
<i>Clinocentrus excubitor</i> Hal.	—	—	—	—	—
<i>Rhysipolis decorator</i> Hal.	—	+	—	—	—
<i>Hormius moniliatus</i> Nees	—	—	—	—	—
<i>Iphiaulax impeditor</i> Kok	—	—	—	—	—
<i>I. tauricus</i> Shest.	—	—	—	—	—
<i>I. imbraculator</i> Nees	—	—	—	—	—
<i>Vipio nomiooides</i> Shest.	—	—	—	—	—
<i>V. tentator</i> Rossi	—	—	—	—	—
<i>V. terrefactor</i> Vill.	—	—	—	—	—
<i>Glabriolum castrator</i> F.	—	—	—	—	—
<i>G. inscriptor</i> Nees	—	—	—	—	—
<i>Habrobracon hebetor</i> Say	—	—	—	—	—
<i>Bracon urinator</i> F.	—	—	—	—	—
<i>B. sabulosus</i> Szépl.	—	—	—	—	—
<i>B. erythrostictus</i> Marsh.	—	—	—	—	—
<i>B. nigripedator</i> Nees	—	—	—	—	—
<i>B. pectoralis</i> Wasm.	—	—	—	—	—
<i>B. trucidator</i> Marsh.	—	—	—	—	—
<i>B. anthracinus</i> Nees	—	—	—	—	—
<i>B. atrator</i> Nees	—	—	—	—	—
<i>B. fumipennis</i> Thoms.	—	—	—	—	—
<i>B. hemiflavus</i> Szépl.	—	—	—	—	—
<i>B. marshalli</i> Szépl.	—	—	—	—	—
<i>B. maculiger</i> Wasm.	—	—	—	—	—
<i>B. osculator</i> Nees	—	—	—	—	—
<i>B. pineti</i> Thoms.	—	—	—	—	—
<i>B. tshitsherini</i> Kok.	—	—	—	—	—
<i>B. variator</i> Nees	—	—	—	—	—
<i>B. abscissor</i> Nees	—	—	—	—	—
<i>B. curtiraudis</i> Szépl.	—	—	—	—	—
<i>B. fulvipes</i> Nees	—	—	—	—	—
<i>B. gusaricus</i> Tel.	—	—	—	—	—
<i>B. rugulosus</i> Szépl.	—	—	—	—	—
<i>B. confinis</i> Szépl.	—	—	—	—	—
<i>B. erraticus</i> Wasm.	—	—	—	—	—
<i>B. laetus</i> Szépl.	—	—	—	—	—
<i>Glyptomorpha desertorum</i> F.	—	—	—	—	—
<i>Rogas aestuosus</i> Reinh.	—	—	—	—	—
<i>R. dimidiatus</i> Spin.	—	—	—	—	—
<i>R. ductor</i> Thunb.	—	—	—	—	—
<i>R. bicolor</i> Spin.	—	—	—	—	—
<i>R. pellucens</i> Tel.	—	—	—	—	—
<i>R. testaceus</i> Spin.	—	—	—	—	—
<i>Diospilus capito</i> Nees	—	—	—	—	—
<i>Calyptus gallicus</i> Reinh.	—	—	—	—	—
<i>C. rufithorax</i> Abdinbekova, sp. nov.	—	—	—	—	—
<i>Triaspis caucasicus</i> Abdinbekova	—	—	—	—	—
<i>T. similis</i> Szépl.	—	—	—	—	—
<i>T. thoracicus</i> Curt.	—	—	—	—	—
<i>Schizopyrnus globosus</i> Szépl.	—	—	—	—	—
<i>Meteorus abdominalis</i> Nees	—	—	—	—	—

1	2	3	4
<i>M. ictericus</i> Nees	—	—	+
<i>M. rubens</i> Nees	+	+	—
<i>M. scutellator</i> Nees	—	+	—
<i>M. versicolor</i> Wasm.	+	—	—
<i>Blacus ruficornis</i> Sch.	—	—	—
<i>Dinocampus coccinellae</i> Sch.	—	—	—
<i>Microctonus aethiops</i> Nees	—	—	—
<i>Lelophron edentulus</i> Hal.	—	+	—
<i>Euphorus orchesiae</i> Curt.	—	—	—
<i>E. pallipes</i> Curt.	—	—	—
<i>E. pictipes</i> Hal.	—	—	—
<i>Macrocentrus collaris</i> Spin.	—	—	—
<i>Orgilus laevigator</i> Nees	—	—	—
<i>O. nitidus</i> Marsh.	—	+	—
<i>O. obscurus</i> Nees	—	—	—
<i>O. zonator</i> Szépl.	—	—	—
<i>Phanerotoma dentata</i> Pz.	—	—	—
<i>Ph. acuminata</i> Szépl.	—	—	—
<i>Ascogaster bicarinata</i> H-Schm.	—	—	—
<i>Chelonus annulipes</i> Wasm.	—	+	—
<i>Ch. caradrinae</i> Kok.	—	—	—
<i>Ch. oculator</i> Pz.	—	—	—
<i>Ch. shirvanicus</i> Abdinbekova	—	—	—
<i>Ch. submuticus</i> Wasm.	—	+	—
<i>Ch. (Neochelonella) azerbaijanicus</i> , sp. nov.	—	—	—
<i>Ch. (N.) alboannulatus</i> Szépl.	—	—	—
<i>Ch. (N.) caucasicus</i> Abdinbekova	—	—	—
<i>Ch. (N.) chrysomacula</i> Abdinbekova, sp. nov.	—	—	—
<i>Ch. (N.) contractus</i> Nees	—	—	—
<i>Ch. (N.) exilis</i> Marsh.	—	—	—
<i>Ch. (N.) fenestratus</i> Nees	—	—	—
<i>Ch. (N.) rimatus</i> Szépl.	—	—	—
<i>Cardiochiles fumatus</i> Tel.	—	—	—
<i>Microplitis decipiens</i> Prell	—	—	—
<i>M. scrophulariae</i> Szépl.	—	—	—
<i>M. strenua</i> Ruthe	—	—	—
<i>M. spinolae</i> Nees	—	—	—
<i>M. tadzhica</i> Tel.	—	—	—
<i>Microgaster curvicrus</i> Thoms.	—	—	—
<i>M. globata</i> L.	—	—	—
<i>M. tibialis</i> Nees	—	—	—
<i>Hypomicrogaster suffolciensis</i> Morley	—	—	—
<i>Apanteles albipennis</i> Nees	—	—	—
<i>A. appellator</i> Tel.	—	—	—
<i>A. congestus</i> Nees	—	—	—
<i>A. contortus</i> Tobias	—	—	—
<i>A. corvinus</i> Reinh.	—	—	—
<i>A. firmus</i> Tel.	—	—	—
<i>A. genalis</i> Tobias	—	—	—
<i>A. glomeratus</i> L.	—	—	—
<i>A. gracilariae</i> Wilk.	—	—	—
<i>A. imperator</i> Wilk.	—	—	—
<i>A. lactoides</i> Nixon	—	—	—
<i>A. laevigatus</i> Ratz.	—	—	—
<i>A. lencoranicus</i> Abdinbekova, sp. nov.	—	—	—
<i>A. longicauda</i> Wasm.	—	—	—
<i>A. masallensis</i> Abdinbekova, sp. nov.	—	—	—
<i>A. militareum</i> Wilk.	—	—	—
<i>A. obscurus</i> Nees	—	—	—

1	2	3	4
<i>A. plutellae</i> Curt.	+	+	-
<i>A. ruficrus</i> Hal.	+	-	-
<i>A. rufiventris</i> Abdinbekova, sp. nov.	+	-	-
<i>A. sessilis</i> Iv.	+	-	-
<i>A. spurtus</i> Wesm.	+	-	-
<i>A. sp. aff. gastropachae</i> sensu Tel.	-	+	-
<i>A. zygaeum</i> Marsh.	+	-	-
<i>Disophrys caesus</i> Klug.	+	-	-
<i>D. Inculcatrix</i> Nees	+	+	+
<i>Cremnops desertor</i> L.	+	+	+
<i>Agathis genualis</i> Wesm.	+	+	+
<i>A. longicauda</i> Kok.	+	-	+
<i>A. malvacearum</i> Latr.	-	-	+
<i>A. semiaciculatus</i> Iv.	+	-	-
<i>A. syngenesiae</i> Nees	+	-	+
<i>A. transcaucasica</i> Abdinbekova, sp. nov.	+	-	-

чество хозяева паразитических браконид и дикие цветущие растения, на цветках которых питаются взрослые наездники. Поэтому браконид в низменных районах больше. Что касается предгорной зоны, то здесь мало культурных растений, преобладают в основном леса и встречаются преимущественно виды, обитающие в лесах.

С поднятием на высоту растительность изменяется. Наряду с лесами и горными степями появляются горные луга, посевы, пшеницы, огороды, фруктовые сады, и все это, без сомнения, сказывается на видовом разнообразии наездников — здесь вновь наблюдается увеличение количества видов браконид, которые в условиях Ленкоранской зоны предпочитают цветы зонтичных, сложноцветных и молочайных растений.

Нами были использованы при определении видов и новых видов браконид следующие работы: Н. А. Теленга, 1936, 1941, 1952, 1955; В. И. Тобиас, 1961, 1963; Т. Marshall, 1888, 1891, 1897; W. Hellen, 1957, 1958; R. D. Eady and J. A. Clark, 1964; E. I. Nixon, 1965; А. А. Абдинбекова, 1967.

Ниже даются описания 4 новых для науки видов браконид, найденных в Ленкоранской зоне. Новые виды рассмотрены и подтверждены В. И. Тобиасом, за что я пришлю ему свою глубокую признательность. Типы новых видов хранятся в Зоологическом институте АН СССР.

#### *Apanteles lencoranicus* Abdinbekova, sp. nov.

Близок к *Apanteles ater* Ratz., от которого отличается более длинным яйцекладом (у *A. ater* он короче задних голеней, у *A. lencoranicus* заметно длиннее их) и отсутствием поперечных валиков на промежуточном сегменте.

♀ 3 мм. Голова такой же ширины, как грудь, за глазами слабо округленно суженная, в 2,5 раза шире своей длины; затылок слабо вырезанный; виски короче ширины глаза; глазки в тупоугольном треугольнике, основание которого в 1,5 раза больше расстояния от него до глаза; расстояние между задними глазками в 3,5 раза больше диаметра глазка; продольный диаметр глаза в 2 раза больше поперечного, почти в 6 раз длиннее щек. Усики интевидные, короче тела; основной членник едва длиннее своей ширины на вершине, 1-й членник жгутика едва длиннее 2-го, почти вдвое длиннее основного, в 2,5 раза

длиннее своей ширины. Грудь на треть длиннее своей высоты; нотаулы неясные. На переднем крыле метакари в 1,5 раза длиннее стигмы; радиальная жилка в 1,5 раза длиннее радиомедиальной, образуют резко изломанную дугу; задняя сторона дискоидальной ячейки равна внутренней; первулюс отходит от ее середины. Задние бедра в 4 раза длиннее своей ширины; большая шпора задних голеней равна  $\frac{1}{2}$  1-го членика лапки; 5-й членник задних лапок меньше 2-го, равен 3-му. 1-й тергит брюшка суженный к вершине, вдвое длиннее своей ширины, на вершине округленный; 2-й тергит почти вдвое короче 3-го, шов между ними слабо изогнутый. Яйцеклад немного короче брюшка, прямой, расширенная часть створок равна длине задних голеней. Тело в негустых светлых волосках. Голова густо пунктированная, блестящая; передняя часть боков среднегруди густо пунктированная; слабо блестящая; щитик, задняя часть боков среднегруди и верх боков заднегруди гладкие, блестящие; промежуточный сегмент мягко морщинистый, в вершинной половине почти гладкий, с серединной ячейкой, ограниченной нерезкими валиками; 1-й тергит брюшка мягко морщинистый; треугольное поле 2-го тергита и остальные тергиты брюшка гладкие, блестящие. Черная; щупики, вершины бедер, голени, лапки передних и средних ног, основание задних голеней желтовато-коричневые; крылья светлые, стигма, метакарп, радиальная и радиомедиальная жилки — коричневые.

Самец неизвестен.

Материал: Азербайджан, Масаллы, сел. Калиновка, 19. VI 1965. 1 ♀ (голотип), на свет.

#### *Apanteles masallensis* Abdinbekova sp. nov.

Близок к *Apanteles lacteoides* Nixon, от которого отличается значительно меньшими размерами тела, сильнее суженным к вершине 1-м тергитом брюшка, более слабым валиком на промежуточном сегменте.

♀ 2,5 мм. Голова немного уже груди, за глазами округленно суженная, почти в 2,5 раза шире своей длины; затылок слабо вырезанный; виски вдвое короче ширины глаза; глазки в тупоугольном треугольнике, основание которого в 1,5 раза больше расстояния от него до глаза; расстояние между задними глазками в 3 раза больше диаметра глазка; продольный диаметр глаза вдвое больше поперечного, в 5 раз длиннее щек; лицо немного шире высоты; расстояние между темпориальными ямками вдвое больше расстояния от ямки до глаза; хоботок слабо развит; щупики почти вдвое короче высоты головы. Усики обломаны. Грудь наполовину длиннее своей высоты; нотаулы слабые. На переднем крыле метакари равен длине стигмы; радиальная и радиомедиальная жилки приблизительно равной длины, образуют крутую дугу; задняя сторона дискоидальной ячейки немного больше внутренней; первулюс отходит перед ее серединой. Задние бедра в 4 раза длиннее своей ширины; большая шпора задних голеней чуть больше половины 1-го членика лапки; 5-й членник задних лапок меньше 3-го, значительно меньше 2-го. 1-й тергит сильно суженный к вершине, почти вдвое длиннее своей ширины в средней части; 2-й тергит втрое короче 3-го, шов между ними равномерно изогнутый. Яйцеклад почти равен длине брюшка, его створки едва расширенные к вершине, на  $\frac{1}{3}$  длинее задних голеней. Тело в сравнительно негустых волосках. Голова, бока среднегруди и щитик почти гладкие; среднеспинка пунктированная, слабо блестящая; промежуточный сегмент лишь в середине основания пунктированный, с продольным валиком посередине; тергиты брюшка гладкие, блестя-

щие. Черный; щупики, вершины бедер, голени и лапки передних ног желто-коричневые, вершины бедер и голени средних и задних ног коричневые, лапки темно-коричневые; крылья светлые, стигма и жилки желтые, метакарп коричневый.

Самец неизвестен.

Материал: Азербайджан, Масаллы, сел. Калиновка, 15. VII 1965 1 ♀ (голотип), огород, на укропе.

*Apaneles rufiventris* Abdinbekova, sp. nov.

Относится к группе *Apanteles glomeratus* L. Отличается от других видов группы коричневато-желтым брюшком.

♀ 2,7 мм. Голова по ширине меньше груди, за глазами округленно-суженная, почти в 2,5 раза шире своей длины; затылок слабо вырезанный; виски вдвое меньше ширины глаза; глазки в тупоугольном треугольнике, основание которого наполовину больше расстояния от него до глаза; расстояние между задними глазками в 4 раза больше диаметра глазка; глаза небольшие, их продольный диаметр вдвое больше поперечного; высота щек равна ширине жвал в основании; ширина лица почти равна его высоте; расстояние между тенториальными ямками втрое больше расстояния между ямкой и глазом; хоботок не развит; челюстные щупики почти вдвое короче высоты головы. Усики интевидные, длиннее тела; основной членник в 1,5 раза длиннее своей ширины на вершине; 1-й членник жгутика равен 2-му, в 2,5 раза длиннее своей ширины; членники усика не укорачивающиеся к вершине, все членники усика в 2,5—3 раза длиннее своей ширины. Грудь на треть длиннее своей высоты; нотаули неясные. На переднем крыле метакарп в 1,5 раза длиннее стигмы; радиальная жилка немногого длиннее радиомедиальной, образует с ней ясный излом; задняя сторона дискоидальной ячейки немногого больше внутренней; первулюс отходит перед ее серединой. Задние бедра почти в 5 раз длиннее своей ширины; большая шпора задних голеней равна половине 1-го членника лапки; 5-й членник задних лапок равен 3-му, короче 2-го. 1-й тергит брюшка слабо суженный к основанию, в 1,5 раза длиннее своей ширины на вершине, его задние боковые углы округленные; 2-й тергит короче 3-го, со слабыми косыми бороздками в виде нешироких вдавлений у бокового края тергита; 7-й стернит заканчивается вблизи вершины брюшка, притупленный. Яйцеклад едва выступает за вершину 7-го стернита. Тело в негустых волосках. Голова слабо пунктированная, блестящая; лицо мелко густо пунктированное, блестящее; среднеспинка густо и грубо пунктированная, матовая; середина боков среднегруди гладкая; промежуточный сегмент и низ боков заднегруди морщинисто пунктированные, матовые; промежуточный сегмент со слабым продольным валиком; 1-й, 2-й и основание 3-го тергитов брюшка морщинисто пунктированные, слабо блестящие, остальные тергиты гладкие; задние тазики редко и нежно пунктированные. Черный; членники жгутика, 1-й тергит брюшка — коричневые; щупики, ноги, кроме оснований задних тазиков, 2-й и 3-й тергиты брюшка красновато-желтые; крылья светлые, стигма коричневая, все жилки коричневато-желтые.

Самец похож на самку.

Материал: Азербайджан, Масаллы, сел. Калиновка, 8. IX 1965, 1 ♀ (голотип), на посевах капусты; 14. IX 1965, 1 ♂, фруктовый сад, на траве.

*Calyptus rufithorax* Abdinbekova sp. nov.

Близок к *Calyptus claviventris* Rüthe, от которого отличается коричневато-красной грудью, широким наличником и равными расстояниями между тенториальными ямками и от ямки до глаза.

♀ 4,8 мм. Голова в 1,5 раза шире своей длины, за глазами слабо суженная, равна ширине груди; виски в 1,5 раза длиннее ширины глаза; затылок слабо вырезанный; глазки в равностороннем треугольнике; расстояние между задними глазками вдвое больше диаметра глазка; заусиковые вдавления доходят сверху приблизительно до половины расстояния от основания усиков до переднего глазка; продольный диаметр глаза вдвое больше поперечного, в 4 раза длиннее щек; лицо вдвое шире высоты; наличник отделен от лица глубокой бороздкой, его ширина вдвое больше расстояния от него до глаза, вдвое больше его высоты в средней части; щупики короткие, немногого длиннее высоты лица. Усики интевидные (их вершины обломаны; имеется 28 членников); основной членник усика в 1,5 раза короче 1-го; 1-й членник жгутика немногого длиннее 2-го, в 1,5 раза больше 3-го, в 3 раза длиннее своей ширины, членники в вершинной половине усика почти квадратные. Грудь почти вдвое длиннее своей высоты; нотаули глубокие, кренулированные; высота промежуточного сегмента вдвое меньше высоты груди. Задние бедра в 4 раза длиннее своей наибольшей ширины; большая шпора задних голеней равна  $\frac{1}{4}$  1-го членника лапки; 5-й членник задних лапок меньше 2-го, равен 3-му. Передний край радиальной ячейки равен длине стигмы. Брюшко равно груди, в 2,5 раза длиннее своей ширины, в 4 раза длиннее высоты в средней части; 1-й тергит к основанию суженный, его ширина на вершине втрое больше ширины в основании, равна длине тергита; под 2—3-й тергиты почти втянуты остальные тергиты, боковые края их, задний край 3-го тергита почти прямые; шов между 2-м и 3-м тергитами очень слабый. Яйцеклад немногого длиннее половины брюшка. Тело в коротких светлых волосках; голова и лицо гладкие, блестящие; наличник сверху гладкий; грудь и основное гладкая, блестящая; лицо довольно грубо пунктированное, блестящее; наличник морщинистый; заднеспинка морщинистая; бока заднегруди густопунктированные; нотаули кренулированные; промежуточный сегмент морщинистый, посередине с двумя ячейками в основании. 1-й тергит брюшка грубо морщинистый, с продольными валиками по боковым краям; 2—3-й тергиты блестящие, гладкие. Черный; основной и поворотный членники усика снизу, грудь, ноги и основание 1-го тергита брюшка красновато-коричневые; щупики и основные членники жгутика усика снизу коричневые. Крылья светлые, стигма и жилки коричневые.

Самец неизвестен.

Материал: Азербайджан, Ярдымы, 29. VI 1966, 1 ♀ (голотип), горная степь, на осоте.

## ЛИТЕРАТУРА

1. Абдинбекова А. А. 1967. Новые виды браконид (*Hymenoptera, Braconidae*) фауны Азербайджана. ДАН СССР. т. XXIII, № 10. 2. Теленга Н. А. 1936, 1941, 1955. Фауна СССР. Насекомые перепончатокрылые (сем. Braconidae), т. V. вып. 2, 3 и 4. Изд. АН СССР, М.—Л. З. Тобиас В. И. 1961. К систематике и биологии родов *Bracon* F. и *Habrobracon* Ashm. (*Hymenoptera, Braconidae*). Труды Всесоюзного энтомологического общества АН СССР, т. 48. 4. Тобиас В. И. 1963. Паразитические перепончатокрылые рода *Agathis*. Энтомологическое обозрение, XXXII, 4. 5. Никоп G. E. J. 1965. A reclassification of the tribe Microgasterini (*Hymenoptera: Braconidae*). Bulletin of the British Museum (Natural History), Entomology supplement London.
6. Hellen W. 1957. Zur Kenntnis der Braconidae Etc. Natulae entomologicae. XXXVII.
7. Hellen W. 1958. Zur Kenntnis der Braconidae (Hym.) Finnlands. II (Subfamilie Helconinae Part.). Societas pro fauna fennica IV. Helsinki—Helsingfors.

Институт зоологии

Поступило 18. IV 1969

## ХҮЛАСЭ

Мәгаләдә Азәрбајҹаның Ләнкәран зонасында јајылмыш 131 браконид нөвү наггында мә'лumat верилмишdir. Бу зонада *Vipio, Bracon, Glyptomorpha, Rogas, Chelonus, Microplitis, Apanteles, Agathis* сојларына мәнсуб нөвләрә сај вә нөв е'тибарилә даһа чох тәсадүф олунур. Мүәjjән едилмишdir ки, браконидләрин экසәр нөвләри бостан вә мешәләрдә јајылмышдыр.

Зона үзәре браконидләрин шагули бөлкүләринә кәлдикдә дүзән һиссәдә 73, дағатәйиндә 41, дағлыг һиссәдә исә 82 нөв браконид јајылмышдыр. Бундан әlavә, мәгаләдә елм үчүн Јени нөвүн *Apanteles lencoranicus*, sp. nov., *A. masallensis*, sp. nov., *A. rufiventris*, sp. nov., *Calyptus rufithorax*, sp. nov. тәсвири верилмишdir.

## БОТАНИКА

Р. К. ДЖАВАДОВА

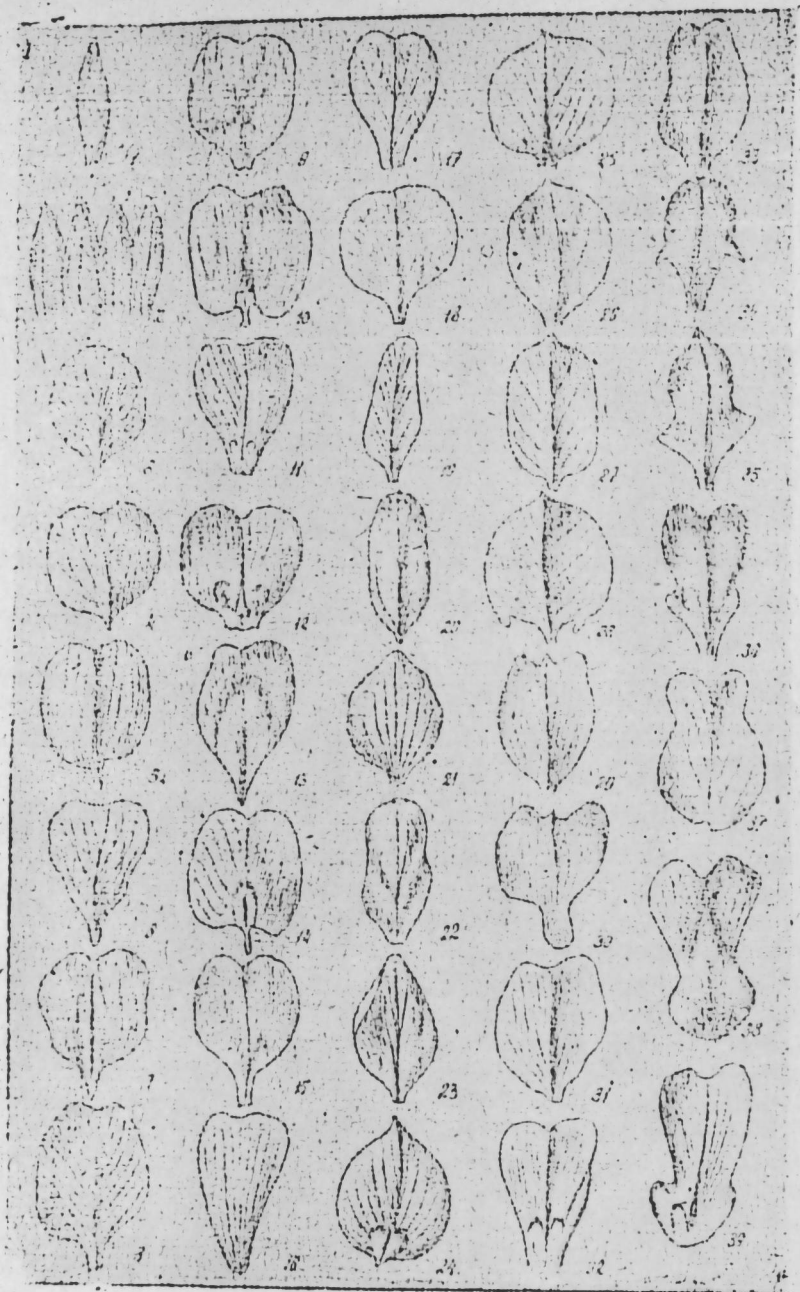
МОРФОЛОГИЧЕСКИЕ ОСОБЕННОСТИ ВЕНЧИКА НЕКОТОРЫХ ПРЕДСТАВИТЕЛЕЙ *LEGUMINOSAE* ФЛОРЫ АЗЕРБАЙДЖАНА

(Представлено академиком АН Азербайджанской ССР А. Гулиевым)

Исследование строения и особенностей цветка бобовых и его отдельных структурных элементов представляет значительный интерес для выявления основных направлений в морфологической эволюции этого важнейшего генеративного органа.

Классификационная схема *Leguminosae* основана на расположении лепестков в бутоне по отношению друг к другу. Различают три типа сложения лепестков—створчатый, восходяще-черепитчатый и нисходяще-черепитчатый [4]. Первый тип наиболее простой, второй характеризуется тем, что верхний (задний, адаксиальный) лепесток или „флаг“, является самым внутренним, т. е. охватывается всеми остальными. При нисходяще-черепитчатом сложении самый большой и самый верхний (задний) лепесток, или „парус“, охватывает в бутоне два боковых лепестка, или „крылья“, причем последние в свою очередь охватывают оба передних лепестка, которые срастаются или смыкаются вместе в киль венчика, называемый часто „лодочкой“. Согласно отмеченному признаку, большинство авторов выделяют подсемейства *Mimosoideae*, *Caesalpinoideae* и *Papilionatae*, которые в системе А. Л. Тахтаджяна [4] возведены в ранг близких семейств *Mimosaceae*, *Caesalpiniaceae* и *Fabaceae* (*Papilionaceae*), объединенных в порядок *Fabales*.

Наблюдаемый у бобовых постепенный переход от примитивного, актиноморфного венчика к слабозигоморфному и более специализированному „мотылькового“ типа является результатом сопряженной эволюции как самого цветка, так и соответствующих групп насекомых-опылителей. Уже среди мимозовых намечается тенденция к энтомофилии. Например, у *Albizia julibrissin*, *Acacia dealbata* и *Mimosa pudica*, хотя головки их выполняют функцию цветка, насекомых привлекают ярко окрашенные тычинки, а не лепестки. Среди цезальпиниевых имеются представители как с актиноморфными цветками со слабо развитым, малозаметным венчиком (анемофильный род *Gleditschia*), так и с крупными, яркими, более или менее зигоморфными цветками (энтомофильные роды *Cercis*, *Cassia*, *Caesalpinia*). Все виды мотыльковых характеризуются крупным, окрашенным сильно зигоморфным венчиком, достигшим наивысшей степени специализации для перекрестного опыления, механизм которого изучен достаточно полно [1, 2, 3, 5, 6].



*Рис. 1.* Морфологическая изменчивость флага:

1 — *Prosopis farcta* (Ru s s.) Mac bride, *Acacia dealbata* Link; 2 — *Albizia julibrissin* Durazz., *Gleditschia caspia* Desf.; 3 — *Cercis siliquastrum* L.; 4 — *Cassia* sp.; 5 — *Sophora japonica* L.; *Laburnum anagyroides* Medik.; *Genista florida* L.; 6 — *Caesalpinia gilliesii* Wall.; 7 — *Cytisus purpureus* Scop.; *Medicago lupulina* L.; 8 — *Halimodendron halodendron* (Pall.) Voss, *Onobrychis transcaucasica* Grossh.; 9 — *Medicago littoralis* Rohde; 10 — *Wisteria sinensis* ( Sims) Sweet; 11 — *Onobrychis mitchauxii* DC.; 12 — *Pisum elatius* M. B.; 13 — *Cytisus austriacus* L.; *Lotus angustissimus* L.; 14 — *Robinia pseudoacacia* L.; 15 — *Lathyrus pratensis* L.; 16 — *Astragalus ignitarius* M. Pop.; 17 — *Lotus corniculatus* L.; 18 — *Caragana arborescens* Lam.; 19 — *Trifolium echinatum* M. B.; 20 — *Genista tinctoria* L.; 21 — *Trifolium campestre* Schreb.; 22 — *Trifolium arvense* L.; 23 — *Medicago coerulea* Less.; 24 — *Spartium junceum* L.; 25 — *Ononis arvensis* L.; 26 — *Ononis antiquorum* L.; 27 — *Melilotus officinalis* (L.) Desr.; 28 — *Coronilla varia* L.; 29 — *Onobrychis cyri* Grossh.; 30 — *Vicia sativa* L.; 31 — *Dorycnium graecum* (L.) Ser.; 32 — *Astragalus cruciatus* Link; 33 — *Astragalus cancellatus* Bge.; 34 — *Astragalus pycnophyllum* Stev.; 35 — *Astragalus meyeri* Boiss.; 36 — *Astragalus bakuensis* Bge.; 37 — *Astragalus caspicus* M. B.; 38 — *Vicia dasycarpa* Ten.; 39 — *Vicia cinerea* M. B.

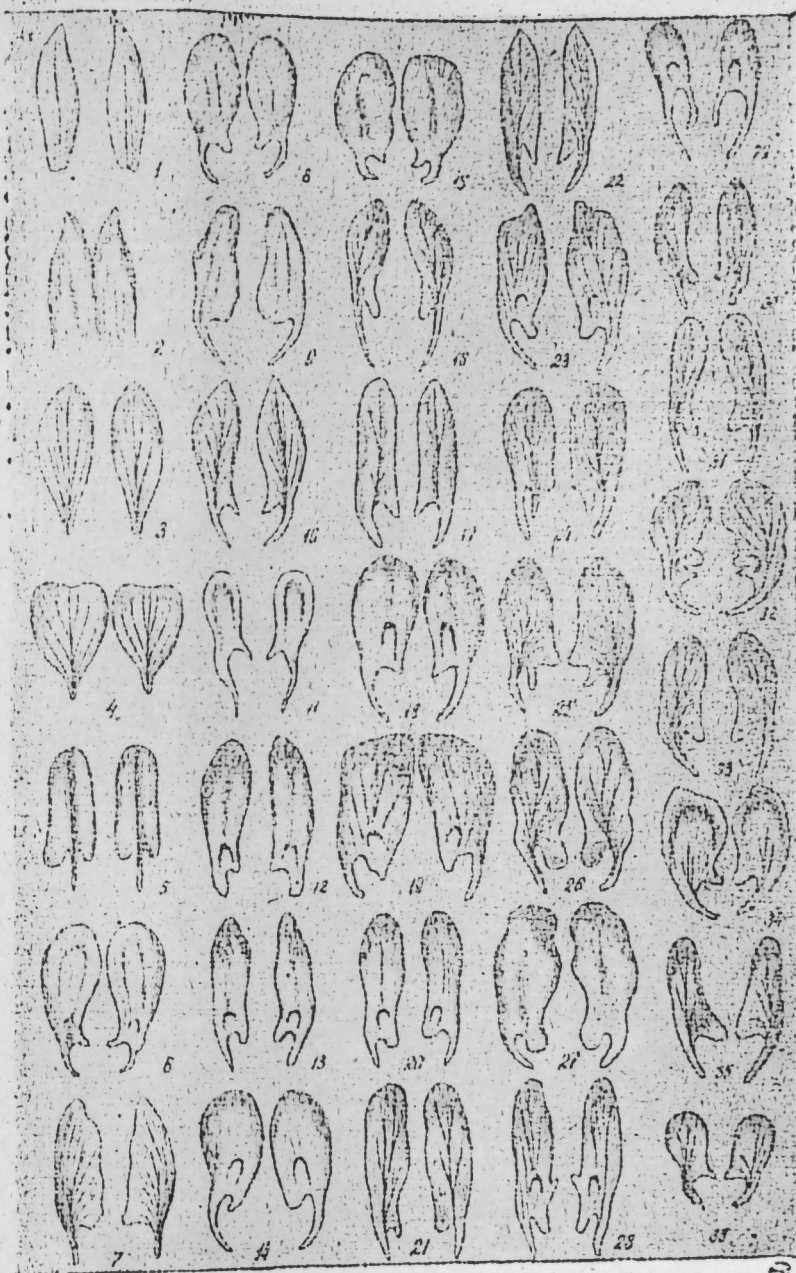


Рис. 2. Морфологическая изменчивость крыльев:

1—*Prosopis farcta* (Russ.) Macbride, *Acacia dealbata* Link; 2—*Albizia julibrissin* Durazz., *Gleditschia caspica* Desf.; 3—*Cercis siliquastrum* L.; 4—*Caesalpinia gilliesii* Wall.; 5—*Sophora japonica* L.; 6—*Spartium junceum* L.; 7—*Cytisus purpureus* Scop.; 8—*Genista florida* L.; 9—*Robinia pseudoacacia* L., *Coronilla emeroides* Bolss. et Sprun.; 10—*Ononis antiquorum* L., *Laburnum anagyroides* Medic.; 11—*Medicago coerulea* Less., *Trifolium campestre* Schreb.; 12—*Ononis arvensis* L.; 13—*Medicago lupulina* L.; 14—*Lotus angustissimus* L.; 15—*Wisteria sinensis* ( Sims) Sweet; 15—*Astragalus igniarius* M. Pop.; 17—*Caragana arborescens* Lam., *Astragalus meyeri* Boiss.; 18—*Lathyrus inconspicuus* L.; 19—*Coronilla varia* L.; 20—*Trifolium echinatum* M. B.; 21—*Melilotus officinalis* (L.) Desr.; 22—*Halinodendron halodendron* (Pall.) Voss; 23—*Astragalus cruciatus* Link; 24—*Lathyrus aphaca* L.; 25—*Vicia angustifolia* L.; 26—*Lathyrus pratensis* L.; 27—*Lotus corniculatus* L.; 28—*Vicia cinerea* M. B.; 29—*Vicia sativa* L.; 30—*Astragalus cancellatus* Bge.; 31—*Astragalus bakuensis* Bge.; 32—*Pisum elatius* M. B.; 33—*Wistaria* sp.; 34—*Dorycnium graecum* (L.) Ser.; 35—*Onobrychis transcaucasica* Grossh., *O. hohenackeriana* C. A. M., *O. cyri* Grossh.; 36—*Onobrychis vaginalis* C. A. M., *O. michauxii* DC.

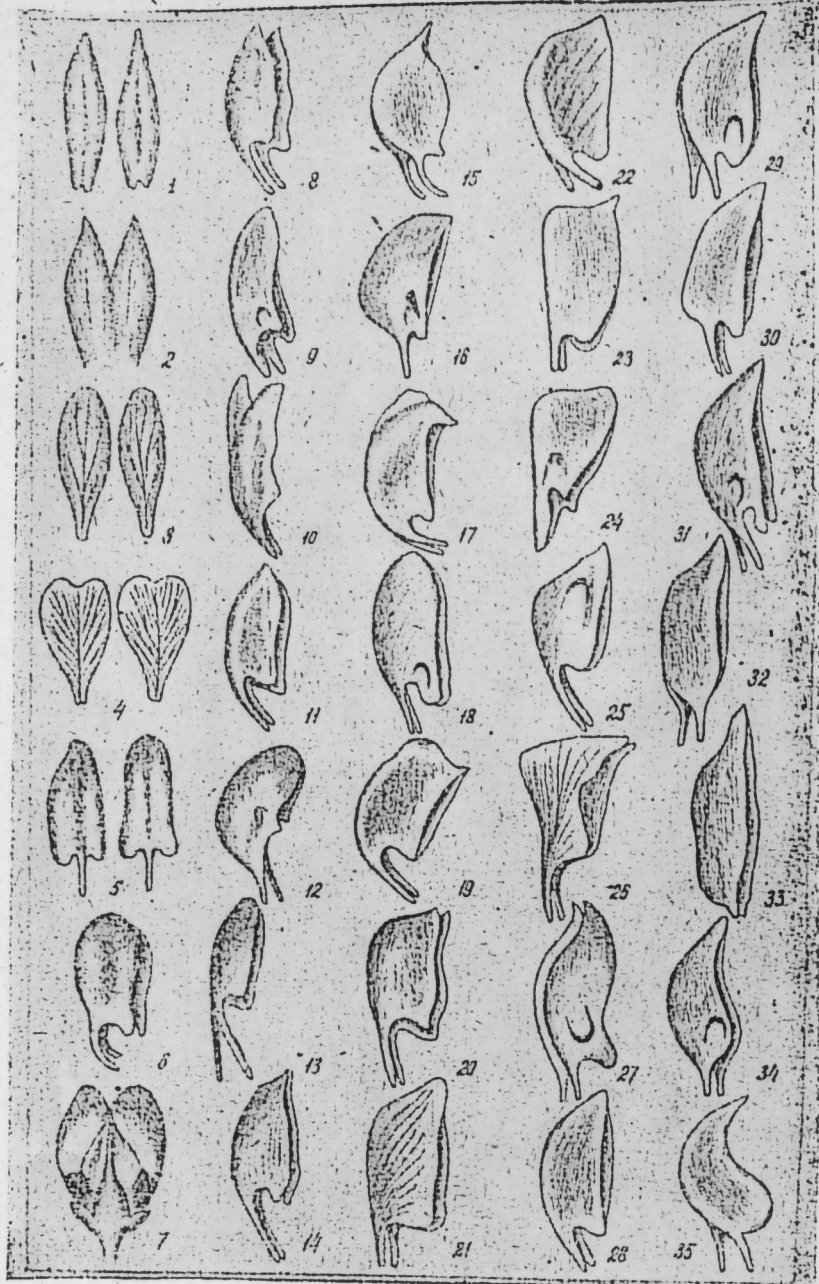


Рис. 3. Морфологическая изменчивость лодочки:

- 1—*Prosopis farcta* (Russ) Macbride; *Acacia dealbata* Link; 2—*Albizia julibrissin* Durazz.; *Gleditschia caspia* Desf.; 3—*Cercis siliquastrum* L.; 4—*Caesalpinia tinctoria* L.; *Trifolium arvense* L.; 8—*Cytisus austriacus* L.; 9—*Melilotus officinalis* (L.) Desr., *Medicago lupulina* L.; 10—*Trifolium campestre* Schreb.; 11—*Caragana arborescens* Lam.; 12—*Dorycnium graecum* (L.) Ser.; 13—*Astragalus bakunensis* Bge.; 14—*Astragalus caspicus* M. B.; *Medicago coerulea* Less.; 15—*Wisteria sinensis* (Sims.) Sweet; 16—*Lathyrus incospicuus* L.; 17—*Pisum elatius* M. B.; 18—*Astragalus cancellatus* Bge.; 19—*Lathyrus aphaca* L.; 20—*Medicago littoralis* Röhde, *Robinia pseudoacacia* L.; 21—*Onobrychis transcaucasica* Grossh.; 22—*Onobrychis cyri* Grossh.; 23—*Onobrychis michauxii* DC.; 24—*Vicia dasycarpa* Tep.; 25—*Vicia sativa* L.; 26—*Coronilla emeroides* Boiss. et Sprum.; 27—*Sparrium junceum* L.; 28—*Laburnum anagyroides* Medic.; 29—*Lotus angustissimus* L.; 30—*Lotus gebelia* Vent.; 31—*Coronilla varia* L.; 32—*Ononis antiquorum* L.; 33—*Ononis arvensis* L.; 34—*Lathyrus pratensis* L.; 35—*Lotus corniculatus* L.

По мере перехода от актиноморфии к зигоморфии меняется и морфологический облик лепестков. По сравнению с мимозовыми, у которых все лепестки одинаковые, у цезальпиниевых появляется крупный лепесток-флаг, отличающийся по размеру от остальных четырех (*Cercis*, *Cassia*, *Caesalpinia*). Затем у флага появляется более или менее удлиненный, но хорошо выраженный ноготок. Верхушка флага видоизменяется по очертанию, и у различных видов он имеет также выемки разной величины и формы. У мотыльковых вслед за флагом обособляются два боковых лепестка—крылья, причем у примитивных представителей они симметричные (*Sophora*) с уже хорошо выраженным длинным, узким ноготком, почти не развитым у лепестков, соответствующих крыльям цезальпиниевых. Наиболее подвижные виды мотыльковых характеризуются асимметричными крыльями, причем у основания лепестков развиваются многочисленные ушки и роговидные выросты, которые играют большую роль при соединении их с лодочкой. Часто происходит укорочение крыльев (*Medicago coerulea*, *Onobrychis vaginalis*), которые по длине не превышают ноготок лодочки. Вполне сформировавшаяся лодочка появляется у мотыльковых и в пределах этого подсемейства она видоизменяется от симметричной до асимметричной. Ее лепестки имеют ушки и кармановидные углубления, причем последние морфологически соответствуют роговидным выростам крыльев.

Бобовые хотя и относятся к раздельнолепестным, но в пределах семейства наблюдается частичное или полное срастание отдельных элементов венчика: основания лепестков у мимозовых (*Albizia julibrissin*), цезальпиниевых (*Gleditschia*) и лепестков лодочки мотыльковых. По указанному признаку нами отмечены следующие типы лодочки: I—свободнолепестный, II—частично сросшийся, III—сросшийся наполовину, IV—сросшийся более чем наполовину, V—полностью сросшийся.

Следует подчеркнуть, что виды одного и того же рода могут иметь разную степень срастания лепестков лодочки: *Astragalus cruciatus* (III), *A. rupestris* (IV), *A. meyeri* (IV), *A. ignarius*, *A. caspicus* (V). Тоже самое относится и к родам *Onobrychis*, *Medicago*, *Trifolium*, *Vicia* и др.

В следующей стадии происходит срастание крыльев и лодочки, что наглядно видно на примере *Medicago sativa*, *M. lupulina* и *M. littoralis*, у которых эти элементы венчика соединены между собой плотными выступами, входящими в карманчики, а у *M. coerulea* выступы органически связаны с углублениями. Аналогичное явление наблюдается у *Trifolium echinatum* и *T. arvense*, причем у последнего, начиная с середины, все части венчика срастаются с колонкой. Соединение крыльев с лодочкой имеет место и у *Onobrychis* и *Wisteria*. В дальнейшем происходит редукция отдельных элементов венчика, например, у *Amorpha* от венчика сохранился лишь один крупный складчато складывающийся флаг.

Вышеприведенные данные, полученные на основании исследования 71 вида, относящегося к 31 роду, позволяют заключить, что морфологическая эволюция цветка бобовых шла в следующих направлениях: 1) цветок актиноморфный → слабо зигоморфный → зигоморфный "мотылькового" типа; 2) усложнение формы и специализация лепестков—обособление флага, крыльев и лодочки; 3) соединение и срастание отдельных лепестков; 4) уменьшение числа элементов венчика—редукция крыльев (*Onobrychis*), крыльев и лодочки (*Amorpha*).

#### ЛИТЕРАТУРА

1. Берг Р. Л. 1956. Стабилизирующий отбор и эволюция цветков. „Бот. ж. АН СССР“, № 3. 2. Боголюбский С. Г. 1956. Некоторые черты биологии цветения бобовых растений. „Записки Воронежск. с/х ин-та“, т. 26, вып. 2. 3. Копержи-

ский В. В. 1946. К механизму автоматического раскрывания цветка люцерны. «Доклады ВАСХНИЛ», вып. 3/4. 4. Тахтаджян А. Л. 1966. Система и филогения цветковых растений. Изд. «Наука», М.—Л. 5. Шапаренко К. К. 1937. Семейство Papilionaceae—Мотыльковые. Культурная флора СССР. IV—Зернобобовые. 6. Шавинич Б. И. 1952. О механизме опыления красного клевера медоносной пчелой. «Доклады ВАСХНИЛ», вып. 8.

Институт ботаники

Поступило 10. III 1969

Р. Г. Чавадова

Азэрбајҹан флорасының бә’зи *Leguminosae* нұмајәндәләриңдә тачын морфологи хүсусијәтләри

ХҮЛАСӘ

Пахлалылар фәсиләсинә мәнсуб олан 31 чинсин 71 иөвүндә чичәйн гурулушу өјрәнилмишdir. Мүәјјән едилемишdir ки, тәкамүл просеси нәтичәсindә тачын морфологи хүсусијәтләри дөрд истигамәтдә иницишаф едир: 1) актиноморф→зәиif зигоморф→зигоморф, «кәпәнәквары» типли чичәк, 2) ләчәк формасының мүрәккәбләшмәси вә хүсусиләшмәси—јелкәнин, ганадчыгларын вә гајығчығын әмәлә кәлмәси, 3) ајры-ајры ләчәкләриң бирләшмәси вә битишмәси, 4) тач һиссәләринин азалмасы—ганадчыгларың (*Onobrychis*) вә гајығчығын (*Amorpha*) редуксијасы.

АЗЭРБАЙЧАН ССР ЕЛМЛӘР АКАДЕМИЈАСЫНЫН МӘРУЗӘЛӘРИ  
ДОКЛАДЫ АКАДЕМИИ НАУК АЗЕРБАЙДЖАНСКОЙ ССР

ТОМ XXV

№ 9

1969

МОЛЕКУЛЯРНАЯ БИОЛОГИЯ

М. И. МЕКШЕНКОВ и Р. Д. ГУСЕЙНОВ

ВЛИЯНИЕ МОДИФИКАТОРОВ АТФ-АЗЫ И МЫШЕЧНОГО СОКРАЩЕНИЯ НА ПРОЦЕСС ВНЕДРЕНИЯ ГЕНЕТИЧЕСКОГО МАТЕРИАЛА ФАГА T4 В КЛЕТКУ

(Представлено академиком АН Азербайджанской ССР А. М. Кулиевым)

Основу процесса, посредством которого достигается внедрение генетического материала Т-четных фагов в клетку, составляет мощное сократительное движение чехла хвостового отростка при его контакте с оболочкой чувствительной бактерии.

При изучении хода процесса сокращения чехла [7] выявлены следующие изменения в фаговом корпускуле: изменение формы базальной пластинки и ее нитей; оголение хвостового стержня; высвобождение лизоцимоподобного фермента, локально расщепляющего жесткий глюказаминонептидный (ГАП) слой [3,4]; внедрение хвостового стержня в глубь клеточной оболочки до цитоплазматической мембранны и выход ДНК, по-видимому, стимулируемый продуктами литического действия фагового фермента [9].

Общепринято, что *in vivo* процесс сокращения чехла носит необратимый и скачкообразный характер. Однако условие скачкообразности и полного сокращения, т. е. по схеме все или ничего, наталкивается на следующее противоречие.

Для высвобождения фагового фермента необходимо хотя бы частичное сокращение чехла [8].

Для прокола отростком клеточной оболочки до цитоплазматической мембранны необходимо только максимальное сокращение.

Считается, что для внедрения отростка нужно предварительное разрыхление жесткого ГАП-слоя лизоцимоподобным ферментом, что либо облегчает, либо является необходимым условием этого процесса.

Однако условие скачкообразности сокращения исключает взаимосвязь между действием лизоцима и прохождением отростка всех слоев бактериальной стенки. При таком условии непонятно, как отросток прокалывает жесткий ГАП-слой, который еще не разрыхлен, и когда лизоцим успел проявить свое действие, если сокращение уже произошло.

Можно предположить, что либо сокращение чехла носит скачкообразный характер, при котором сокращение инициируется только

контактом базальной пластиинки с поверхностью бактерии. Либо это многоступенчатый процесс, когда в результате контакта с клеточной стенкой происходит лишь частичное сокращение чехла. Дальнейшее сокращение инициируется в ходе внедрения отроста сквозь рыхлый слой, высвобождения фагового фермента, расщепления ГАП-слоя и достигает максимума при прохождении отроста сквозь ГАП-слой, причем условия для каждого последующего этапа сокращения должны подготавливаться предыдущими.

Так как чехол представляет сократительную структуру, обладающую АТФ-азной активностью [5], содержащую ионы  $\text{Ca}^{++}$  [10] и молекулы нуклеозидтрифосфатов, то при условии многоступенчатости сокращения можно было бы, используя вещества, влияющие на мышечное сокращение, найти метод, который позволял бы искусственно разобщать во времени стадии сокращения.

Целью работы и было нахождение такого метода. В качестве ингибитора сокращения использовался этилендиаминтетраацетат. ЭДТА не мешает адсорбции фага, но, связывая ионы  $\text{Ca}^{++}$  и подавляя таким образом АТФ-азную активность [5], предотвращает полное сокращение чехла и введение ДНК внутрь клетки [8]. В качестве стимуляторов были использованы ацетилхолин хлорид и кофеин, которые, высвобождая связанный с мышечными структурами ионы  $\text{Ca}^{++}$ , стимулируют сокращение [6].

В работе использовался фаг T4 (штамм, нуждающийся в триптофане) и бактерии *Escherichia coli* B.

Концентрат фага получали по методу Сванстрема и Адамса. После очистки осадок фага ресусцинировали и хранили на ходу в 0,3М Na-фосфатном буфере pH 7,0 с 0,001М  $\text{MgSO}_4$  и 0,001%-ной желатиной.

Титр фага определяли по числу бляшкообразующих единиц.

Для приготовления из адсорбционных сред использовали однократно перекристаллизованный  $\text{NaCl}$  и трехкратно перекристаллизованные соли  $\text{NH}_4\text{Cl}$  и  $\text{Na}_2\text{EDTA}$ . В случае  $\text{KCl}$ ,  $\text{CaCl}_2$ ,  $\text{K}_2\text{SO}_4$  и  $\text{MgSO}_4$  готовили концентрированные растворы из навесок неперекристаллизованных препаратов с расчетом последующего 20-кратного разведения при добавлении в инкубационную смесь. С таким же расчетом перед каждым опытом готовили растворы Dl-триптофана (Calbiochem) и продажного ацетилхолин хлорида, раствория навески в дистилированной воде и растворе 0,14М  $\text{NaCl}$  соответственно. 20%-ный раствор продажного кофеина в ампулах разводили 20-кратно непосредственно в пробе. Рабочие концентрации в инкубационной смеси составляли: Dl-триптофана—4  $\mu\text{M}$ , ацетилхолин хлорида—0,01М, кофеина—0,01 $\mu\text{M}$ .

Опыт проводили следующим образом. Осадок клеток, полученный после центрифугирования культуры, 3-кратно подразделяемой в МПБ до концентрации  $4-5 \times 10^8$  при  $37^\circ\text{C}$  с интенсивным встряхиванием, ресусцинировали в исходном объеме в среде, содержащей 0,2 объема свежего МПБ, 0,7 объема ЭДТА в соответствующем солевом растворе pH 7,0; 0,05 объема раствора Dl-триптофана и 0,05 объема разбавленного концентрата фага, так, чтобы получилась множественность инфекции, равная единице (фаг добавлялся только после тщательной ресусцизии осадка). Смесь инкубировали 10 мин. при  $37^\circ\text{C}$  без встряхивания. При добавлении стимуляторов и соответствующих смесей проводилась дополнительная однominутная инкубация. Затем часть смеси инкубировалась с антисыроткой 5 мин. при  $37^\circ\text{C}$  и определялось число инфекционных центров. Другая часть смеси цен-

трифицировалась 3 мин. при 6000 об/мин. и в супернатанте определяли количество свободного фага.

Таблица 1  
Одновременное действие ЭДТА и двухвалентных катионов ( $\text{Ca}^{++}$  и  $\text{Mg}^{++}$ ) на способность фага T4 инфицировать клетки *E. coli* B.

Состав адсорбционной смеси	Количество инфекционных центров $\times 10^5$	Титр остаточного фага $\times 10^5$
1а. 0,6М $\text{NaCl}$	1600	60
б. + 0,04М ЭДТА	0	-
в. + 0,02М $\text{Ca}^{++}$ + 0,02М $\text{Mg}^{++}$	0	-
2а. 0,6М $\text{NH}_4\text{Cl}$	1000	100
б. + 0,04М ЭДТА	80	-
в. + 0,02М $\text{Ca}^{++}$ + 0,02М $\text{Mg}^{++}$	1200	-
г. + 0,02М $\text{Ca}^{++}$	30	-
д. + 0,02М $\text{Mg}^{++}$	0	-

Из табл. 1 видно четкое ингибирующее действие ЭДТА в 0,6М  $\text{NaCl}$  на образование инфекционных центров, даже в избытке ионов  $\text{Ca}^{++}$  и  $\text{Mg}^{++}$  (1а, б, в). В отличие от этого в среде с  $\text{NH}_4\text{Cl}$  ионы  $\text{Ca}^{++}$  и  $\text{Mg}^{++}$  полностью блокируют действие ЭДТА (2а, б, в). Причем необходимо одновременное присутствие обоих типов ионов, поскольку они эффекта не дают (2г, д). Из этого следует, что ингибирующее действие ЭДТА не является результатом простого хелатирующего действия.

Таблица 2  
Влияние последующего добавления ионов  $\text{Ca}^{++}$  и  $\text{Mg}^{++}$  и разведения ЭДТА на бляшкообразующую способность комплекса фаг-бактерия

Состав адсорбционной смеси	Смеси, добавленные после 10 мин инкубации	Количество инфекционных центров $\times 10^5$	Титр остаточного фага $\times 10^5$
0,2М $\text{NH}_4\text{Cl}$		2000	20
+ 0,05М ЭДТА		50	70
+ разведение в 20 раз в 0,2М $\text{NH}_4\text{Cl}$ + 20% МПБ		45	70
+ разведение в 20 раз в 0,2М $\text{NH}_4\text{Cl}$ + 20% МПБ + 0,02М $\text{Ca}^{++}$ + 0,02М $\text{Mg}^{++}$		50	100

Из табл. 2 видно, что двадцатикратное разведение инкубационной смеси средой, не содержащей ЭДТА, не приводит к увеличению числа инфекционных центров, независимо от того, присутствуют или нет в среде для разведения ионы  $\text{Ca}^{++}$  и  $\text{Mg}^{++}$  (концентрация ЭДТА 0,00025  $\mu$ , получаемая при разведении, сама по себе не оказывала ингибирующего действия на инфекцию). Из этих данных следует, что ингибирующее действие ЭДТА является необратимым.

Однако, как показали опыты с применением стимулирующих смесей, содержащих ацетилхолин хлорид и кофеин, необратимость ингибирующего действия ЭДТА является условной. Действительно, из табл. 3 видно, что дополнительная однominутная инкубация комплекса

Таблица 3

Стимулирующее действие кофеина (КОФ) и ацетилхолина хлорида (АХ.) на бляшкообразующую способность комплекса фаг-бактерия

Состав адсорбционной смеси	Смеси, добавленные после 10 мин инкубации	Количество инфекционных центров $\times 10^5$	Титр остаточного фага $\times 10^5$
1а. 0,2М NH <sub>4</sub> Cl		1600	60
б. . +0,005М ЭДТА		10	100
в. . + .	0,02М Ca <sup>++</sup> + 0,02М Mg <sup>++</sup>	100	.
г. . + .	КОФ	10	.
д. . + .	КОФ + 0,02М Ca <sup>++</sup> + 0,02М Mg <sup>++</sup>	350	.
е. . + .	АХ.	10	60
ж. . + .	АХ. + 0,02М Ca <sup>++</sup> + 0,02М Mg <sup>++</sup>	170	.
з. . + .	0,02М Ca <sup>++</sup> + 0,02М Mg <sup>++</sup> + 0,1М K <sub>2</sub> SO <sub>4</sub> + 0,005М KCl	400	.
к. . + .	АХ + 0,02М Ca <sup>++</sup> + 0,02М Mg <sup>++</sup> + 0,1М K <sub>2</sub> SO <sub>4</sub> + 0,005М KCl	600	.
2а. 0,2М KCl		1800	150
б. . +0,005М ЭДТА		40	.
в. . + .	0,02М Ca <sup>++</sup> + 0,02М Mg <sup>++</sup>	150	.
г. . + .	КОФ + 0,02М Ca <sup>++</sup> + 0,02М Mg <sup>++</sup>	510	.
д. . + .	0,02М Ca <sup>++</sup> + 0,02М Mg <sup>++</sup> + 0,1М K <sub>2</sub> SO <sub>4</sub> + 0,005М KCl	160	.
е. . + .	АХ + 0,02М Ca <sup>++</sup> + 0,02М Mg <sup>++</sup> + 0,1М K <sub>2</sub> SO <sub>4</sub> + 0,005М KCl	700	.

фаг-бактерия, полученного в среде с ЭДТА, кофеином в обязательном сочетании с ионами Ca<sup>++</sup> и Mg<sup>++</sup> восстанавливает бляшкообразующую способность комплексов фаг-бактерия до 20% в среде с 0,2М NH<sub>4</sub>Cl и до 30% в среде с KCl (1д, 2г). В отличие от кофеина ацетилхолин хлорид, помимо присутствия ионов Ca<sup>++</sup> и Mg<sup>++</sup>, требует компонентов рерингеревской среды K<sub>2</sub>SO<sub>4</sub> и KCl. При этом он восстанавливает бляшкообразующую способность 35% комплексов фаг-бактерия—ЭДТА в среде с 0,2М NH<sub>4</sub>Cl и около 40% в случае 0,2М KCl.

Таким образом, из данных следует, что необратимое ингибирование фаговой инфекции ЭДТА снимается стимуляторами мышечного сокращения в комбинации с разными ионами.

Известно, что в присутствии ЭДТА наблюдается частичное сокращение чехла адсорбированного фага, которое, однако, недостаточно для проявления действия лизоцимоподобного фермента [2] и внедрения ДНК. Тот факт, что отмыка ЭДТА не восстанавливает бляшкообразующую способность комплекса фаг-бактерия, указывает на необратимые изменения, которые либо нарушают сократительную функцию чехла, либо эта функция оказывается разобщенной с пусковым механизмом сокращения. Тогда действие кофеина и ацетилхолина—стимуляторов мышечного сокращения—сводится к иницииции дальнейшего сокращения.

Таким образом процесс инфицирования в условиях описанных опытов проходит через две различные по природе фазы сокращения чехла: первая идет в условиях угнетения АТФ-азной активности, вторая начинается лишь при ее восстановлении.

На основании сказанного выше можно выдвинуть предположение, что и в норме начальная стадия инфекции проходит через две следующие друг за другом фазы сокращения хвостового чехла. Первая

фаза запускается, возможно, в результате контакта зубцов базальной пластины с оболочкой и подготавливает условия для второй, которая начинается и развивается с участием реакции клеточной оболочки при воздействии лизического фермента фага на глюкозаминопептидный слой.

Институт общей генетики АН СССР

Поступило 8. IV 1969

## ЛИТЕРАТУРА

1. Адамс М. Бактериофагии. Л. М., 1961.
2. Гершанович В. Н., Альдеева И. В., Бурд Г. И., Зуев В. А. Влияние ионов Mg<sup>++</sup>, спермина и ЭДТА на синтез β-галактоидазы и жизнеспособность клеток *E. coli* B, обработанных "теними". *T2*. Микробиология, 35, 132, 1966.
3. Barrington L. F. Kozloff L. M. Action of bacteriophage on isolated host cell walls. *J. Biol. Chem.*, 223, 615, 1956.
4. Barrington L. E., Kozloff L. M. Action of T2r bacteriophage on the host-cell membranes. *Sci.* 120, 110, 1956.
5. Dukes P. P., Kozloff L. M. Phosphatases in bacteriophage T2, T4 and T5. *J. Biol. Chem.*, 234, 531, 1959.
6. Frank Gr. B. Evidence for an essential role for calcium in excitation-contraction coupling in skeletal muscle. *Proc. Roy. Soc. Ser. B*, 160, 501, 1960.
7. Kellenberger E., Arber W. Die Struktur des schwanzes des phagen T2 und T4 und des Mechanismus der irreversiblen Adsorption. *Z. Naturforsch.* 10b, 698, 1955.
8. Kozloff L. M., Lute M. Action of complexes of the zinc group metals of the tail protein of bacteriophage T2r+. *Nature*, 176, 1169, 1955.
9. Kozloff L. M., Lute M. Viral invasion III. The release of viral nucleic acid from its protein covering. *J. Biol. Chem.*, 228, 537, 1957.

М. И. Мекшеников, Р. Д. Ыүсеинов

T4 фаг кинетик материалынын һүчөрәјэ дахилолма просесинә атфаз модификаторлары вә әзәлә һәрәкәтинин тә'сирі

## ХУЛАСЭ

Гысалдычы аппаратын гүргүр һиссәсийнин һүчөрә габығы илә гарышлыглы әлагәсийнин функционал үйүсүсүйәтләрини айынлаштырмаг учун әзәлә һәрәкәтинин иикибитор вә стимулаторларынын T4 фаглы *E. coli* B. бактеријасы инфексијасынын башланғыч дөврүнә тә'сир ие жәрәнилмешdir.

Мүәյжән едилмишdir ки, ЕДТА ииширакы илә һүчөрәләри јашамаг, габилийәтинә малик олан комплекс фаг бактерија инфексија мәркәзи әмәлә кәтиримир.

Тәркибинде Ca<sup>++</sup> вә Mg<sup>++</sup> ионларына малик кофеини, еләчә дә һәмин ионлар олан рицкеров мәһлүлүү вә ацетилхолин гарышыбында көстәрилән комплексләр 37° температурда бир дәгигә мүддәтиндә 40%-ә гәдәр инфексија мәркәзи хассасини дашијыр вә фаг элејине зәрдаба гарышы һәссаслыгыны итирир.

Һүчөрә габығынын ЕДТА ииширакы илә фаг чыхынтысы өртүү һәрәкәти илә гарышлыглы тә'сирләринә һәср олуимуш әдәбијјат мә'луматларына вә алдыгымыз иетиңеләре әсасын күман едилдири, T4 фагы инфексијасы башланғыч мәрхәләсі ики бир-бириндән фәргләнән өртүк гысалмасы фазасы кечирир.

ГЕНЕТИКА

М. А. АЛИ-ЗАДЕ. Э. М. АХУНДОВА

## ИЗМЕНЕНИЕ СОДЕРЖАНИЯ ДНК В СОМАТИЧЕСКОЙ КЛЕТКЕ И ХРОМОСОМЕ У ПОЛИПЛОИДНЫХ ФОРМ ШЕЛКОВИЦЫ

Род *Morus*, L. (шелковица) отличается многообразием генетических форм, резко различающихся по хромосомному набору. Хотя огромное большинство их относится к диплоидным формам ( $2n=28$ ), в природных условиях обнаружены триплоидные ( $3n=42$ ), тетраплоидные ( $4n=56$ ) и высокоплоидные ( $22n=308$ ) формы. В институте генетики и селекции акад. И. К. Абдуллаевым экспериментально получены промежуточные хромосомные формы между 28 и 308.

Путем гибридизации и воздействием колхицина в настоящее время экспериментально созданы 42, 56, 70, 84, 96, 112, 168, 182, 238 и другие формы полиплоидной шелковицы. Установлено, что увеличение числа хромосом до тетраплоидного уровня не вызывает морфологических изменений хромосомного набора. Дальнейшее увеличение плотности приводит к постепенному уменьшению размеров крупных хромосом. У 168, 182 и 308 хромосомных форм все хромосомы становятся значительно мелкими и почти однородными [1,2].

Наряду с установлением морфологических изменений в хромосомах в связи с кратным увеличением их числа в клетке и изменениями, возникшими в размере этих хромосом, большой интерес представляет изучение судьбы основного генетического вещества — ДНК. Это тем более важно установить, так как у многих генетиков сложилось неправильное представление о содержании ДНК в клетках в процессе полиплоидизации. Эти представления сводятся к тому, что при кратном увеличении числа хромосом в клетке имеет место пропорциональное увеличение количества ДНК. В качестве примера можно привести утверждения И. Гершковича в книге "Генетика" о том, что в полиплоидных клетках наблюдается пропорционально плюндности увеличение количества ДНК [3].

Мы задались целью проследить изменения в содержании ДНК у разнохромосомных полиплоидных форм шелковицы. Для исследования были взяты как крайние 28 и 308 хромосомные формы, так и промежуточные три- и тетраплоидные формы.

В качестве диплоида был взят местный сорт Джир-тут, в качестве триплоида — естественно полученные Ханлар-тут и Таджикская бессе-

мияная, в качестве тетраплоидов естественно полученный Тегеран-тут и экспериментально полученные АзТ 58-4, АзТ 58-10, в качестве многоплоидных — Хар-тут. Для исследования содержания ДНК с половозрастных деревьев, выращенных на плантациях Карабахской экспериментальной базы Института генетики и селекции, брались молодые, но вполне сформировавшиеся листья. Содержание ДНК определялось по методу Нимана и Поулсена [4]. Пересчет показателей ДНК на клетку производился путем подсчета клеток на единицу веса листа. С этой целью во время взятия проб для анализов из листьев брали пробочным сверлом диски. Часть этих дисков фиксировали в спирту для дальнейшей макерации и подсчета клеток, а другую часть после фиксации высушивали и таким образом устанавливали количество сухого вещества в одной высечке. Макерацию проводили следующим образом: высечки из листьев опускали в 10%-ный раствор хромовой кислоты на 24 ч, после чего подсчитывали число клеток на единицу объема. Подсчет клеток проводили на счетной камере Фукса—Розенталя. Зная сухой вес одного кружка и число клеток в нем, можно было установить количество клеток на единицу сухого веса листа.

Пересчет данных ДНК на одну хромосому производился путем деления показателей одной клетки на соответствующее число хромосом. При этом имелось в виду, что основная масса ДНК клетки сосредоточена в ядре, в хромосомах и, что погрешности, которые могут быть благодаря игнорированию содержания ДНК в небольшом количестве в других органеллах клетки являются общими для всех изученных нами форм шелковицы.

### Содержание ДНК в листьях диплоидной и полиплоидной форм шелковицы

Сорта	Плоидность (X)	Число хромосом (2n)	Мг% на сухое вещество	На одну клетку, $10^{-12}$	На одну хромосому, $10^{-14}$
Джир-тут	2 X	28	208,0	0,729	2,60
Ханлар-тут	3 X	42	199,0	1,103	2,61
Таджикская					
Бессемянная	3 X	42	214,3	1,141	2,71
Тегеран-тут	4 X	56	129,2	1,500	2,67
АзТ 58-4	4 X	56	243,7	1,424	2,90
АзТ 50-10	4 X	56	388,0	1,530	2,70
Хар-тут	22 X	308	283,0	2,810	0,91

Из приведенных в таблице данных видно, что показатели относительного содержания ДНК (мг% на сухое вещество) не являются характерными для решения поставленной нами задачи. Так, например, по этим данным, в листьях диплоидной шелковицы содержание ДНК больше, чем в листьях тетраплоидной формы.

Более реальная картина наблюдается при рассмотрении данных на клеточном и хромосомном уровнях.

Оказалось, что у различных полиплоидов при увеличении числа хромосом до триплоидного уровня, абсолютное содержание ДНК в клетке увеличивается в 1,5 раза, а при двукратном увеличении числа хромосом (тетраплоиды) содержание ДНК увеличивается в два раза. При этом, содержание ДНК на одну хромосому остается на одном уровне.

На одну хромосому ди-, три- и тетраплоидной форм приходится  $2,61 - 2,90 \cdot 10^{-14}$  г ДНК.

Как видно из приведенных в таблице данных у 308 хромосомной шелковицы при одиннадцатикратном увеличении числа хромосом, содержание ДНК на одну клетку увеличивается менее, чем в 4 раза.

При этом, по сравнению с диплоидной формой количество ДНК на одну хромосому уменьшается в три раза.

Эти данные свидетельствуют о том, что в процессе эволюции род *Morus L.* претерпевает коренные изменения, приводящие к 3-хкратному снижению содержания ДНК в хромосоме у 308 хромосомной формы.

Это представляет большой теоретический интерес и требует своего разъяснения. Начиная с гексаплоидного уровня при строгом сохранении закономерностей по числу хромосом резко нарушаются закономерности по массе и размерам хромосом [1,2].

Как видно, у триплоидов и у тетраплоидов имеет место кратное увеличение количества ДНК на одну клетку в соответствии с числом хромосом. Это согласуется с общей теорией образования полиплоидных форм. Но данная теория не объясняет причину возникновения высокоплоидных форм (гекса и выше), так как при этом уменьшаются размеры хромосом и как мы видели на примере 22 полиплоидной формы, показатели ДНК на одну клетку увеличиваются только в 4 раза и резко снижается содержание ДНК в одной хромосоме.

### Выводы

В полиплоидных клетках шелковицы наблюдается пропорционально пloidности увеличение ДНК до тетраплоидного уровня. При этом количество ДНК на хромосому остается постоянным. Дальнейшее увеличение пloidности приводит к размельчению хромосом, не пропорциональному увеличению количества ДНК в одной клетке.

В высокоплоидных клетках ( $2n=308$ ) количество ДНК по сравнению с диплоидами ( $2n=28$ ) увеличивается в 4 раза, а количество ДНК на одну хромосому уменьшается в три раза.

### ЛИТЕРАТУРА

1. Абдуллаев И. К. Полиплоидный ряд в роде *Morus L.* и некоторые вопросы формо- и видообразования. ДАН Азерб. ССР, т. XXI, № 11, 59, 1965.
2. Раджа би С. И. Цитологическое изучение шелковицы. Экспериментальная полипloidия в селекции растений. Изд-во "Наука". Сибирское отделение, Новосибирск 216—233, 1966.
3. Гершкович И. Генетика. Изд-во "Наука", 1968.
4. Nieman R. H. a Poulsen L. L. Spectrophotometric estimation of nucleic acid of plant leaves Plant Physiology 38, №1, 31—55, 1963.

Институт генетики и селекции

Поступило 15. VIII. 1969

М. А. Элизадэ, Е. М. Ахундова

Тут биткиси (*Morus L.*) полиплоид формаларынын  
соматик һүчејрәләри вә хромосомларында  
ДНТ туршууларынын дәжишилмәси

### ХУЛАСӘ

Тәдгигатларда тут биткисини ди-, три-, тетраплоид вә чохиплоид ( $2n=308$ ) формаларында ДНТ-ни тутуму өјрәнилмишdir. Нуклеин туршууларынын иисби тутуму Ниман вә Пoulson (1963) үсүлү илэ

тә'ян едилмишdir. Јарнаг материалынын бир чеки вайидинә дүшән һүчејрәләринин саýна көрә вә бурадан бир һүчејрәјә дүшән нуклеин туршууларынын тутуму тә'ян олуимушдур. Бир һүчејрәнин көстәричиси пloidlijә көрә хромосом саýна бөлүмушдур Беләликлә, мүэjjән едилмишdir ки, триплоид формаларда бир һүчејрәјә дүшән исә 2 дәфә артмышдыр. Бурада бир хромосома дүшән ДНТ-ни мигдары сабит галмыш олур. Лакин тут биткисинии 308 хромосомлу формаларында бир һүчејрә вайидинә дүшән ДНТ-ни мигдары 4 дәфә артдығы налда, бир хромосома көрә һәмни көстәричи 3 дәфә (диплоиде иисбәтән) азалыр.

ФИЗИОЛОГИЯ

Г. Г. ГАСАНОВ и Ш. Г. ВЕЛИЕВ

ВЛИЯНИЕ ВИСЦЕРОМЕХАНИЧЕСКОГО РАЗДРАЖЕНИЯ  
НА ВЫДЕЛЕНИЕ УРОПЕСПИНА

(Представлено академиком АН Азербайджанской ССР Д. Ю. Гусейновым)

В настоящее время одним из актуальных вопросов физиологии пищеварения является изучение проблемы выделения уропепсина, который привлекает к себе внимание как отечественных, так и зарубежных исследований. Разнообразные аспекты этого вопроса изучались многочисленными методами, и полученные факты истолковывались с различных позиций. Поэтому на данном этапе накопленный огромный фактический материал не позволяет сформулировать определенную точку зрения о биологическом значении этого процесса и механизмах его регуляции. Вместе с тем углубление и расширение исследований, посвященных изучению проблемы выделения уропепсина и механизмов этих сложнейших нейро-гуморальных процессов, протекающих в организме человека и животных, вскрывают новые вопросы, требующие разрешения.

Многочисленными клиническими исследованиями установлено (Идельсон, 1958; Симбирцева, 1959; Карнаухов, 1959; Грэгор, 1959; Nadeau, 1956; Nyhus, 1957 и др.), что при обширных поражениях слизистой оболочки желудка и его резекциях, болезни Адисона—Бирмера, раке желудочно-кишечного тракта, атрофическом гастрите выделение уропепсина снижается и может также наблюдаться его полное отсутствие. Однако в экспериментальных работах В. Л. Петренко (1963) и И. П. Смирнова (1962) показано, что под влиянием различных пищевых раздражителей повышается выделение уропепсина. Аналогичные факты были получены также при язвенной болезни 12-перстной кишки (Васильев, Куленко и Кузнецова, 1960; Ищенко и Иванова, 1960, и др.).

Среди работ по физиологии интероцептивной анализаторной системы оригинальное направление развивается в работах физиологов Азербайджана (Караев, 1957, Гасанов, 1957, 1967, 1968 и др.). Эти работы посвящены изучению влияния рецепторов внутренних органов на обмен веществ. Установлено, что одним из регулирующих обмен веществ факторов являются импульсы, поступающие в центральную нервную систему с различных рефлексогенных полей внутренних органов. Специальными экспериментами показано, что величина и

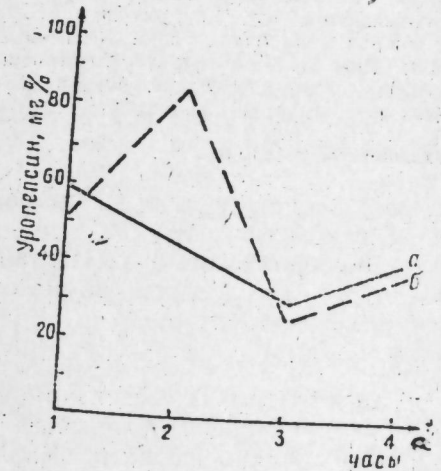
характер интероцептивных обменных рефлексов находятся в строгой зависимости от функционального состояния вегетативной нервной системы и от особенностей ее взаимоотношений с высшим отделом центральной нервной системы, в частности, с различными полями коры головного мозга (Гасанов, 1958, 1967, 1968; Дадашев, 1968, Караев и Логинов, 1960).

Следует отметить, что в регуляции выделения уропепсина, очевидно, весьма важное значение имеет изменение функционального состояния внутренних анализаторных систем. Поэтому в нашу задачу входило изучить влияние интероцептивного раздражения прямой кишки на выделение уропепсина. Изучение этого вопроса даст возможность выяснить механизмы, лежащие в основе регуляции уропепсина выделения в условиях висцеральных афферентных сигнализаций.

**Методика.** Опыты проводились в хронических условиях на 5 собаках-самках весом 14–16 кг, у которых выведены мочеточники (по методу Орбели). У всех подопытных животных раны зажили первично. Подопытные животные к лабораторным условиям адаптировались в течение 15 дней. Для проведения опыта собак держали в состоянии голода спустя 23–24 часа после последнего кормления. Опыты всегда проводились в утренние часы (в течение 4 часов). Для раздражения рецепторов прямой кишки применялось давление в 80–100 мм рт. ст. в течение 3 минут. Моча для определения содержания уропепсина бралась до раздражения (в течение одного часа), а затем через каждый час в течение 3 часов после раздражения. Уропепсин в моче определялся по методу В. Н. Туголукова (1969).

Результаты исследований и их обсуждение. У интактных собак (натощак) до раздражения рецепторов прямой кишки в течение 4 часов происходило колебание выделения уровня уропепсина. Эти факты согласуются с данными некоторых авторов (Коротко, 1962; Грэгор, 1959, и др.), указывающих на колебания уровня выделения уропепсина. Вместе с тем следует отметить, что выделение уропепсина у собак натощак в различные дни происходит неравномерно (рис., а). Поэтому в наших опытах изучение влияния интероцептивного раздражения прямой кишки на выделение уропепсина за один час до раздражения считалось фоном.

Висцеро-механическое раздражение рецепторов прямой кишки оказывает выраженное влияние на выделение уропепсина в моче (рис., б). При этом интероцептивное раздражение вызывает статистически достоверные повышения содержания уровня уропепсина за один час на  $86,2 \pm 1,9 \text{ мкг\%}$  ( $P < 0,001$ ). Увеличение количества уропепсина после раздражения достигает максимального уровня лишь в течение одного часа, а затем во второй час выделение его в моче уменьшается и находится ниже исходного уровня. В течение третьего часа опыта наблюдается незначительное повышение содержания уропепсина, не доходящее до исходной величины.



Динамика изменения содержания уропепсина до (а) и после (б) интероцептивного раздражения.

Известно, что импульсы, возникающие при раздражении интерорецепторов, реализуются через симпатические и парасимпатические нервы посредством высших отделов центральной нервной системы. Следовательно, блуждающие нервы участвуют в стимуляции секреторного процесса. Работами Гласса (Glass, 1955) показано, что блуждающие нервы усиливают деятельность главных клеток.

Увеличение выделения уропепсина, по-видимому, можно объяснить результатом усиления деятельности главных клеток железистого аппарата желудка при висцеральном интероцептивном раздражении. Повышение содержания уропепсина в составе мочи при интероцептивном воздействии, очевидно, является результатом большого выхода пепсиногена в кровь. Эти факты согласуются с данными Г. Ф. Коротко (1962), Н. М. Spiro, A. E. Ryan, C. M. Jones (1955) и B. Hirschowitz (1955).

Таким образом, по нашему мнению, регуляция выделения уропепсина в моче во многом зависит от изменения функционального состояния внутренних анализаторных систем.

#### ЛИТЕРАТУРА

1. Васильев Л. И., Кулеко Э. М., Кузнецова Н. Я. Определение уропепсина у страдающих желудочно-кишечными заболеваниями. Каз. мед. ж., № 6, 1960.
2. Гасанов Г. Г. Роль лимбической коры головного мозга в интероцептивных безусловных гликемических рефлексах с желудка. Сб. исслед. аппарат. сигнализации. АН СССР, Л., 1967.
3. Грэгор Отто. Об уропепсине (статья из Праги). Клини. мед., т. 37, 2, 1959.
4. Ищенко И. К., Иванова О. С. О диагностической ценности определения уропепсина при язвенной болезни желудка и 12-перстной кишки в молодом возрасте. Каз. мед. ж., № 6, 1960.
5. Караваев А. И., Логинов А. А. Интероцептивные объемные рефлексы. 1960.
6. Коротко Г. Ф. Желудочная секреция и выделение уропепсина в условиях высокой температуры. Сб. научных трудов Азербайджанского гос. мед. ин-та, т. III, 1962.
7. Туголуков В. Н. Определение пепсина в желудочном соке и пепсиногена в моче одним методом. "Лаб. дело", № 3, 1962.
8. Nadeau G. Pepsinuria in gastroduodenal disorders. Canad. Med. Assoc. S., 74, 1, 28, 1956.
9. Nyhus L. M. Uropepsin excretion to duodenal ulcer disease in diagnosis and therapy. Surgery, 41, 3, 406, 1957.

Институт физиологии

Поступило 14. III 1969

Н. Н. Насиров, Ш. Г. Валиев

#### Виссеромеханики гычыгланымынын уропепсинин ифраз олунмасына тә'сири

#### ХУЛАС

Тәдгигатымызда эсас мәгсәд уропепсин ифразынын тәнзиминде дахили орган рецепторларынын ролуну мүәјҗәиләштирмәк иди. Тәч-рубәләр хроники шәрайтә сидик ахарлары гарын бошулуғу нағыләсіндә дәријә тикилміш 5 ит үзәриндә апарылмышдыр. Сидикдә уропепсин В. Н. Туголуков методу илә тә'жін олунмушудур.

Дәлилләр көстәрмишdir ки, дүзбағырсаг рецепторларынын 3 дәг мүддәтиндә 80—100 мм чв. ст. бәрабәр тәзіңглә гычыгланымынын сидикдә уропепсин ифразынын (1-чи saatda) хејли мигдарда артмасына сәбәб олур.

Тәдгигатларын нәтижесіндән мүәјҗән едилмишdir ки, уропепсин ифразынын тәнзиминде дахили орган рецепторларынын функционал вәзијәттің дәйшилмәсі мүһум рол ојнајыр.

АЗЭРБАЙЧАН ССР ЕЛМЛӘР АКАДЕМИЯСЫНЫН МӘРҮЗӘЛӘРИ

ДОКЛАДЫ АКАДЕМИИ НАУК АЗЕРБАЙДЖАНСКОГО ССР

ТОМ XXV

№ 9

1969

#### ЦИТОЛОГИЯ И ЭМБРИОЛОГИЯ

#### Г. М. РАСИ-ЗАДЕ

#### ИЗУЧЕНИЕ СТЕРИЛЬНОСТИ ЗАРОДЫШЕВОГО МЕШКА У СЕМЯННЫХ И БЕССЕМЯННЫХ СОРТОВ ВИНОГРАДА

(Представлено академиком АН Азербайджанской ССР И. К. Абдуллаевым)

Изучением стерильности зародышевого мешка у растений, в том числе у винограда, занимался ряд ученых: П. А. Баранов [1] в Узбекской ССР, Е. Н. Великанова [2] в Мишуринске, М. И. Иванова-Паройская [3,4] в Узбекской ССР, М. Лазаревский [5] в Ленинграде, Г. В. Ткаченко [6, 7, 8] в Ужгороде и Н. А. Попова [9] в Молдавии.

Однако процесс женской стерильности у семянных и бессемянных сортов винограда в Азербайджане не изучен.

Для изучения стерильности и fertилности завязей были взяты образцы 100 бутонов (2–3 мм). Фиксировали обоеполые цветки в смеси Карнина (6:3:1). Постоянные препараты окрашивали по методу Унина и гематоксилином по Гайденгайну с подкраской лихт-грюном. Толщина микротомных срезов 14–16 μ. Наблюдения под микроскопом проводились при акулярах 10,20 и объективах 40,90.

Приготовление постоянных препаратов и просмотр их проводились в лаборатории цитологии и эмбриологии в Институте генетики и селекции МСХ Азербайджанской ССР (1967).

Стерильность зародышевого мешка мы изучали на шести сортах виноградов: трех семянных (Баян Ширей, Тавриз, Хидогны) и трех бессемянных (Кырмызы кишмиш, Аг кишмиш, Каракишмиш). Результаты исследований показаны в табл. 1 и 2.

Из табл. 1 видно, что у всех проверенных нами семянных сортов винограда как в ранней, так и в поздней стадиях развития завязей подавляющее число зародышевых мешков являлись fertильными (92–95%) и лишь отдельные зародышевые мешки (5–8%) оказались стерильными. Сравнительно большое число стерильных зародышевых мешков отмечено в ранней стадии развития завязи у сорта Баян Ширей (7,55%), а в поздней стадии развития завязи — у сорта Хидогны. Наибольшее число стерильных зародышевых мешков как в ранней, так и в поздней стадиях развития завязи оказалось у сорта Тавриз (8,33–7,83%).

Из данных, показанных в табл. 2, видно, что у подопытных бессемянных сортов винограда в ранней стадии развития завязи количество стерильных зародышевых мешков в несколько раз больше, чем у

Таблица 1

Стерильность и фертильность зародышевых мешков у семянных сортов

Показатели	У семянных сортов					
	Баян ширей		Тавриз		Хидогны	
	В абр. числах	В %	В абр. числах	В %	В абр. числах	В %
Общее число зародышевых мешков в ранней стадии развития	79	100	60	100	72	100
В том числе: фертильных	73	92,45	55	91,67	68	94,34
стерильных	6	7,55	5	8,33	4	5,66
Общее число зародышевых мешков в поздней стадии развития	94	100	92	100	93	100
В том числе: фертильных	88	93,62	83	92,17	86	92,46
стерильных	6	6,38	9	7,83	7	7,54

Таблица 2

Стерильность и фертильность зародышевых мешков у бессемянных сортов

Показатели	У бессемянных сортов					
	Кырмызы кишмиш		Кара кишмиш		Аг кишмиш	
	В абр. числах	В %	В абр. числах	В %	В абр. числах	В %
Общее число зародышевых мешков в ранней стадии развития	84	100	51	100	60	100
В том числе: фертильных	60	71,49	44	86,27	49	81,66
стерильных	24	28,51	7	13,73	11	18,34
Общее число зародышевых мешков в поздней стадии развития	382	100	671	100	283	100
В том числе: фертильных	17	4,44	15	2,24	19	6,71
стерильных	365	95,56	656	97,76	264	93,29

приведенных в табл. 1 семянных сортов винограда (14—28,51%). Число стерильных зародышевых мешков у бессемянных сортов винограда резко увеличивается в поздней стадии развития завязи и доходит до 93,29% у сорта Аг кишмиш, до 95,56% у сорта Кырмызы кишмиш и до 97,76% у сорта Кара кишмиш.

Резюмируя результаты наших исследований, можно сделать следующие выводы:

1. У семянных сортов винограда отсутствует полная фертильность зародышевых мешков, так же как полная стерильность их у бессемянных сортов винограда.

2. У семянных сортов винограда как в ранней, так и в поздней стадиях развития завязи стерильность зародышевых мешков выражена слабо (6—8%), тогда как у бессемянных сортов в ранней стадии развития завязей она усиливается (14—28,51%) и доходит до 93,29% в поздней стадии развития завязи.

3. Бессемянность у сортов винограда Аг кишмиш, Кырмызы кишмиш и Кара кишмиш обусловливается почти полной стерильностью зародышевых мешков в поздней стадии развития завязи.

## ЛИТЕРАТУРА

- Баранов П. Истинный женский цветок винограда. Морфолого-эмбриологический очерк. Труды АК—Кавказской оп. оросит. ст., вып. 4, 1927, стр. 119—137, Ташкент.
- Великанова Е. Н. Причина бессемянности у некоторых плодово-ягодных растений. Труды Центр. ген. лабор. им. И. В. Мичуриня, 1937. 3. Иванова-Паройская М. И. Стерильность пыльцы среднеазиатских "женских" сортов винограда. Труды по прикл. ботан., ген. и сел., 1930, № 1. 4. Иванова-Парастит, ресурсов, вып. 10. Ташкент, Изд-во Комитета наук Уз. ССР, 1938. 5. Лазатеевский М. Эмбриологические предпосылки опыления цветка у виноградного сорта Шасла-Грокулир. Труды по прикл. ботан., ген. и сел., серия VIII, № 2, 1934. В. Ткаченко Г. В. Изменение элементов зародышевого мешка винограда при разных способах опыления. Научн. докл. высш. школы, биол. науки, № 4, 1958. 7. Ткаченко Г. В. Рост пыльцевых трубок и избирательность оплодотворения у винограда. Научн. докл. высш. школы, биол. науки, № 2, 1959. 8. Ткаченко Г. В. 1961. Некоторые данные о процессе оплодотворения у винограда. В кн.: "Морфогенез растений". 2. М., 1961. 9. Попова Н. А. О первых фазах эмбриогенеза у винограда. "Садоводство, виноградарство и виноделие Молдавии", 1956, № 5. Институт генетики и секции

Поступило 8. III 1968

К. М. Расизадэ

## Тохумлу вә тохумсуз сорт үзүмләри рүшејм кисәләриндә стериллilikтөө өјрәнилмәси

## ХУЛАСЭ

Тохумлу вә тохумсуз сорт үзүмләри рүшејм кисәләриндә стериллilikтөө өјрәнилмәк үчүн тәчтүбәләр апарылыштыр.

Ситоложи тәдгигатларының иәтичәси көстәрмишdir ки, тохумлу вә тохумсуз сорт үзүмләри рүшејм кисәләриндә јүз фаза стериллilikтөө үчүн мүшәнидә олунмамыштыр. Јүксәк фаза стериллilikтөө тохумлу сорт үзүмләрдән Тәбәризин рүшејм кисәләриндә 8,33 вә тохумсуз сорт үзүмләрдән Гырмызы кишмишләрдә 95,56% олмушудур.

ДИЛ ТАРИХИ

Т. Э. ЭЛЭСКЭРОВА

АЗЭРБАЙЧАН АЛИМИ ЭБДҮЛКЭРИМ ИРЭВАНИ ТЭБРИЗИНИН  
ЭЛЈАЗМАСЫ ҺАГГЫНДА

(Азэрбајҹан ССР ЕА академики Э. Э. Элизадэ төгдим етмишдир)

XIX эсрдэ јашамыш, фарс дилинин тэдриг вэ тэдгиги сајесиндэ дэјэрли ишлэр көрмүш Азэрбајҹан алимләриндэн бири һачы Эбдүлкэrim ibn-Эбүлгасим Ирэвани Тэбризи. Дөврүнүн савадлы адамларындан сајылан Эбдүлкэrim Ирэвани Тэбризи „Моллабашы“ ады илэ мәшһүр олмуш, мүэллимлеклэ бәрабәр, эдәбијјат вэ дилчилүй илд гијмәтли эсәрләр јазмышдыр. Бә’зи мәнбәләрдә верилән гыса мә’лумат нәзәрә алынимазса, индије гәдәр онун һәјаты, йарадычылығы, эсәрләри елми “нәгтєи-нәзәриндән тәһлил едилб, кениш охучу күтләсинә тәгдим едилмәшишдир.”

Азэрбајҹан алими Мәһәммәд Эли Тәрбијэт „Данешмәндән Азэрбајҹан“ китабында јазмышдыр ки, Моллабашы һачы Мирзә Эбдүлкэrim Ирэвани Азэрбајҹанын фүзэла вэ алимләриндән олуб, һичри 1224-чу илдэ (1877) Тэбриздә вәфат етмишдир.<sup>1</sup>

Мәшһүр енциклопедист Эли Экбәр Деңхуданын „لُغَةِ تَنَاهِيَّةٍ“<sup>2</sup> («قواعد صرف و نحو زبان فارسي») јазылан мүгәддимәдә Иран алими Җәмаләддин Һумаји XIII эср һичридэ (XIX эср) јазылан грамматика китаблары ичәрисиндэ Эбдүлкэrim ibn-Эбүлгасим Ирэванинин фарси<sup>3</sup> (фарс дилинин морфологијасы вэ синтаксиси) эсәрини хүсусилә гејд едир.

Нәһајэт, Мәһәммәд Мәһсүн Шејх Ага Бозорк Төһрани Эз-Зәриә<sup>4</sup> эсәринин 8-чи чилдиндэ көстәрмишдир ки, Эбдүлкэrim ibn-Эбүлгасим Эл-Ирэвани Тәбризи Моллабашы „Гәваеде сәрф вэ нәиже зәбане фарси“<sup>5</sup> вэ „Мүхтәсәр Әруز“ адлы елми китабларын мүэллифидир<sup>6</sup>.

محمد على تربیت. دانشمندان آذربایجان، تهران، ۱۳۱۴، ص ۳۵۸  
جمال الدين همائي «دستور ربان فارسي» از مقدمه لغتنامه على  
اکبر دھخدا ۱۳۲۴ هجری شمسی، زیر نظر دکتر محمد معین،  
شماره مسلسل ۴۰ ص ۱۳۰  
محمد محسن الشهير بالشيخ اغا بزرگ الطهراني نزيل النجف،  
الربيعه، الجز الثامن، ۱۳۲۹، ص ۱۰۷

Һаггында данишылан мүэллифләр тәэссүф ки, Эбдүлкэrim Ирэвани Тэбризинин „Гәваеде сәрф вэ нәиже зәбане фарси“ эсәринин адьны чәкмәклә кифајәтләниш, онун мәзмуну, әһәмијәти, мүэллифин фарс дилчилүй сајесиндәки гијмәтли фикирләри һаггында һеч бир сөз сөләмәмишләр. Буна көрә дә, бу мәгаләдә гејд едиләнләр һәмин әсәр һаггында илк мә’лumat ҳарактәрини дашијыр.

Эбдүлкэrim Ирэванинин фарс дилинин сәрф вэ нәиже гајдаларындан бәһс едән биринчи китабы һичри 1262-чи илдэ (1846) Тэбриздә литографија үсүлү илә чап едилмишдир. Бу китаб XIX эсрдэ дилә анд язылан вэ Тэбриздә нәшр едилән илк китабларданыр. Онун бир нүсхәси һазырда ССРИ ЕА Академијасы Асија халглары Институту Ленинград бөлмәснин китабханаасында Тэбриздә литографија үсүлү илә нәшр едилән илк әсәр нүмүнәси кими сахланылмагдадыр. Башга Јерләрдә дикр чап нүсхәснә һәләлик тәсадүф олуимамышдыр.

Гејд етмәк лазымдыр ки, бу эсәрини гијмәтли бир әлјазма нүсхәсі<sup>1</sup> Күрчүстән ССР ЕА Республика Әлјазмалары Институтунын китабханаасында сахланылышы.<sup>2</sup> Элјазма һичри 1238-чи илдэ (1823) Мәшәди Мәһәммәд Элијулла Мәһәммәд Ибраһим Тэбризи тәрә芬идән нәстә’лиг хәтти илә көчүрүлмүшдүр. Бу әлјазма надир нүсхәдир, чуники Эбдүлкэrim Ирэванинин һәмин китабынын икничи бир әлјазмасына һәләлик раст кәлинмәмишдир. Элјазмада мүэллифи „Гәваеде сәрф вэ нәиже зәбане фарси“ вэ „مۇختەسەر Әруز“ әсәрләри топланылышдыр. Онун көчүрүлмә тарихи нәшриндән 23 ил әвиәлә тәсадүф едир. Бу факт өзлүйүндә китабын о дөврдә гијмәтли дәрс вәсанти олдуғуну көстәрир. Көрүнүр, әввәлләр әсәрдән әлјазма һалында дәрслик кими истифадә едилмиш, соира онун јаарлышыбы, мүкәммәл тэдриг вәсанти олдуғу нәзәрә алышараг чап едилмәси гәрара алышылышдыр. Элјазмада китабын јазылдыры илин тарихи јохтур. Лакин ахырынчы сәһиғәдәки көчүрүлмә тарихиндән мә’лум олур ки, бу әсәр XIX эсрин биринчи йарысында јазылыш вэ көчүрүлмүшдүр.

Мүэллиф мүгәддимәдә әсәрини јазылмасы сәбәбини белә изән едир: „Оглум Мирзә Мәһәммәд Эли, достларымын өвладлары вэ дәрс вердијим тәләбәләрни ишини асанлашдырмаг мәгсәдилә бу китабы јаздым. Чуники мәни гәдәр фарс дилинин сәрф вэ нәижи барадә мүэллимләрни вэ јени Өјрәнмәјә башлајанларын дәрдинә јарајан, онларын ишини асанлашдыран бир әсәр јазылмамышдыр. Бу һагда индије гәдәр һеч кәс дүшүнмәмишдир“<sup>3</sup>. О, даһа соира јазыр ки, „لُغَةِ تَنَاهِيَّةٍ“ фарс дилинин гајда-ганууллары һаггында мәндән габаг мә’лумат верилсә дә, һәмин мә’лумат мәни бу китабда шәрх етдијим мәсәләләрни ۰%-ни аңчаг тәшикил едә биләр. Буна көрә дә күман едирәм ки, әсәр халг тәрофиндән бәјенилиб гәбул едиләчәк вэ фарс дили Өјрәнәиләрә Јардым көстәрәчәкдир“<sup>4</sup>.

Әсәр 14 фәсилдән ибарәтдир. Әввәлиничи фәсилләрдә фарс дилинин үстүнүүндән һәвәслә данишан мүэллиф фарс дилиннә әраб дили илә мүгәйисә едир, грамматик гајда-гануулларын садәдијинә көрә, үстүнүү фарс дилинә верир. Азэрбајҹан сөзүнү изән едир. Куја Азэрбајҹан

<sup>1</sup> Бу әлјазма һаггында бизә илк мә’луматы верән филологи елмләр наимизәди һәсәи Зәрииәзадәјә тәшкүрүмүзү билдиририк.

<sup>2</sup> حاجى عبدالكريم بن أبي القاسم ال رواني تبريزى، قواعد صرف و نحو زبان فارسي

Күрчүстән ССР ЕА Республика Әлјазмалар Институту, эл. № 126162. Буңдан сонракы сәһиғәләрдә гыса олары „Ирәвани“ јазылачагдыр.

<sup>3</sup> Ирәвани. 14-иу фајданын сону.

<sup>4</sup> Јенә брада.

Эслиндэ „Азәрбадакан“ сөзүндөн олуб, Тәбриздә бир атәшкәдәниң адьи. „Азәрбајҹан“ сөзү дә бу атәшкәдәниң адындан көтүүрүлмүшдүр.

Ирэвани һәмни фәсилләрдә Иран дилләрини өлү вә чанлы олмагла икни група аյырмышдыр. Фарс вә дәри дилләрини иккинчи група айда едиб, дәри дилинин Орта Асијада яңылдығыны көстәрмишdir. Бу бөлгү мұасир Иран дилчилүji нөгтегеji-нәзәриидән ишсәтән дүзкүн олмаса да, бу дилләри группашырмаг саһәсиндә лөврү үчүн тәгdirәләни бир тәшәббүсдүр.

Әбдүлкәрим Ирәвани өтәри дә олса сез семантикасындан даңышмыш, сезәләрни ше'р йазылышина, гафијә јарадылмасында мә'на варолундан гысача бәһіс етмишdir.

Фонетикадан әтрафы даңышсан мүэллиф әрәб һәрфләрини тәләф фүзүнә көрә үч группа бөлмүшдүр:



3. Ады үч һәрфдән ибарәт олуб, лакин илк вә соңынчы һәрфләре ejni оланлар **لْجَوْبِي** „ләбуби“ адланыр: م mim, ن nun, و waw'.

Әбдүлкәрим Ирәвани Тәбризинин фикринчә, әрәб әлифбасында тәләффүзү фарс дилинә мұвағиғ олмајан сәккиз һәрфи, йәни ظ، ط، ص، ح، ق، ع бу дилдә чәтилилек төрәтдијиндән ихтисара салмаг лазымдыр.<sup>2</sup> 150 ил бундан габаг Иран шәраитиндә бир азәр-бајчанлы алим тәрәфиндән әрәб әлифбасының тәкмилләшдирилмәсі идејасының ирәли сүрүлмәсі бу күн дә гијмәтли вә әһәмијәттәндирилген. Бурадан белә иатичәјә кәлмәк олар ки, М. Ф. Ахундовдан габаг да әрәб әлифбасының садәләшдирилмәсі фикри алимләримизин диггәт мәркәзинде олмушудур.

Әбдүлкәрим Ирәвани. Тәбризи өзүнәмәхсүс бир үслубда дил, термин, чүмлә, чүмләнин нөвләри вә с. мәсәләләри тәһлил етмишdir.

Мұғалиф соңраки фәсилләрдә фарс дилиндә мөвчуд олан сөзләри үч нөвә айрымшыр. Беләликлә, өзүндән әввәлки әрәб грамматикләри кими, фарс дилиндә үч әсас нитг һиссәси—фе'л, исим вә һүруф олдуғуны көстәрмишdir. О, сиfәт, саj, әвәзлиji исимлә бирликдә вермиш, фе'ли исә мүстәгил нитг һиссәси кими тәгдим етмишdir. Фе'ли заманлары, фе'ли сиfәтләр, фе'лии нөвләри, формалары, онлардан фе'л көklәрини алымасы, үмумиijәтлә бүтүн фе'л бәhси әтрафлы сурәтдә изаһ олунмушdур<sup>4</sup>.

Фарс дили гајда-гануиларына дәринидән бәләд олан Эбдулкәрим Ирәвани Тәбризи бу дилдәки фонетик һадисәләрдән, сәсләриң бир-бىрниң эвәз етмәссиидән, сөз јарадычылығында мүһум рол ојнајан сөздү-зәлдиchin шәкилчиләрдән вә саирәдән данышмышдыр.

Эсэрин эн үстүү чөхөтлөрүндөн бири нээр нааны муддэаны ирэли сүрээркээн өжанин васитэлэрдэн истифадэ етмэсидир. Эбдулкэрим Ирэвани Тэбризи бүтүн эсээр боју өллијэ яхын Шэрг классиклэриини эсэрлэ.

риндән сечилмиш бејтләр кәтирмешdir. Бунларын ичәрисинде Рудәки, Насир Хосров, Фирдовси, Энвәри, Хагани, Низами, Зәһир Фариҗаби, Сә'д Сәлман, Сә'ди, Һафиз, Кәмаләддин Исмајыл, Ләтифи, Баба Тәһир вә башгаларының көстәрмәк олар.

Верилән мисаллар фарс дили гајда-гапунларыны мөһкемләтмәкlasses, әйтүүлөрдөн көстәрмәк олар.  
бәрабәр, охучулары Шәрг әдәбијатынын надир сәнәт ишиләри илә дә  
таниш едир. Эбдулкәрим Ирәвани Тәбризинин „Гәваеде сәрф вә нәһне  
зәбане фарси“ китабы зәманәсинин мүкәммәл грамматика дәрслеји ол-  
муш, ондан узун мүддәт мәдрәсә вә мәктәбләрдә тәдрис вәсанти ки-  
ми истифадә едилмишdir. Эсәрдә Азәрбајҹан алиминин фарс дилчили-  
ји саһесиндә ирәли сүрдүү бә’зи елми-нәзәрәи фикир вә тәклифләр бу-  
кун дә өз әһәмијјәтини итирмәмишdir. Кәләчәк тәдгигат ишимиздә  
нәмин мәсәләләрин елми изаһы вериләчәkdir.

### III дарынчылдык институт

Алынмышдыр 18. VI 1968

Т. Александрова

Рукопись азербайджанского  
ученого Абдулкерим Эревани Табrizи

PE3IOME

Одним из видных азербайджанских ученых XIX в., создавших ценные работы по изучению и исследованию персидского языка, является Абдулкерим иби Абулкасим Эревани Табризи. Если не принимать во внимание некоторые небольшие сведения, данные в определенных источниках, его жизнь, творчество и исследование его произведений полностью не были представлены. Ему принадлежат работы: „Гаваеде сарф ва нахве забане фарси“ и „Мухтасор аруз“. Первая книга была литографирована в г. Табризе в 1262 г. х. (1846 г.). Следует отметить, что ценная рукопись этого произведения хранится в библиотеке рукописного Института АН Грузинской ССР.

Сведения об „Гаваеде сарф ва нахве забане фарси“ в статье даются впервые. Грамматика состоит из 14 частей, исследуются разделы морфологии, синтаксиса и фонетики в персидском языке. Представленные азербайджанским ученым в произведении некоторые научно-теоретические мысли и предложения по персидской лингвистике и по сей день не теряют своей важности.

<sup>1</sup> Ирэвани. 4-чү фада.

### 3. Јена Орада.

3 Јенс орада, 5-чи фазда.

• Јенс орада, б-чы фајда.

ИГТИСАДИЙАТ

Г. Ж. ӘБДҮЛСӘЛИМЗАДӘ

ИНГИЛАБДАН ЭВВӘЛКИ АЗӘРБАЙЧАН СӘНАЈЕСИНДӘ  
ЭМӘJИН ЕЛЕКТРИК ЕНЕРЖИСИ ИЛӘ ТӘЧНИЗИ  
СӘВИJЕСИНӘ ДАИР

(Азәрбайчан ССР ЕА академику Ә. С. Сүмбатзадә тәгдим стилишидир)

Ингилабдан эввәлки дөврдә Азәрбайчан сәнајесиндә эмәjин електрик енержиси илә тәчнизи сәвиjеси бу вахта гәдәр әсасландырылыш шәкилдә мүәjәнләшdirilmәmешdir. Бу илкни сәвиjәni мүәjәn етмәdәni Совет һакимиjäteti илләrinida сәnaјenii електриklәshdirilmәsi саhәsinidә газанылан наилиjätälәri вә илк нөvbәdә сәnaјedә эмәjин електрик енержиси илә тәчнизи сәвиjәsinin неchә сүр'etlә jүksәldi-jini izlәmәk чәtinidir.

Геjd етмәk лазымдыр ki, muhарibәdәni sonrakы илләrdә Azәrбайchан Mәrkәzi Статистика Идарәsinin бурахдыры bir сыra иллик статистика kүllijätälarыnda da сәnaјedә эмәjин eлектрик енержиси илә tәchнizи kimi chox мүhüm igtiصادi көstәriçijә rast kәlinimәmешdir. Biż-čә, bunun ən mүhüm sәbәblәrinidәn biri һәmin kөstәriçi haggыnda dүzкүn вә әsaslandyrylmыш basis materialyni оlmamasыdyr. CCPH Mәrkәzi Статистика Идарәsinin иллик kүllijätälarыnda bu kөstәriçi ингилабдан эввәлki dөvрә nisbәtәn мүgaјisәli rәgәmlәrlә verilmişdir.

Biz biri сыra чап оluimush əsәr, ilkni materiallar вә arxiv сәnädlәrinin tәngidi shәkiлдә nәzәrdәni kechirib мүgaјisә etmәk юлу ilә 1913, 1915<sup>1</sup> вә Совет һакимиjätetiini ilk или olan 1920-chi il учүn Bakы сәnaјe raionu timsalыnyda һәmin kөstәriçini mүәjәn еtmejә chalishmyshыg. Biż-čә, ингилабдан эввәлki Bakы сәnaјe raionunda эmәjин eлектриk eнержиси илә tәchнizи сәvijәsinin ингилабдан эввәлki Azәrбайchан сәnaјesinidә эmәjин eлектриk eнержиси илә tәchнizи сәvijәsi үchүn bir nөv tәxmini chыхыsh nөgtәsi kimi gәbul etmәk olar<sup>2</sup>.

Ингилабдан эввәлki dөvрдә сәnaјedә эmәjин eлектриk eнержиси илә tәchнizи сәvijәsinin mүәjәnләshdirmәk үchүn, hәr шejdәn эvвәl, һәmin dөvрдә сәnaјedә sәrf oluian eлектриk eнержисinin mигdaryny

<sup>1</sup> 1915-chi или kетүrmәjә sәbәb һәmin ilde ингилабдан эввәлki dөvрдә ən chox eлектриk eнержисi hasil oluimasi ilә elagәdarдыr.

<sup>2</sup> Ингилабдан эввәлki dөvрдә Azәrбайchanda мөvchud olan eлектриk stanсиjalari kүchүnүn вә eлектриk eнержисi hasilatyni 99% -i Bakы сәnaјe raionunu paýmza dүshүrдү.

вә үмумиjätlә sәnaјedә iшlәjәnlәrin, һabelә фәhlәlәrin saýnны mүejәjәnlәshdirmәk лазымдыr. Mүxtәliif mәnibә вә әdәbijätälarда<sup>1</sup> verilmiş, bir-birini o gәdәr dә uýfуn kәlmәjәn rәgәmlәri mүgaјisә etmәk юlu ilә chыхardыgымыz nәtichәlәr 1-chi chәdvәllә vеriilmışdir. һәmin rәgәmlәrә kөrә sәnaјedә emәjин eлектриk eнержисi ilә tәchнizи сәvijәsinin ašaғыdaqы gaýda үzrә tapmag mүmkүndür.

Emәjин eлектриk eнержисi ilә tәchнizи сәvijәsi

Sәnaјe mәgsәdlәrinin sәrf oluian eлектриk eнержисinin mигdary

Sәnaјedә iшlәjәnlәrin, Jaxud фәhlәlәrin saý

1-chi chәdvәllәki rәgәmlәrә esasen aparylan һesablamalardan 2-chi chәdvәllәki nәtichәlәrә kәlmәk olar.

1-chi chәdvәl

Илләр	1913	1915	1920
Көstәriçilәr			
Azәrбайchanda isteñcal oluian eлектриk eнержисinin mигdary (mли. kilovatt-saat)	110,8	197,8	122,0
Bakы raionunda sәnaјe mәgsәdlәrinin sәrf oluian eлектриk eнержисinin mигdary (mли. kilovatt-saat)*	87,5	161,6	71,9
Neft sәnaјesinidә sәrf oluian eлектриk eнержисinin mигdary (mли. kilovatt-saat)	72,4	144,8	68,4 **
Bakы raionunda sәnaјedә iшlәjәnlәrin үmumi saý (min nәfәr)	60	60	30
Bakы sәnaјe raionundakы фәhlәlәrin saý (min nәfәr)	50	50	25
Neft sәnaјesinidә iшlәjәnlәrin үmumi saý (min nәfәr)	45	48	23
Neft sәnaјesinidәki фәhlәlәrin saý (min nәfәr)	36	40	20

\* 1920-1921-chi illәrin mә'lumatyna esasen һesablamышdyr.

\*\* Stanсиjalaryny ez eñtijacilaryna, шәbәkәdәki itkilärlәr vә шәñärini kommuinal mәiñşet eñtijacilaryna sәrf oluian eлектриk eнержисinin chыхmag şartı ilә.

<sup>1</sup> История Azәrbайджана. т. 2, Bakу, 1960; Очерки истории Коммунистической партии Azәrbайджана. Bakу, 1963; B. Ю. Axundov. „Monopolisticheskiy kapital v dorovoljucionnoj Bakinskoy neftjanoy promyshlennosti“, M. 1959; M. M. Alla h-verbidiye. Azәrbajchanda iñchi gүvвәsinin tәkrar isteñcalыny bә'zi mәsәlәlәri. Bakу, 1966; E. B. Ba jram zadә, K. G. Te jmu razo v. Azәrbajchany eñergetik базасы, Bakу, 1961; M. M. Katiibli. „Bakinskij proletariat v godы mirovoy impi-rialisticheskoy wojny (1914-Fevralь 1917 г.). Avtofererat disserqatsiya. Bakу, 1962; A. C. Sүmbatzade. „Ekonomicheskie predposыlki победы Velikoy Oktyabrьskoy sozialisticheskoy revolusioni в Azәrbайджane. В кни: „Rascivet ekonomiki Azәrbайджанскоj CCP“, Bakу, 1967; B. Ю. Samedov. „Rasprostranenie markizm-a-leinizmiza в Azәrbайджане. Bakу, 1962; I. B. Strigunov. „Iz istorii formirovaniya bakinskogo proletariata“. Bakу, 1960; Obzor Bakinskoy neftjanoy promyshlennosti za 1910-1915 г., „Neftjanoe zhозyjstvo“, № 4 (16), 1923. Narodnoe zhозyjstvo Azәrbайджанскоj CCP k 50 letiu Velikogo Oktyabrьa. Statisiticheskiy сборник. Bakу, 1967, Azәrbajchан CCP Dевләt Plan Komissiyası halq tәsәrrüfatyni eñergetiklәshdirilmәsi шә'bәsinin materiallary; Azәrbajchан Mәrkәzi Статистика Идарәsi sәnaјe шә'bәsinin materiallary; Azәrbajchан Basch Eñergetika вә Eñergetiklәshdirmә İdarәsinin materiallary; Azәrbajchан MDTA, fond 528, ciňaň 1, ish № 546.

## 2-ЧИ ЧЭДВЭЛ

Көстәричиләр	Иллэр	1913	1915	1920
Бакы сәнаје рајонунда ишләјен һәр нәфәрник енержиси илә тәчhизи (киловатт-саатла)		1460	2700	2400
Бакы сәнаје рајонунда һәр нәфәр фәhlәник енержиси илә тәчhизи (киловатт-саатла)		1750	3230	2880
Нефт сәнајесинде ишләјен һәр нәфәрник енержиси илә тәчhизи (киловатт-саатла)		1500—1600	2800—3000	3000
Нефт сәнајесинде һәр нәфәр фәhlәник енержиси илә тәчhизи (киловатт-саатла)		1900—2000	3400—3600	3400

Беләликлә ингилабдан әvvәлки дөврдә, 1913 вә 1915-чи илләрдә, набелә Совет һакимијәтини илк или олан 1920-чи илдә үмумијәтлә, Бакы сәнаје рајонунда вә Бакы нефт сәнајесинде әмәјин електрик енержиси илә тәчhизи сәвијјәсиини вәзијәти аյдыналашыр.

Азәрбајҹан Мәркәзи Статистика Идарәси сәнаје шө'бәсиини 1965-чи илә иид илкин материаллары әсасында 1913, 1915 вә 1920-чи илә иисбәтән республика мигjасында сәнаједә (Бакы сәнаје рајону тимсалында) вә о чүмләдән нефт сәнајесинде әмәјин електрик енержиси илә тәчhизи сәвијјәсиини<sup>1</sup> нечә дәфә йүксәлдири 3-чү чәдвәлдә верилмишидир.

## 3-ЧИ ЧЭДВЭЛ

Көстәричиләр	1965-чи илдә нечә дәфә артмышдыр		
	1913-чү илә нисбәтән	1915-чи илә нисбәтән	1920-чи илә нисбәтән
Сәнаједә ишләјен һәр нәфәрник енержиси илә тәчhизи	15	8,2	9,2
Сәнаједә ишләјен һәр нәфәр фәhlәник енержиси илә тәчhизи	15,4	8,3	9,3
Нефт сәнајесинде ишләјен һәр нәфәрник енержиси илә тәчhизи	36—38	19—20	19
Нефт сәнајесинде ишләјен һәр фәhlәник енержиси илә тәчhизи	35—37	20—21	21

Јухарыда мүгајисәли шәкилдә үмумиләшdirилмиш рәгемләр вә һесабламалар дәгиг олмаса да, ингилабдан әvvәлки дөврдә Азәрбајҹан сәнајесинде әмәјин електрик енержиси илә тәчhизи сәвијјәси нағында мүэjjән тәсәввүр верир.

Исписадијјат институту

Алынышдыр 18. VII 1968

<sup>1</sup> Һәминнесабламалара әсасен 1965-чи илдә республиканын сәнаје саһесинде чашаш һәр нәфәрине 22,1 мин, һәр фәhlәдә исә 27,0 мин киловатт-саат; нефт сәнајесинде чашаш һәр нәфәрә 57,3 мин, һәр фәhlәдә исә 70,7 мин киловатт-саат електрик енержиси дүшмүшдү.

Г. Я. Абдулсалымзаде

Об электровооруженности труда в промышленности дореволюционного Азербайджана

РЕЗЮМЕ

В статье на базе богатого архивного и фактического материала впервые на примере Бакинского промышленного района определяется уровень электровооруженности труда в промышленности дореволюционного Азербайджана.

До революции в Азербайджане 99% мощности всех электростанций и выработки электроэнергии падало на долю бакинских станций. Поэтому мы считаем, что уровень электровооруженности труда в Бакинском промышленном районе можно принять за исходный момент для определения уровня электровооруженности труда в промышленности дореволюционного Азербайджана.

На основе расчетов установлено, что в 1913 г. в Бакинском районе на одного работающего приходилось 1460 квтч, на одного рабочего—1750 квтч, а на одного работающего в нефтяной промышленности—1500—1600 квтч и на одного рабочего—1900—2000 квтч электроэнергии. В 1915 г.\* эти показатели соответственно были равны—2700, 3530, 2800—3000 и 3400—3600 квтч, а 1920 г.—2400, 2880, 3000 и 3400 квтч.

Сравнивая эти показатели с данными промышленного отдела ЦСУ Азерб. ССР за 1965 г. можно прийти к выводу, что по сравнению с 1913 г. уровень электровооруженности труда на одного работающего в промышленности республики увеличился примерно в 15 раз, а в нефтяной промышленности примерно в 38 раз. По сравнению же с 1915 и 1920 гг. в 1965 г. электровооруженность труда в промышленности республики увеличилась соответственно в 8 и 9,2 раза, а в нефтяной промышленности—в 19—20 и 19 раз.

\* 1915 г. является годом максимума выработки бакинских станций. В том году выработка бакинских станций составляла 197,8 млн. квтч.

ИСТОРИЯ

Т. М. МАМЕДОВ

„ИСТОРИИ“ КИРАКОСА ГАНДЗАКЕЦИ И ИХ ОТНОШЕНИЕ  
К „ИСТОРИИ СТРАНЫ АЛБАНСКОЙ“  
МОИСЕЯ КАЛАНКАЙТУКСКОГО

(Представлено академиком АН Азербайджанской ССР А. С. Сумбатзаде)

Изучение армянских источников, как и любых других источники по истории Азербайджана, требует сравнения их сведений с другим источниками для выяснения их первоисточников и определения достоверности фактов. В этой связи большой интерес представляет сравнение данных „Истории“ Киракоса Гандзакеци и „Истории страны Албанской“ Моисея Каланкайтукского, это тем более важно, что „История“ Киракоса Гандзакеци—единственный армянский источник, в котором имеется специальный раздел, посвященный истории Албании.

Наша работа над этими двумя историями Албании основывалась и была значительно облегчена специальными исследованиями ряда ученых (Т. И. Тер-Григорян, З. М. Бунятов, С. Т. Еремян, З. И. Ямпольский и др.)<sup>1</sup>. В настоящей статье делается попытка сравнить сведения двух названных первоисточников.

Гандзакеци жил несколькими столетиями позже автора „Истории страны Албанской“. Ему были известны и „История страны Албанской“<sup>2</sup> и те армянские источники, из которых черпал факты этой истории. Однако отбор и освещение фактов у Гандзакеци отличаются от автора Летописи.

Моисей Каланкайтукский сообщает, где и кем был похоронен первый

<sup>1</sup> Т. И. Тер-Григорян. К вопросу об „Истории страны Албанской“ Моисея Каланкайтукского. Архив Института истории АН Азерб. ССР, инв. №991; З. М. Бунятов. Еще раз о неизданных страницах „Истории Агван“ Моисея Каганкаваци. Изв. АН Азерб. ССР, серия обществ. наук, 1961; его же. „О деятельности католикоса Албании Виро (596–630). Сб. „Ближний и Средний Восток“. М.–Л., 1962; его же. Азербайджан в VII–IX вв., Баку, 1965, С. Т. Еремян. Моисей Каланкайтукский о посольстве албанского князя Вараз-Трата к хазарскому хакану Алл-Иллтверу. ЗИВ АН Азерб. ССР, 1957, № 9.

<sup>2</sup> Киракос Гандзакеци. История Армении Ереван, 1961, стр. 151 (ниже—Гандзакеци) на древнеармянском языке.

католикос Албании Григорий<sup>1</sup>. Гандзакеци сообщает лишь, что Григорис был убит Санатруком.<sup>2</sup>

В отличие от Летописи, которая отмечает, что в создании албанской письменности участвовал местный переводчик Бениамиин,<sup>3</sup> Гандзакеци сообщает, что только Месроп „изобрел письмена для албанцев“<sup>4</sup> и „оставил для них учителей“<sup>5</sup>.

Повествуя о борьбе против зороастризма, Моисей Каланкайтукский отмечает совместную борьбу албанцев и армян,<sup>6</sup> Гандзакеци же не упоминает об этой борьбе армян и албанцев.

Имеются расхождения в хронологическом списке имен католикосов Албании, данном у Моисея Каланкайтукского и у Гандзакеци. Моисей Каланкайтукский после Егише называет имя епископа Албании Григориса,<sup>7</sup> а Гандзакеци в отличие от Моисея Каланкайтукского помещает после Егише Шупхагиша.<sup>8</sup> Гандзакеци дает более обширные, чем Летопись, сведения об албанском епископе Шупхагише<sup>9</sup>, а епископа Григориса помещает после Тер-Газара<sup>10</sup>.

Перечисленные имена католикосов Албании, которых Гандзакеци именует епископами, начиная от Тер-Матте до Аббаса, одинаковы у Моисея Каланкайтукского<sup>11</sup> и Гандзакеци<sup>12</sup>. Но Гандзакеци опустил сообщение Моисея Каланкайтукского о том, что епископ Тер-Аббас перенес престол албанских католикосов из Чора в Партаев, что при нем вошел в обыкновение титул „католикос Албании, Лпинии и Чора“<sup>13</sup>.

Гандзакеци дополняет сведения Летописи легендарным сообщением о постройке шести городов Албании Хазарским Каганом.<sup>14</sup>

Сведения об албанском католикосе Закарии у Моисея Каланкайтукского<sup>15</sup> и у Гандзакеци<sup>16</sup> отличаются сроком пребывания их в этом сане. Моисей Каланкайтукский указывает, что Закария спас не только город Партаев, но и „много людей“<sup>17</sup>. Гандзакеци же отмечает, что Закария спас только город Партаев.<sup>18</sup>

Гандзакеци не упомянул известное Моисею Каланкайтукскому сообщение о том, что албанский католикос Закария рукоположил в епис-

<sup>1</sup> Моисей Каланкайтукский. История Албанской страны, Москва, 1860 кн. I, гл. 14 (ниже—Моисей Каланкайтукский). На древнеармянском языке.

<sup>2</sup> Гандзакеци, гл. X, стр. 16. Об этом Гандзакеци повествует:... Санатрук, назначенный Тратом правителем албанской страны, услышав о смерти царя, умертвил сына Вартанеса, брата Иусника—святого Григориса—на поле Ватяниа, привязав его к хвосту свирепого коня<sup>\*</sup>.

<sup>3</sup> Моисей Каланкайтукский, кн. II, гл. 3.

<sup>4</sup> Гандзакеци, гл. I, стр. 30.

<sup>5</sup> Там же.

<sup>6</sup> Моисей Каланкайтукский, кн. II, гл. 2.

<sup>7</sup> Моисей Каланкайтукский, кн. III, гл. 24.

<sup>8</sup> Гандзакеци, гл. X, стр. 194.

<sup>9</sup> Там же. Но относительно обозначения этого мужа в начале у нас есть сомнение. Ибо тот, кто написал историю Албании, это имя обозначил при Вачагане благочестивом, а доказательством этому постановления, изданные царем Вачаганом совместно со всеми епископами Албании, где написано: Я, Вачаган, царь албанский и архепископ Партаев Шупхагиша<sup>\*\*</sup>. А после этого имя его в списке епископов не упоминается, но мы как нашли, так и записали<sup>\*\*\*</sup>.

<sup>10</sup> Там же, гл. X, стр. 194.

<sup>11</sup> Моисей Каланкайтукский, кн. III, гл. 24.

<sup>12</sup> Гандзакеци, гл. X, 194–195.

<sup>13</sup> Моисей Каланкайтукский, кн. III, гл. 24.

<sup>14</sup> Гандзакеци, гл. X, стр. 195. Он (Джебуханан) в честь имени Шата построил шесть городов. Шатар, Шамхор, Шаки, Шруван (Ширан), Шемахи, Шапорай<sup>\*\*\*\*</sup>.

<sup>15</sup> Моисей Каланкайтукский, кн. III, гл. 24.

<sup>16</sup> Гандзакеци, гл. X, стр. 195.

<sup>17</sup> Моисей Каланкайтукский, кн. III, гл. 24.

<sup>18</sup> Гандзакеци, гл. X, стр. 195.

копы сюнийские „Вардаеса без согласия армян“<sup>1</sup>, что Охан стал католикосом Албании, будучи выходцем из епископов Амараса<sup>2</sup>.

Моисей Каланкайтукский сообщает, что после смерти Нерсеса на престол католикосов Албании Симеон был „избран собором“<sup>3</sup>. Гандзакеци же говорит, что на престол Симеон поставлен армянским архиепископом Егия<sup>4</sup>. Гандзакеци не сообщает, что Симеон „приказал бросить в реку Терту в сундуках все книги Нерсеса“<sup>5</sup>, лишь упоминает каноны, изданные Симеоном<sup>6</sup>, подробное изложение которых дает Моисей Каланкайтукский.<sup>7</sup> Гандзакеци не отмечает созыв церковного собора,<sup>8</sup> опускает сведения из Моисея Каланкайтукского о землях албанских царей<sup>9</sup>, о том, что албанский царь Урнаир прибыл в Армению не один, а с албанской знатью и войском, о том как почетно он был принят армянским царем Трдатом, который „открыл ему все свои тайные планы“<sup>10</sup>.

Гандзакеци опускает также и описание схватки в бою Мушега Мамиконяна и Урнаира.<sup>11</sup>

О насильственном обращении албанского царя Ваче II в зороастризм и о последующем его отказе от царского трона сведения Моисея Каланкайтукского<sup>12</sup> и Гандзакеци<sup>13</sup> сходны. Но борьбу этого царя с сасанидским царем Перозом Гандзакеци не излагает, хотя она подробно дана у Каланкайтукского.<sup>14</sup>

Давая сведения об албанском царе Вачагане III, Моисей Каланкайтукский сообщает такие важные для истории Албании сведения, как восстановление в ней власти местных царей,<sup>15</sup> созыв церковного собора, принявшего своеобразную конституцию,<sup>16</sup> открытие школ, где преподавание шло на албанском языке,<sup>17</sup> нахождение мощей Григориса,<sup>18</sup> и другие факты.<sup>19</sup> Гандзакеци же, давая сведения о царе Вачагане III только упоминает о нем и сообщает, как им была найдена могила Егише.<sup>20</sup>

Исследование отличий, имеющих в сведениях по истории Албании у Моисея Каланкайтукского и в специальном албанском разделе „Истории“ Киракоса Гандзакеци показывает, что последний автор хорошо знал Моисея Каланкайтукского, но, отбирая из него факты, по-своему интерпретировал и сокращал их.

Институт истории

Поступило 22. IV 1969

Т. М. Мәммәдов

Гафгаз Албанијасы Салиамәси вә онун Киракос Гандзакесинин „Тарих“ әсәринә мұнасибәти

#### ХҮЛӘСӘ

Азәрбајҹан тарихини арашдырмагда гәдим ермәни мәнбәләри мә’лүматларының мұғајисәли сурәтдә мәнбәшүнаслыг иөтгөji-иәзәриндән мүәјjәнләшдирилмәси бөյүк әһәмиjјәт кәсб едир. Буна көрә дә тәдгигатда Гафгаз Албанијасы Салиамәси Киракос Гандзакесинин „Тарих“ әсәри илә мұғајисәли өjрәнилмәшишdir.

Мәгаләдә Гафгаз Албанијасы Салиамәсинин вә Киракос Гандзакесинин „Тарих“ әсәринин бир-биринә мұнасибәти, Азәрбајҹан тарихинә иәд олан мә’лүматларының мұғајисәси вә тарихи фактларының дүзкүилүjү аjдылашдырылмышдыр.

<sup>1</sup> Моисей Каланкайтукский, кн. III, гл. 24.

<sup>2</sup> Там же.

<sup>3</sup> Моисей Каланкайтукский, кн. III гл. 7. „После всего этого собор избрал Симеона, мужа кроткого, и рукоположил его в католикосы албанские....“.

<sup>4</sup> Гандзакеци, гл. X, стр. 196. „Тогда рукоположил Егия на албанский престол тер Симеона“.

<sup>5</sup> Моисей Каланкайтукский, кн III, гл. 11.

<sup>6</sup> Гандзакеци, гл. X, стр. 197.

<sup>7</sup> Моисей Каланкайтукский, кн. III, гл. 11.

<sup>8</sup> Там же, гл. 13.

<sup>9</sup> Там же, кн. I, гл. 4.

<sup>10</sup> Там же, гл. 11.

<sup>11</sup> Там же,

<sup>12</sup> Там же, гл. 10.

<sup>13</sup> Гандзакеци, гл. X, стр. 193.

<sup>14</sup> Летопись, кн. I, гл. 10.

<sup>15</sup> Там же, гл. 17.

<sup>16</sup> Там же, гл. 26.

<sup>17</sup> Там же, гл. 18.

<sup>18</sup> Там же, гл. 23.

<sup>19</sup> Там же, гл. 21, 22, 23.

<sup>20</sup> Гандзакеци, гл. 10, стр. 193—194.

## Ботаника

Р. Г. Чавадова. Азәрбајҹан флорасының бәзи Leguminosae нұмајәндәләрини да тачын морфология хүсусијәтләре . . . . . 67

## Молекулар биологија

М. И. Мекшеников, Р. Д. Йүсеинов. T4 фаг көнетик материалдарының һүчәрәјә дахилолма процессинә атфаз модификаторлары вә әзәлә һәрәкәтини тә’сирі . . . . . 73

## Кинетика

М. А. Элизадә, Е. М. Ахуйдова. Тут биткиси (*Morus L.*) полиплоид формаларының соматик һүчәрәләре вә хромосомларында ДНТ туршуларының дәйшишмәсі . . . . . 78

## Физиология

І. І. Іасенов, Ш. Г. Вәлијев. Виссеромеханики гычыгандырманының уроцесиниң ифраз олумасына тә’сирі . . . . . 82

## Ситология вә өмбөриология

К. М. Расизадә. Тохуду вә тохумеуз сорт үзүмләриң рүшејм кисәләрини да стерилитиң өјрәнүлмәсі . . . . . 85

## Дил тарихи

Т. Э. Эләскәрова. Азәрбајҹан алыми Әбдүлкәрим Ирәвани Тәбризинин алјазмасы нағында . . . . . 88

## Итисадијјат

Г. Ж. Әбдулсәлимзадә. Иигилабдан әввәлки Азәрбајҹан сөнајесинде әмәнияттеги енержиси илә тәчхизы сәвијјәсисе даир . . . . . 92

## Тарих

Т. М. Мәммәдов. Гафгаз Албанијасы Салимәси вә онун Киракос Гандзакесинин «Тарих» әсәрина мұнаспәті . . . . . 96

## МҮНДӘРИЧАТ

### Ријазијјат

Р. И. Элиханова. Қасилән әмсаллы иккичи тәртиб бир квазихәтти слептик тип тәнлик үчүн гојулмуш сәрһәд мәсәләсінин зәнф һәллиниң һамарлығы нағында . . . . . 3

Т. Г. Әһмадов. Тейлор-Дирихле сыррасының хүсуси өммәрләриның сырғырлары нағында . . . . . 7

### Енергетика

Ч. М. Чұварлы, Г. Вечхажеев, Ж. В. Горин. Кичик диаметрли нағылләриң тачвары бошалмада ишыглаймасы . . . . . 10

### Астрономија

М. Э. Мәммәдов. Јупитерин пејкинин сәттенидән вулкан пүскүрмәсі иәтичесинде айрылан һипотетик каметләриң орбитләринин анализи . . . . . 15

### Ұзви кимја

Ә. М. Гулијев, Ә. Н. Ағаев. 4-Аминотифенолуң бир иечә N-вә S-әвәзли төрәмәләринин синтези . . . . . 18

### Физики кимја

Б. К. Зеиналов, Ф. Э. Меддиев, Е. И. Хромушина. Яғ туршуларының амилоксигликоз ефиirlәrinин синтези . . . . . 23

М. Мәммәдов, М. М. Йүсеинов, Н. Н. Мәммәдов. Перхлораллиглицинд ефиirlәrinин алымасы . . . . . 27

С. Ч. Меддиев, М. Р. Мусаев, Ж. Б. Сахновскаја. Алкилсантиклиоексилфенолларын вә онларың ефиirlәrinин синтези . . . . . 31

### Индрокеология

Р. А. Ѝачыјев. Бакы амфитеатрының јамачындакы сүрүшмәләр вә инишаат шәркити нағында . . . . . 35

### Стратиграфија

Т. А. Ѝасенов, Р. Г. Бабаев. Шишгаја кәнді әтраfyндакы әһәнкадашыларының яшы мәсәләсінә даир . . . . . 41

### Палеонтология

Ә. Э. Элизадә, Ч. Э. Эләскәров. Азәрбајҹаның Абшерон чөкүнтуләриндә раст көлән јени иөвләр . . . . . 45

### Стратиграфија

О. Г. Маликов, Р. Н. Маммадзадә, Г. Г. Меддиев. Моллачәлли филиз жатагы раionунун ўст табашириңи стратиграфијасы нағында . . . . . 52

Л. Н. Медведев, Н. Б. Мирзәјева. Азәрбајҹанда јени бөчәк иөвүтаптылмасына даир . . . . . 56

### Ентомология

А. Э. Абдибәјова. Азәрбајҹаның Ләпкәран зонасында браконидләриң Hymenoptera, Braconidae) өјрәнүлмәсінә даир . . . . . 59

100

## СОДЕРЖАНИЕ

### Математика

Р. И. Алиханова. О гладкости слабых решений одной краевой задачи для квазилинейного эллиптического уравнения второго порядка с разрывными коэффициентами . . . . . 3

Т. К. Ахмедов. О нулях частичных сумм рядов Тейлора—Дирихле . . . . . 7

### Энергетика

Ч. М. Джуварлы, Г. В. Вечхайзер, Ю. В. Горин. Свечение тонких проводов при коронном разряде . . . . . 10

### Астрономия

М. А. Мамедов. Численный анализ распределения орбит гипотетических комет продуктов извержения с поверхности спутника Юпитера . . . . . 15

### Органическая химия

А. М. Кулев, А. Н. Агаев. Синтез некоторых замещенных производных 4-аминофенола . . . . . 18

### Физическая химия

Б. К. Зейналов, Ф. А. Мехтиева, Э. И. Хромушкина. Синтез аминоксигликоловых эфиров жирных кислот . . . . . 23

Магерам Мамедов, М. М. Гусейнов, Н. Н. Мамедов. Синтез первхлораллиловых эфиров глицидола . . . . . 27

С. Д. Мехтиев, М. Р. Мусаев, Е. Б. Сахновская. Синтез алкилцианниклогексилфенолов и их эфиров . . . . . 31

### Гидроgeология

Р. А. Гаджиев. Оползни на склонах Бакинского амфитеатра и условия строительства . . . . . 35

### Стратиграфия

Т. Аб. Гасанов, Р. Г. Бабаев. К вопросу о возрасте известняков в районе сел. Шишская (Армянская ССР) . . . . . 41

### Палеонтология

А. А. Али-заде, Дж. А. Алекскеров. Новые виды ашеронской фауны из ашеронских отложений Азербайджана . . . . . 45

### Стратиграфия

О. Г. Меликов, Р. Н. Мамедзаде, Г. Г. Мехтиев. Новые данные по стратиграфии верхнего мела района Молладжалинского рудопроявления . . . . . 52

### Паразитология

Л. Н. Медведев, Б. Н. Мирзоева. Новый вид из рода *Galeruca Geoffr* (*Chrysomelidae Coleoptera*) из Азербайджана . . . . . 56

### Энтомология

А. А. Абдибекова. К позиции браконид (Hymenoptera, Braconidae) Ленкоранской зоны Азербайджана . . . . . 59

### Ботаника

Р. К. Джавадова. Морфологические особенности цветника некоторых представителей Leguminosae флоры Азербайджана . . . . . 67

### Молекулярная биология

М. И. Мекшеников и Р. Д. Гусейнов. Влияние модификаторов АТФ — АЗЫ и мышечного сокращения на процесс внедрения генетического материала фага 4 в клетку . . . . . 73

### Генетика

М. А. Али-заде, Э. М. Ахундова. Изменение содержания ДНК в соматической клетке и хромосоме у полипloidных форм шелковицы . . . . . 78

### Физиология

Г. Г. Гасанов и Ш. Г. Велиев. Влияние висцеро-механического воздействия на выделение уропепсина . . . . . 82

### Цитология и эмбриология

Г. М. Расизаде. Изучение стерильности зародышевого мешка у семянных и бессемянных сортов синюгра . . . . . 85

### История языка

Т. Алекскерова. Рукопись азербайджанского ученого Абдулкерим Эревани Табризи . . . . . 88

### Экономика

Г. Я. Абдулсалымзаде. Об электровооружении дореволюционного Азербайджана . . . . . 92

### История

Т. М. Мамедов. «Истории» Киракоса Гандзакеци и их отношение к «Истории страны Албанской» Моисея Каланкайтуцкого . . . . . 96

Сдано в набор 15/IX 1969 г. Подписано к печати 29/XII 1969 г. Формат бумаги  
70×108<sup>1</sup>/<sub>16</sub>. Бум. лист. 3,38. Печ. лист. 9,25. Уч.-изд. лист. 7,08. ФГ 17505. Заказ 511.  
Тираж 1040. Цена 40 коп.

Типография им. Рухуллы Ахундова Государственного Комитета Совета  
Министров Азербайджанской ССР по печати. Баку, Рабочий проспект, 96.

**40** гэп.  
коп.

Индекс  
**76355**